

MINISTERUL EDUCAȚIEI ȘI INVATAMINȚULUI  
INSTITUTUL POLITEHNIC „TRAIAN VUIA” TIMIȘOARA

Ing. GAVRIL URDEA

TEZA DE DOCTORAT

COMANDA ADAPTIVĂ

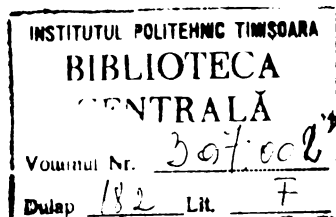
LA MASINI DE RECTIFICAT ROTUND EXTERIOR  
INTRE VIRFURI

Conducător științific

Prof.dr.ing. Eugen Dodon

BIBLIOTECA CENTRALĂ  
UNIVERSITATEA POLITEHNICA  
TIMIȘOARA

- 1975 -





## 1. INTRODUCERE

### 1.1. LOCUL COMENZILOR ADAPTIVE IN DEZVOLTAREA MASINILOR - UNELTE

Nivelul de dezvoltare a industriei de mașini-unelte, condiționează dezvoltarea tuturor întreprinderilor constructoare de mașini, influențează capacitatea de producție a acestora și determină progresul tehnic al întregii industrii. Acestea sunt motivele care explică dezvoltarea impetuoasă a tuturor tipurilor de mașini-unelte, creșterea gradului lor de automatizare.

Perfecționarea mașinilor-unelte are drept scop reducerea costului de prelucrare a pieselor care este determinat în mare măsură de timpul de prelucrare cu componente sale timpul de bază și timpul auxiliar.

Atât timp cât sculele nu permiteau executarea prelucrărilor cu viteze ridicate timpul de bază era relativ mare față de timpul auxiliar. Mașinile-unelte care se foloseau aveau o construcție relativ simplă cu ranoarte mici de reglare a turărilor și avansurilor și valori reduse ale acestora.

Apariția sculelor aşchieetoare, din carburi metalice minerale-ceramice, etc., cu capacitați aşchieetoare superioare au permis executarea pieselor cu viteze de aşchiere mult mai mari, ajungându-se pînă la 15...20 m/s. Acest progres în obținerea materialelor pentru scule a impus modificări esențiale în construcția mașinilor-unelte. Au apărut mașini-unelte mai robuste, cu viteze mai ridicate și cu stabilitate mai mare la vibrații. Ca o consecință a acestui fapt apare o micșorare a timpului de bază, comparativ cu timpul auxiliar.

Cercetările au fost orientate spre reducerea timpilor auxiliari. Astfel, apar mașinile-unelte cu comenzi-program.

Inzestrarea pe scară largă a mașinilor-unelte cu comenzi program și echiparea lor cu sisteme auxiliare (de control activ, reinstalare automată la cotă, înlocuire automată a sculelor) au contribuit în mare măsură la reducerea timpilor auxiliari, la creșterea siguranței în funcționare și a preciziei de prelucrare. În acest mod s-a redus substanțial timpul auxiliar, timpul de bază rămînînd același.

Se poate spune, că în etapa actuală se urmărește din nou reducerea timpilor de bază prin două metode:

- prima metodă, tradițională, se bazează pe găsirea unor materiale noi pentru scule care să permită, în continuare, creșterea vitezei de aşchiere. Ca exemplu poate fi dată rectificarea cu vitezei ale pietrei pînă la 150m/s.
- a doua metodă se bazează pe utilizarea comenziilor adaptive.

Prin comanda adaptivă (CA) a unei mașini-unelte se întelege un sistem de automatizare a prelucrării care pe baza informațiilor primite de la mărimele de referință (forțe, puteri, costuri de prelucrare, indici de calitate a piesei, capacitate productivă, etc.) și a informațiilor provenite prin măsurarea unor parametri a regimului de aşchiere, chiar în timpul desfășurării procesului, prelucrate potrivit unei anumite strategii, regleză parametrii regimului de aşchiere astfel ca să se obțină un efect tehnico-economic optim.

Dată fiind faptul că această CA regleză parametrii regimului pe baza informațiilor curente primite chiar în timpul desfășurării procesului, adică mașina se autoadaptează optim la condițiile mereu schimbante de aşchiere, acest sistem de comenzi constituie cea mai modernă și științifică etapă în dezvoltarea mașinilor-unelte.

După cercetările de prognoză ale firmei Cincinnati Milacron [38] și a Institutului de tehnologie din Michigan [79] se prevede că pînă în anul 1985 majoritatea mașinilor-unelte să fie construite cu comenzi adaptive.

Construcția mașinilor-unelte cu CA prezintă următoarele avantaje:

- reducerea cheltuielilor de proiectare a proceselor tehnologice și de înscriere a lor pe portofoliu;
- desfășurarea procesului de prelucrare cu cele mai corespunzătoare regimuri de lucru, în funcție de scopul urmărit;
- compensarea automată a tuturor erorilor provocate de factorii sistematici sau întâmplători;
- protejarea implicită contra supraîncărcărilor sistemului tehnologic elastic (STE);
- posibilitatea deservirii mai multor mașini de către un singur muncitor.»

Avantajele, evidente ale mașinilor cu CA, au determinat, pe plan mondial, vaste cercetări referitoare la studiul proceselor de prelucrare, la realizarea unor subansamble, noduri și elemente adecvate automatizărilor cît și realizării efective a diferitelor tipuri de MU cu comenzi adaptive.

In literatură se întâlnesc frecvent clasificarea comenziilor adaptive în două grupe mari și anume: CA cu valori limită (ACC) și CA de optimizare (ACO).<sup>1</sup>

O astfel de împărțire nu ține cont de factorii tehnologici reali, care limitează regimul și deci nu este concludentă și nici suficient de definitorie.

O clasificare mai completă a comenziilor adaptive se poate face în funcție de criteriile de optimizare. Până în prezent criteriile de optimizare acceptate de către majoritatea cercetătorilor și evidențiate în lucrările [2], [3], [4], [5], [17], [36], [39], [61], [75], este:

- costul operației de prelucrare C, în lei/buc;
- capacitatea de producție N, în buc/oră.
- realizarea (respectarea) anumitor indici de calitate -R (ca de exemplu: precizia dimensională, de formă calitatea suprafeței).

Criteriile de mai sus pot constitui fiecare în parte criteriu de optimizare sau se pot combina între ele dând naștere la următoarele criterii:

$$\begin{aligned} O_1 &= f(C); \quad O_2 = f(N); \quad O_3 = f(R); \quad O_4 = f(C, R); \\ O_5 &= f(N, R); \quad O_6 = f(N, C); \quad O_7 = f(C, N, R). \end{aligned}$$

Clasificarea comenziilor adaptive pe baza criteriilor de optimizare  $O_1 \dots O_7$ , definește mai clar și mai precis funcția comenzi adaptive respective.

Dintre posibilitățile de optimizare enumerate colc mai eficiente în practică sunt acelea care țin seama de două și trei criterii. Acestea însă sunt mult mai complexe și cuprind în toate cazurile calculatoare electronice care prelucrează, în timp util, după o anumită strategie informațiile provenite din proces și comandă corespunzător mașina-unealtă.

In prezenta lucrare se urmărește studierea, conceperea, realizarea și încercarea unei CA pentru mașinile de rectificat rotund exterior între vîrfuri prin intermediul căreia să se obțină o creștere a capacitatii productive a mașinilor de acest tip precum și

a performanțelor privind precizia dimensională și de formă a pieselor.

### 1.2. FACTORII CARE IMPUN INTRODUCEREA COMENZILOR ADAPTIVE LA MASINILE DE RECTIFICAT

Este cunoscut de către toți cercetătorii din domeniul prelucrărilor prin rectificare, că acest proces este relativ complex atât datorită numărului mare de parametri ai procesului, cât și datorită variației caracteristicilor aşchietoare ale granulelor abrazive, chiar în cursul unei operații. Aceasta creează dificultăți în cercetarea teoretică și experimentală a acestor genuri de prelucrări.

În ansamblu factorii care influențează procesul de rectificare sunt:

#### 1. Piatra de rectificat:

- materialul, dimensiunile și forma granulelor abrazive
- materialul liantului
- structura
- duritatea
- dimensiunile discului.

#### 2. Piesa de rectificat:

- duritatea
- forma și dimensiunile

#### 3. Mașina-unealtă și dispozitivele folosite:

- precizia geometrică
- rigiditatea

#### 4. Regimul de aşchiere:

- viteza pietrei
- turatăia piesei
- viteza de avans a mesei
- adâncimea de aşchiere.

#### 5. Lichidul de răcire

#### 6. Scula de corecție - material

#### 7. Regimul de corecțare:

- viteza de avans a sculei de corecție
- adâncimea stratului de corecție.

Cuprinderea tuturor acestor-factori și a modificările lor din timpul operației, în expresii matematice care să servească la

stabilirea parametrilor optimi de rectificare este o problemă imposibilă în stadiul actual, cu atât mai mult cu cît o mare parte dintre parametrii, arătați mai sus, se modifică în timp.

Tot odată trebuie precizat că valorile parametrilor reali de aşchiere, adică a celor realizări efectiv în proces și în special adâncimea de rectificare, sănt mai mici decât valorile parametrilor reglați pe mașină. Mai mult, ei nu se păstrează constantă chiar în timpul unei treceri în primul rînd datorită variației rigidității STE cu dimensiunile piesei și sculei, și în al doilea rînd datorită uzării granulelor abrazive.

La rectificare modificarea parametrilor de aşchiere în timp este relativ mult mai mare decât la alte procedee de prelucrare cu scule cu geometrie mai stabilă în timp decât a granulelor abrazive. Deci nici nu se pot cunoaște pe căile existente datele corecte ale regimului de aşchiere.

Micșorarea adâncimii de aşchiere duce în primul rînd la micșorarea componentei  $F_y$  și se reflectă negativ asupra capacitatei productive a mașinii. În plus deformațiile mașinii fiind diferite în lungul piesei (prelucrare între vîrfuri) rezultă că  $F_y$  are valori diferite și în consecință va fi afectată precizia dimensională și de formă a piesei.

Eroarea produsă de variația rigidității STE este sistematică și poate fi eliminată numai printr-o variație corespunzătoare a componentei  $F_y$ , lucru pe care îl poate rezolva numai CA și numai anumite soluții a acesteia.

Tot datorită deformațiilor STE erorile de formă care apar la faza de degroșare se transmit la faza de finisare și la faza de destindere. Eliminarea acestor erori la ultima fază impune execuțarea unui număr mare de trecceri ceea ce duce la micșorarea capacitații de producție a mașinii. Nici acest aspect nu poate fi rezolvat de către mașinile de rectificat fără CA.

O CA poate introduce automat valoarea optimă a forței  $F_y$ , și deci poate elimina erorile de formă chiar de la început, timpul fazei de destindere limitându-se doar la obținerea unor rugozități corespunzătoare, prevăzută inițial.

În condițiile eliminării erorilor de formă, deci în condițiile existenței CA, se reduce de cca 3-9 ori timpul de oprire a procesului pentru efectuarea măsurătorilor.

Din analiza ciclului de rectificare rezultă că la început

( la pătrunderea pietrei în material) "se produce o tensionare a elementelor STE, iar pe măsura creșterii solicitării, adîncimea reală se apropiie ca valoare de cea nominală (reglată la mașină), mașina ajungind la capacitatea productivă maximă numai după un anumit timp. Din cercetările teoretice și experimentale s-a constatat că acest timp poate fi redus cu 40 ... 60%, dacă se lucrează cu valori mai mari ale avansului transversal (de cca 2 ... 4 ori) la faza de pătrundere față de valoarea avansului transversal în faza regimului cînd se lucrează cu valoare constantă a componentei  $F_y$ . Această reducere a fazei de pătrundere duce la creșterea capacitatii productive a mașinii.

Cercetările efectuate în Japonia, RFG, Belgia, URSS și alte țări [35], [47], [59] au pus în evidență relații între rugozitatea suprafetei rectificate și componenta  $F_y$ . Rezultă de aici că însăși calitatea suprafetei rectificate ar putea fi controlată prin intermediul CA, care ar avea ca parametru de referință componenta  $F_y$ . Acest control nu poate fi rezolvat pe mașinile de rectificat tradiționale.

O problemă care se referă atât la condițiile de exploatare a mașinii cât și la obținerea unor suprafete rectificate fără fisuri și arsuri ( nete moi) este aceea legată de prelucrările cu parametrii de lucru reglați, constanți. Dezavantajul constă în aceea că în cazul variației adaosului de prelucrare sau a durității materialului, temperatura din zona de aşchiere depășește limitele admise, ceea ce poate crea condițiile apariției defectelor de suprafață amintite mai sus. Concomitent cu creșterea temperaturii cresc și componentele forțelor de aşchiere care creează pericole de supraîncărcare a mașinii și chiar accidente.

Prin intermediul CA, care comandă parametrii principali funcție de anumite valori prestabilite a componentei  $F_y$ , pericolele de mai sus pot fi eliminate complet.

O altă problemă nerezolvată pe mașinile de rectificat existente (fără CA) este aceea de stabilire a timpului, a momentului cînd se impune corectarea pietrei abrazive. La baza stabilirii durabilității unei pietre, încă nu sunt răspîndite criterii obiective bine precizate. Atât timp cât în cercetările de laborator și mai ales în întreprinderile industriale corecția pietrei se bazează pe aprecieri subiective, se vor obține dispersii mari ale dimensiunilor și defecte de suprafață. Din nou momentul în care se impune corectarea pietrei poate fi stabilit numai prin CA.

Construcția mașinilor de rectificat cu CA ar rezolva parte din problemele enumerate mai sus, contribuind la creșterea capacitații productive, a preciziei dimensionale și la obținerea unor suprafete fără defect.

## 2. ANALIZA COMENZILOR ADAPTIVE PENTRU MASINILE DE RECTIFICAT, PE PLAN MONDIAL

### 2.1. Probleme generale

In prezent, tendințele de dezvoltare pe plan mondial a mașinilor de rectificat sunt orientate în următoarele direcții:

- înzestrarea unui număr tot mai mare de mașini de rectificat cu comenzi numerice;
- construcția mașinilor de rectificat cu viteze periferice ale pietrelor foarte mari, 60...100 m/s sau chiar mai mari;
- găsirea soluțiilor pentru mașinile cu comenzi adaptive, cît și cu comenzi numerice combinate cu comenzi adaptive.

In cadrul primei direcții, se apreciază că majoritatea problemelor tehnico-științifice sunt rezolvate. Dezvoltarea mașinilor de rectificat cu viteze ridicate ale pietrelor este încă condiționată de găsirea unor lianți mai buni și mai rezistenți. Din punct de vedere constructiv astfel de mașini trebuie să fie mai robuste și cu putere de antrenare a pietrei mai mare.

Cea de a treia direcție de dezvoltare este caracterizată de un înlăt grad de automatizare deoarece urmărește reglarea parametrilor de aşchieri folosind comandă adaptivă, precum și comanda ciclului cotelor prin intermediu comenzi numerice.

In momentul de față, cele mai perfectionate mașini-unelte sunt cele cu comenzi numerice și comenzi adaptive.

Față de alte tipuri de mașini-unelte, la mașinile de rectificat, comenzi adaptive au fost dezvoltate mai puțin din cauza necunoașterii, încă, suficient de complet, a influențelor diferenților factori asupra calității pieselor rectificate precum și a interdependentăii acestor factori. In prezent se desfășoară vaste cercetări referitoare la cunoașterea fenomenelor care au loc la

rectificare. Procesul de rectificare este studiat în centre de cercetări din R.F.G., Belgia, Franța, U.R.S.S., Japonia, etc. [3], [12], [36], [41], [42]. Numai o cunoaștere profundă a fenomenelor care apar în procesul de rectificare permite elaborarea celei mai adecvate strategii privind conceperea și realizarea unor comenzi adaptive eficiente.

Cu toate dificultățile semnalate, în unele țări ca Japonia, U.R.S.S., S.U.A., Italia, RDG, au fost concepute, realizate și încercate diferite tipuri de comenzi adaptive [5], [39], [79], [80], [92].

Majoritatea cercetătorilor din domeniul prelucrărilor prin rectificare sănătățile de părere că principalul factor care determină procesul de aşchierare este componenta radicală  $F_y$  a forței de rectificare, motiv pentru care aproape toate comenzile adaptive, cunoscute pînă în prezent, o admit ca mărime de referință și în funcție de valoarea ei modifică unul din parametrii regimului de aşchierare.

In cadrul unităților de cercetare, din țările amintite mai sus, au fost concepute, realizate și încercate comenzi adaptive avînd ca mărime de referință componenta  $F_y$  a forței de aşchierare, pentru următoarele tipuri de mașini de rectificat:

- rotund exterior între vîrfuri;
- rotund interior;
- plan cu periferia pietrei;
- arbori canelați;
- inele de rulmenți.

In cele ce urmează se face o prezentare analitică a acestora.

## 2.2. Comenzi adaptive pentru mașini de rectificat rotund exterior între vîrfuri.

Schema bloc a unei comenzi adaptive pentru aceste tipuri de mașini este prezentată în figura 1, [2], [3], [4], [5].

Forța  $F_y$  este măsurată continuu cu ajutorul unui element traductor ET, care transmite un semnal electric  $U_1$  (proporțional cu mărimea  $F_y$ ), la elementul de comparare EC și la aparatul indicator I. Semnalul  $U_1$  se compară cu semnalul  $U_o$ , care corespunde valorii de referință a forței  $F_y$ , obținut de la elementul EP de stabilire a încărcării cu forță. Rezultatul comparării sub forma semnalului  $U_2$ , ( $U_2 = U_o - U_1$ ), se transmite la amplificatorul  $A_1$  și din care se obține semnalul  $U_3$ . Elementul de reglare ER, în funcție

de mărimea și semnul lui  $U_3$ , modifică în mod corespunzător, avansul longitudinal  $s_l$  al piesei sau avansul transversal  $s_t$  al păpușii pietrei.

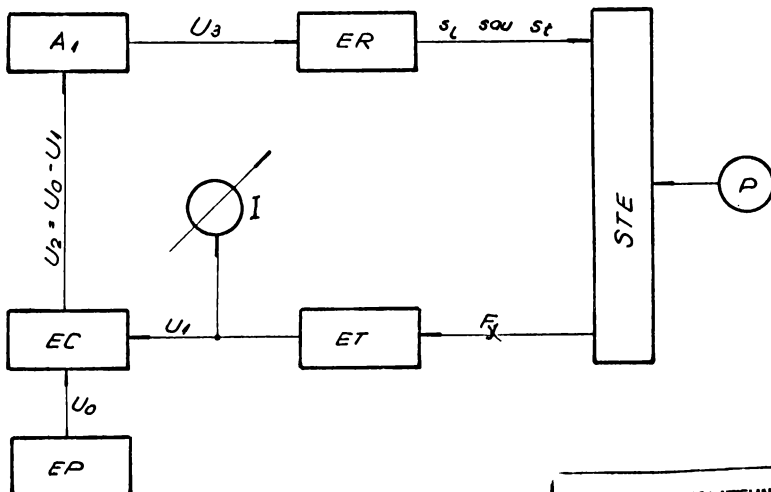


Fig. 1. Schema bloc a unei C.A.

INSTITUTUL POLITEHNIC  
TIMIȘOARA  
BIBLIOTECĂ CENTRALĂ

Elementul traductor, s-a ales astfel că transformă deformarea elastică a unui element din STE, proporțională cu forța  $F_y$ , în semnale electrice. În general unui asemenea element, i se pun următoarele condiții :

- să fie amplasat cât mai aproape de punctul de aplicație a forțelor rezultate din procesul de rectificare;
- să nu complice comanda mașinii;
- să nu micșoreze posibilitățile tehnologice ale mașinii;
- să nu micșoreze rigiditatea mașinii și a STE.

Aceste cerințe nu au fost respectate în întregime la construcția elementului traductor folosit la sistemul de mai sus fig.2. Aceasta se compune din butucul B asigurat contra deplasărilor axiale. Pe butuc se poate deplasa axial în ambele sensuri (cu valori mici) suportul S care este solidarizat cu păpușă vietree de rectificat. Poziția axială a suportului S, în stare de repaos, este asigurată de două arcuri taler At. În butucul B este presat paharul P, prevăzut cu o bilă, pe care se sprijină pîrghia Pa... Celălalt capăt al pîrghiei apasă pe tija traductorului inductiv T, fixat pe suportul S. Palpatorul Pa este susținut de un arc lamelar.

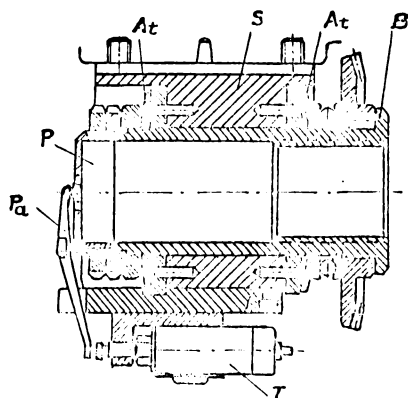


Fig.2. Element traductor cu arc taler

La schimbarea forței radiale  $F_y$ , păpușa pietrei cu suportul și se deplasă într-un sens sau altul, deformând proporțional arcurile  $A_t$ . Mărimile deplasărilor sunt transformate în semnale electrice de către traductorul inductiv  $T$ , prin intermediul părții  $Pa$ .

Dezavantajele elementului traductor prezentat constau în nevoie că micorează rigiditatea mașinii, iar existența urcului este o sursă de vibrații. Apoi este și departe de sculă.

Pe baza schemei bloc și utilizând elementul traductor prezentat, s-a realizat o C.A. care în funcție de valoarea componentei  $F_y$  modifică doi parametrii [1], [2].

Practic realizarea acestei C.A. a impus unele modificări în construcția mașinii care să permită schimbările corespunzătoare ale vitezei de deplasare a mesei și a turării obiectului. C.A. care a realizat aceste schimbări, se prezintă în figura 3, [2].

Pe păpușa pietrei de rectificat PP este fixat elementul traductor (redat în fig.2) care măsoară permanent forța radială  $F_y$ . Semnalul electric al acestuia se transmite la elementul de comparație EC în care intră și semnalul  $U_0$  corespondent forței programate, de la elementul de programare EP. Semnalul  $U_2$  de la ieșirea din EC, după amplificare în A, sub forma semnalului  $U_3$ , se transmite la motorul M care modifică în mod corespondent poziția cursorului autotransformatorului AT și poziția elementului de reglare a

droselul DR prin roțile dințate RD și pîrghia P. Prin modificarea corespunzătoare a cursorului autotransformatorului AT se modifică curentul în bobinele motorului de curenț continuu  $M_1$  și deci tutrăja obiectului n<sub>o</sub>. Modificând poziția de reglare a droselului DR se modifică secțiunea de curgere a acestuia și deci viteza de deplasare a mesci.

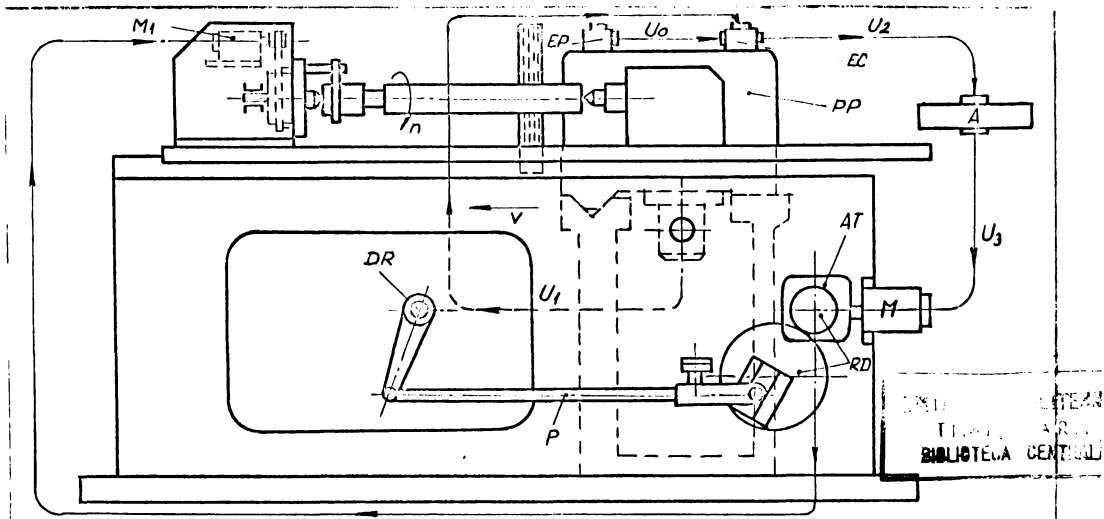


Fig.3. C.A., a mașinii de rectificat realizată de către Iludobin.

Modificarea celor două mărimi se face astfel ca valoarea avansului longitudinal  $s_1$ , pe o rotație a piesei să rămână constantă.

Pe perioada pîtrunderii pietrei de rectificat în material, C.A. este deconectată. Faza de pîtrundere se comandă printr-un releu maximal de curenț strîbătut de curențul ce alimentează motorul electric al pietrei de rectificat. Prin urmare la o anumită valoare a curențului (care se poate regla) corespunzătoare unei anumite valori a forței radiale  $F_y$ , releul maximal de curenț cuplază C.A. descrisă.

Comanda corecției metreriei de rectificat și trecerea de la fază de degrogeare la finisare și apoi la fază de desfășurare se comandă de către dispozitivul de control activ iar mărimea forței radiale  $F_y$ , la fază de degrogeare și finisare se poate regla cu ajutorul schemei electrice de comandă a mașinii.

Folosind C.A. pe mașina de rectificat Md. 3151, s-a obținut o creștere a capacitatei productive cu 45% mai mare decât în cazul

prelucrării fără C.A., precum și o calitate superioară a pieselor rectificate.

Dezavantajele C.A. prezentate mai sus, sunt:

- utilizează elementul traductor din figura 2 cu dezavantajele precizate anterior;
- reglarea turăției motorului  $M_1$  de antrenare a piesei printr-un autotransformator este greoai și insuficient de sensibilă;
- droselul folosit la reglarea vitezei de deplasare a mesei mașinii necesită un cuplu mare de comandă;
- din prezentare rezultă că nu există o precizare în legătură cu elementul pentru programarea valorii componentei radiale  $F_y$  a forței de ațchieră în funcție de deplasare, problemă foarte importantă în cazul rectificării pieselor relativ svelte, între vîrfuri.

In general semnalele obținute de la traductor necesită amplificări mari pentru a putea antrena elementele de execuție.

Pentru rectificările numai cu avans transversal s-a încercat o C.A. (fig.4) care pentru menținerea constantă a forței radiale  $F_y$ , modifică turăția  $n_p$  a piesei [3].

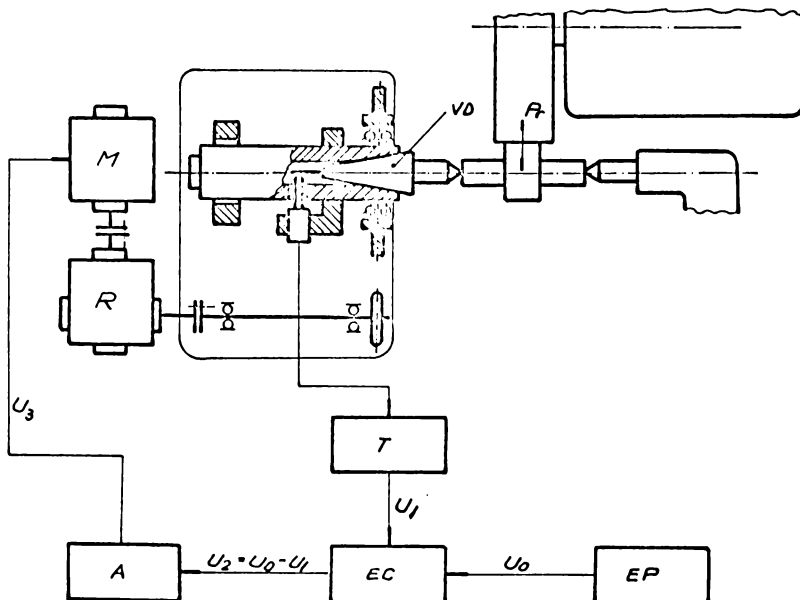


Fig.4. C.A. pentru mașini de rectificat cu avans transversal.

Funcționarea sistemului prezentat în figura 4 se bazează pe principiu ca și cel prezentat anterior însă folosește un traductor redat în figura 5, care este un variator magnetic VD, fixat prin suprafața conică în corpul C cu ajutorul piulișei P. Pe capătul Ct al tijei de măsurare Tm este montată armătura A din oțel moale, care este dispusă în jocul dintre traductoarele inductive Ti. La încărcarea vîrfurilor cu forțe verticale capătul tijei de măsurare împreună cu armătura se deplasează, schimbând astfel mărimea semnalului dat de traductoare. Surubul S servește la deplasarea bobinelor traductoarelor în vederea reglării, iar pîrghiile P la fixarea acestora în poziție.

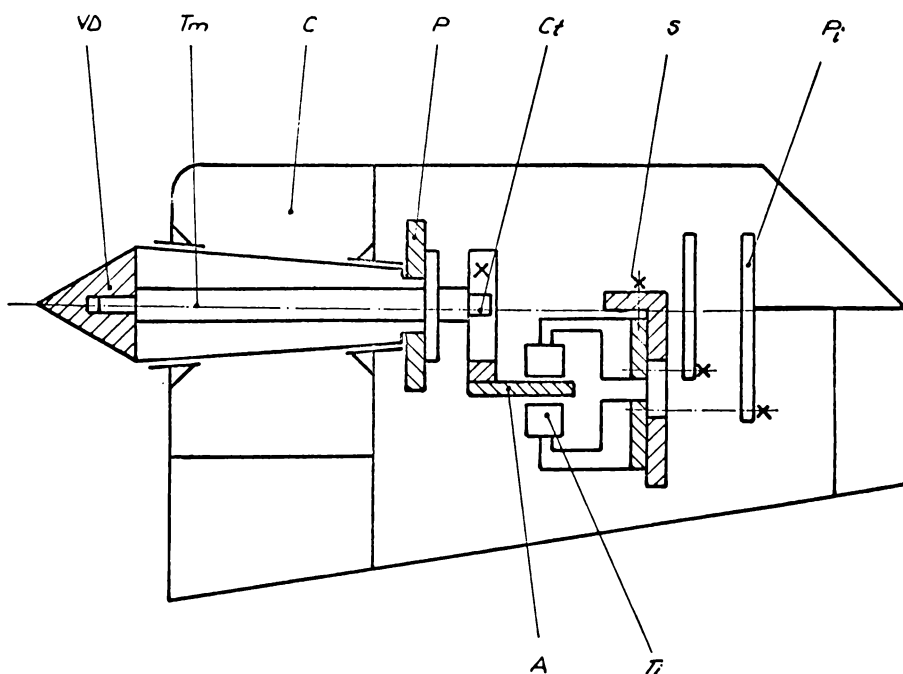


Fig.5. Element traductor cu tijă.

In cazul folosirii acestei C.A. pe o mașină de rectificat Md 3151, la rectificarea cu avans de pîtrundere precizia de prelucrare a crescut de două ori iar capacitatea productivă cu 20 % față de rectificarea fără C....

Mașina de rectificat rotund exterior GON2oA-C

In toamna anului 1970 la Expoziția de mașini-unei de la Osaka, firma japoneză TOYODA a expus primul model de mașină de rectificat rotund exterior cu comandă numerică și adaptivă GON 2oA-C (figura 6), [75], [77], [93], model care este comercializat.

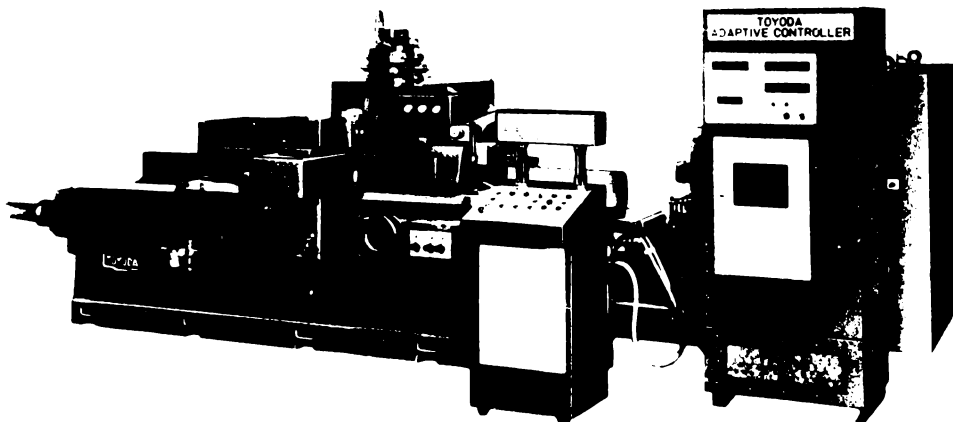


Fig.6. Mașina de rectificat cu C.A. model GON2oA-C

La această mașină se comandă prin program sau numeric următorii parametrii:

- mărimea avansului de apropiere rapidă a pietrei către obiect între limitele 5...1200 mm/min;
- poziția de trecere de la avansul rapid la avansul de lucru, funcție de diametrul obiectului;
- valorile inițiale ale avansurilor transversale, la fazele de degroșare și finisare;
- avansul transversal în faza de destindere între limitele de 3...150  $\mu\text{m}$ . Acest avans se realizează prin deplasarea transversală numai a arborelui pietrei de rectificat, susținut hidrostatic prin intermediul unei servosuapane;
- retragerea rapidă a păpușii pietrei, în poziția inițială. Verificarea acestei poziții se realizează printr-un semnal de coincidență.

Datele necesare (și memorate) pentru C.A. sînt:

- Forța  $F_y$  de referință (pentru fazele de degroșare și finisare);

- valoarea limită a cantității de material ce trebuie îndepărtat între două corecții ale pietrei, precum și factorii de compensare pentru diferențele materiale.

C.A. a mașinii regleză parametrii de aşchiere numai la rectificările cu avans transversal și la fazele de degroșare și finisare. În cele două faze, avansul păpușii pietrei și turăția obiectului se regleză astfel încât componenta reală  $F_y$  a forței de rectificare să se păstreze egală cu valoarea ei de referință. Componenta  $F_y$  se măsoară prin variația presiunii din lagărul anterior al arborelui principal.

Cantitatea limită de material îndepărtat între două corecții se stabilește prin calcularea permanentă a acesteia de către un calculator la care se trimit valorile curente ale diametrului piesei.

Cînd s-a ajuns la îndepărțarea cantității limită de material se dă semnalul și se execută corecția pietrei.

Pozitia capului de rectificat se compensează automat în funcție de valoarea corectării.

Avantajele C.A. de la mașina GON 20 A-C constau în următoarele:

- măsoară componenta  $F_y$  cu ajutorul unor elemente traductoare cu semiconductori, prin intermediul variației presiunii din lagărul anterior al arborelui principal. În acest mod nu se reduce rigiditatea mașinii și nici posibilitățile tehnologice a acesteia.
- comandă automat corecția pietrei stabilind valoarea cantității limită de material îndepărtat.

Dezavantajele acestei C.A. constau în aceea că se utilizează numai la rectificările cu avans transversal și nu compensează erosurile produse de variația rigidității STE.

### 2.3. C.A. pentru mașinile de rectificat rotund interior.

La soluțiile cunoscute [3], [4], se menține constantă forța radială  $F_y$ , folosind la unele ca element de reglare un amplificator hidraulic cu transformator electromecanic (vezi figura 7).

În procesul de rectificare mărimea  $F_y$  se măsoară continuu cu ajutorul elementului elastic ET și a traductorului inductiv TI, care este rigidizat în corpul păpușii pietrei de rectificat PP. Elementul traductor se compune din două inele prevăzute cu capete elastice.

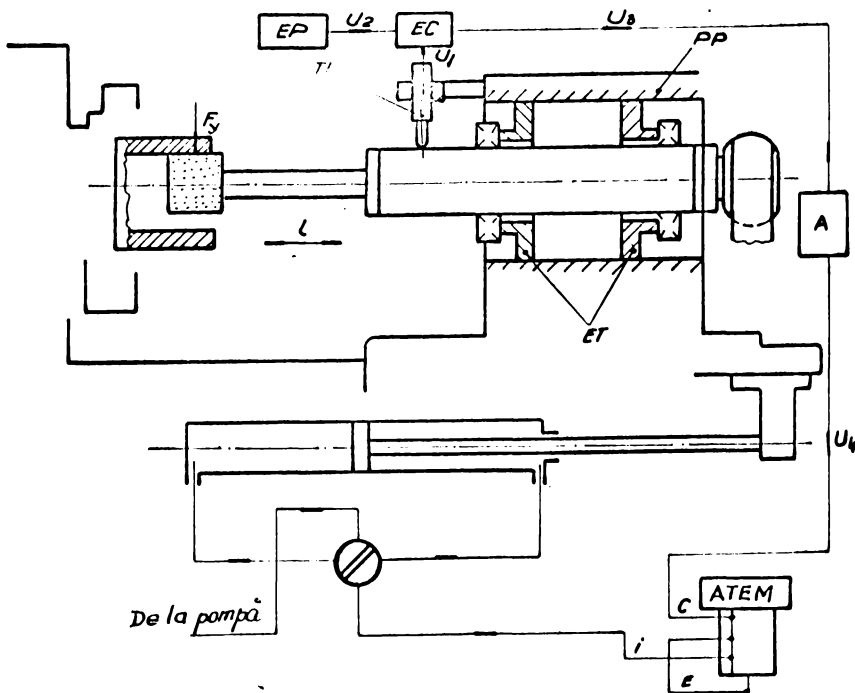


Fig.7. C.A. pentru mașini de rectificat interior cu ATEM

Semnalul electric  $U_1$ , proporțional cu mărimea forței radiale  $F_y$ , de la traductorul inductiv TI intră în elementul de comparare EC, în care intră de asemenea semnalul  $U_2$  proporțional cu mărimea forței radiale de referință (dată de elementul de programare EP). Semnalul rezultat în urma comparării  $U_3 = U_2 - U_1$  se amplifică până la valoarea  $U_4$  care se transmite la amplificatorul cu transformator electromecanic ATEM. Acesta din urmă corespunzătoare a avansului longitudinal și până cînd rezultatul comparării devine nul.

Se precizează că această CA a fost realizată pentru mașina de rectificat rotund interior model 3 A 227 (URSS).

In figura 8 se prezintă schema electrică pentru comanda amplificatorului cu transformator electromecanic de la traductorul inductiv TI tip BV - 844.

Bobinele  $L_1$  și  $L_2$  ale traductorului inductiv TI sunt introduse într-o punte formată cu rezistențele  $R_1, R_2, R_3$  și  $R_4$ . Rezistențele variabile  $R_2$  și  $R_3$  servesc la echilibrarea după amplitudine a punții ( $R_2$  pentru reglarea grosieră,  $R_3$  pentru reglarea fină), iar  $R_4$  pentru echilibrarea după fază. Deoarece miezul

bobinelor traductorului introduce neliniarități (apar armonice cu frecvențe superioare frecvenței tensiunii de alimentare a traductorului) după traductor sănt montate două filtre de frecvență joasă  $R_5 C_1$  și  $R_6 C_2$ . Semnalul, după ce a străbătut filtrele, intră într-un amplificator cu două trepte de frecvență joasă format din două triode 6 N 2 P (tubul  $T_1$ )."

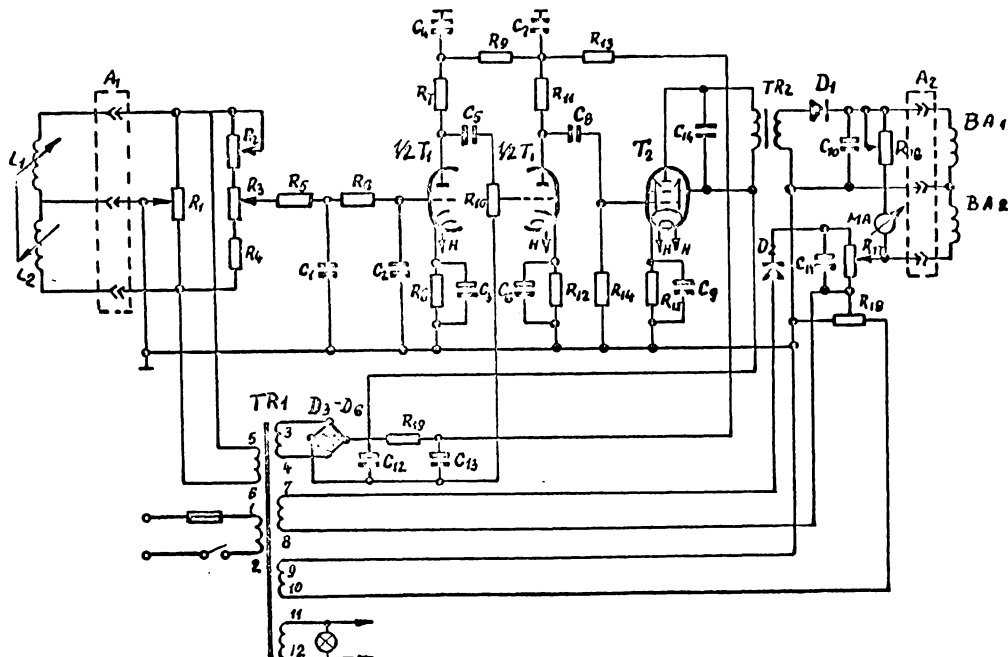


Fig.8. Schema electrică a C.A. pentru mașini de rectificat interior

Rezistența variabilă  $R_{10}$  servește la reglarea coeficiențului de amplificare. Mai departe semnalul intră în ultima treaptă (Tubul  $T_2$  tip 6 P<sub>1</sub> P) care lucrează în regim de amplificare a puterii. Ultima treaptă are la ieșire un transformator  $TR_2$  pentru adaptarea rezistenței anodice de încărcare a tubului și rezistenței bobinei BA 1 a ATEM. Semnalul pătrunde în bobina BA 1 după ce a trecut prin dioda D 1 cu semiconductori. În același timp, bobinei BA 2, prin intermediul diodei cu semiconductori D 2, i se aplică o tensiune de referință de la transformatorul de putere, mărimea căreia se poate regla cu potențiometrul R 17. Această tensiune produce un cîmp magnetic de sens contrar cîmpului magnetic

produs de bobina BA 1 și servește la compensarea curentului rezidual al bobinei BA 1, la echilibrarea schemei. Acesta crează semnalul de referință în sistem.

Pentru eliminarea frecările mixte dintre elementele mobile ale ATEM, suolimentar, bobinei BA 2 î se transmite o tensiune variabilă pentru creerea unei mișcări oscilatorii cu frecvență de 50 Hz. Amplitudinea oscilațiilor se reglează cu potențiometrul  $R_{18}$ . Pentru vizualizarea stării schemei servește microampermetrul MA. Alimentarea schemei se face de la rețeaua de curenț alternativ unde transformatorul de putere TR 1.

In ceea ce privește mărimea forței de referință, nu se dă indicații privind modul de obținere a ei.

Înțelegând că sistemul descris pentru mașinile de rectificat rotund exterior, sistemul prezentat mai sus este mai perfectionat. Semnalul dat de către traductorul inductiv necesită amplificări multe mai mici pentru comanda ATEM.

Procesul tranzitoriu are o durată mai scurtă iar sistemul în ansamblu o sensibilitate sporită. Folosește însă un element traductor inductiv, bazat pe deformațiile elastice ceeace constituie o sursă de vibrații și de deformații.

Intrucât sistemul modifică numai avansul longitudinal al mesei și nu și turația obiectului, înseamnă că suprafața prelucrată va avea microneregularități diferite pe diferite porțiuni cilindrice, ceea ce constituie un dezavantaj important. Acest lucru poate fi eliminat în contul creșterii complexității C.A.

#### Mașina de rectificat rotund interior cu forță controlată.

In anul 1964 firma „HEALD” din S.U.A. a realizat o mașină de rectificat rotund cu o finală capacitate productivă și care asigură precizie ridicată a alezajelor cilindrice și conice rectificate [92].

Acești doi indicii, calitativ superiori, sănătă precizie și precizie ridicată. Aceasta că rectificarea se execută cu forță radială controlată, valoarea ei fiind modificată în funcție de consolajul pinolei pietrei, prin pivotarea păpușii pietrei de rectificat în jurul punctului S, după cum se vede în figura 9. Rotirea păpușii pietrei se face astfel încât prin controlarea forței radiale să rezulte alezaje cu precizie ridicată.

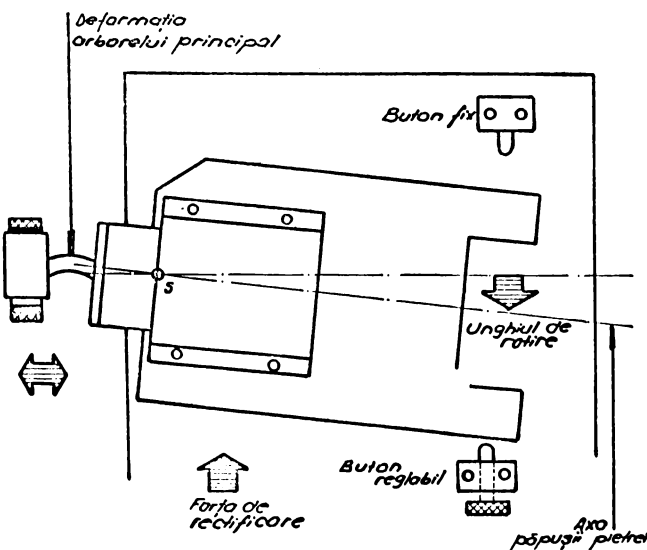


Fig.9. Principiul rectificării interior cu forță controlată HEALD

Sistemul de comandă al mașinii asigură în circuitul hidraulic de acționare presiune mare la degrozare și presiune mică la finisare, modificând și în acest mod forța radială.

Prin urmare C.A. a mașinii de mai sus controlează forța radială de rectificare funcție de consolajul pietrei de rectificat prin intermediul rotirii păpușii pietrei și numai la trecerea de la o fază la alta prin modificarea adâncimii de rectificare.

#### 2.4. C.A. pentru mașini de rectificat plan.

Schema unei C.A. de acest gen (figura 10) [2] se deosebește de cele anterioare prin elementul traductor ET, care în acest caz este un traductor de putere, respectiv un transformator de curent.

C.A. asigură menținerea constantă a puterii absorbite de către motorul de antrenare a pietrei modificând după necesitate mărimea avansului longitudinal al mesei, cu un ATEM. Sistemul în acest caz se simplifică mult. Curentul dintr-o fază a motorului care antrenează piatra de rectificat este proporțional cu forța tangențială la rectificare  $F_z$ , respectiv într-o oarecare măsură cu componenta radială  $F_y$ . Pe măsura uzării, raportul  $F_y/F_z$  se schimbă, ceea ce afectează precizia de prelucrare.

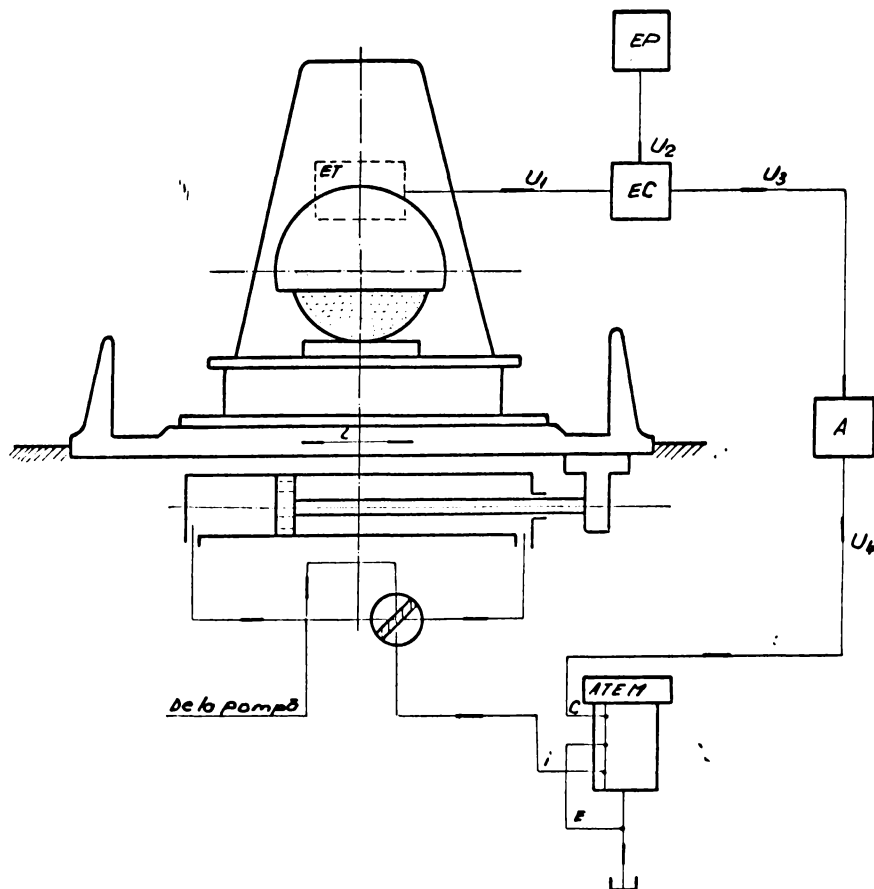


Fig.10 C.A. pentru mașini de rectificat plan.

Asemenea C.A. pot fi folosite în cazurile cînd nu se imprimă uretenții de precizie prea mari la prelucrarea pieselor.

... electrică de comandă se aseamănă cu cea redată în fig.8.

Referitor la sistemul prezentat mai sus, nu se precizează pe ce mașină s-a folosit și nici rezultatul încercărilor.

#### 2.5. C.A. pentru mașini de rectificat arbori canelați.

Si în cazul rectificărilor arborilor canelați procesul de lucru este comandat în funcție de valoarea forței radiale  $F_y$ , modificînd în mod corespunzător avansul longitudinal  $s_1$  al mesei mașinii.

Schema bloc a C.A. [3], este prezentată în figura 11.

Circuitul de măsurare al forței  $F_y$  se compune din elementul traductor ET (fig.5), amplificatoarele liniare  $A_1$  și  $A_2$ , în legătură inversă programată în funcție de deplasarea  $x$  a piețrei de rectificat PR, un element de detectare  $K_d$  și aparatul indicator  $I_1$ .

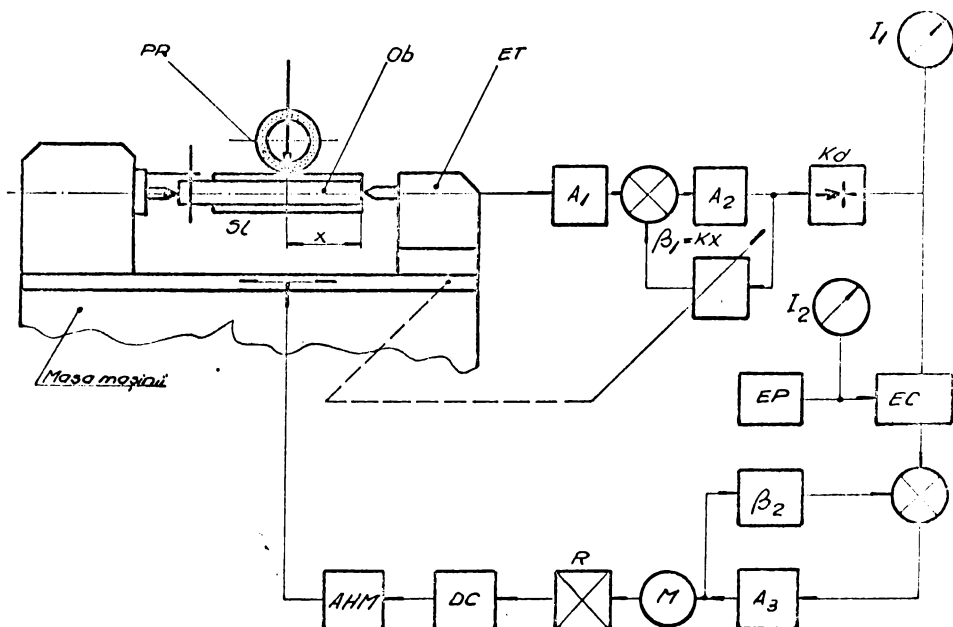


Fig.11. C.A. pentru mașini de rectificat arbori canelați.

Semnalul de la elementul de măsurare intră într-un element de comparare EC cu relee, în care se compară permanent cu viteză de referință a forței radiale, dată de elementele de programare și valoarea acesteia din urmă se vizualizează la aparatul indicător. Rezultatul comparării, după amplificare în  $A_3$ , intră în motorul electric M prevăzut cu frână electromagnetică. Acesta prin redusorul R și distribuitorul de comandă DC, acționează asupra elementului de reglare al avansului longitudinal  $s_1$  al mesei, din acționarea hidraulică AHM a acestiei.

Dacă semnalul corespunzător forței programate, este mai mare decât cel corespunzător forței radiale măsurate, se comandă creșterea vitezei de deplasare a mesei ( $s_1$ ) iar în caz contrar micșorarea acesteia.

Cu sistemul prezentat a fost înzestrată mașina semiautomatică de rectificat arbori canelați M<sub>d</sub>345 (URSS).

Încercările efectuate nu au avut în evidență următoarele.

- dimensiunile arborilor canelați s-au încadrat în limitele toleranțelor prescrise;
- pe suprafețele rectificate nu s-au observat *arsuri*;
- datele obținute prin cronometrare au arătat că timpul de mașină s-a redus de 2...2,5 ori față de rectificarea fără C.A.

Sistemul descris mai sus are în principiu același structură ca cel prezentat anterior, folosind în mare parte aceleși elemente de automatizare și deci are și aceleași dezavantaje.

#### 2.6. C.A. pentru automate de rectificat interior în cele de rulmenti.

Sistemul se compune din două subsisteme legate între ele prin însumări forță de încărcare  $F$  (figura 12) [65].

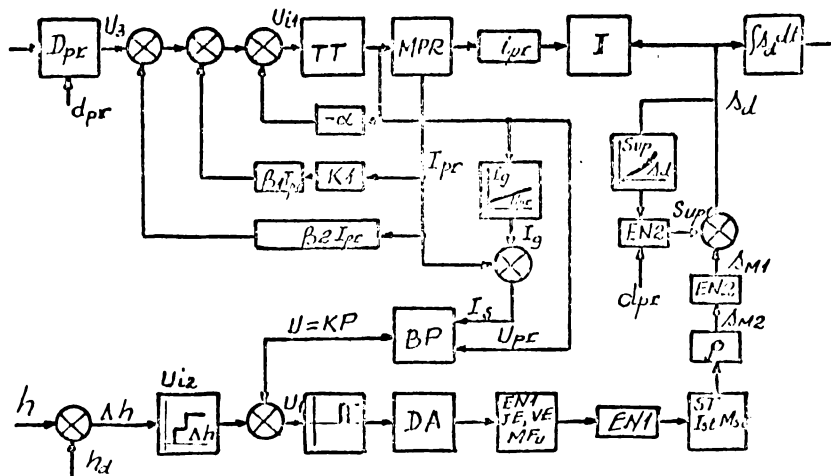


Fig.12. C.A. pentru automate de rectificat interior în cele de rulmenți

Prințul subsistem cu acțiune continuă modifică tensiunea de comandă  $U_3$  în funcție de valoarea curentă a diametrului  $d_{nr}$  al ojetelor de rectificat. Tensiunea de intrare  $U_{il}$  a unui transformator cu tiristoare TT modifică tensiunea în indușul motorului ojetelor de rectificat MPR care la rîndul lui variază turata la piatră de rectificat.

In schemă sînt introduse următoarele legături inverse:

- o legătură negativă după tensiune  $(-\alpha)$ ;
- o legătură pozitivă după curent  $(\beta_1 I)$  și în serie cu aceasta, o verigă de corecție  $K_1$ ;
- un bloc de întrerupere după curent cu coeficientul  $\beta_2$ .

Al doilea subsistem realizează avansul transversal al pietrei de rectificat menținînd constantă valoarea maximă admisibilă a acestuia astfel încît, în procesul de prelucrare, să nu apară arsuri și să se utilizeze puterea motorului de antrenare al pietrei de rectificare. Semnalul  $U$  proporțional cu puterea  $P$  se transmite blocului de putere BP compus din traductorul de curent de sarcină  $I_s$  cu compensator pentru curentul de mers în gol  $I_g$  ( $U_g$ ) și blocul de înmulțire.

A doua acțiune de comandă pentru subsistemul cu relee o constituie adaosul de prelucrare  $h$  al semifabricatului. Legătura inversă principală o constituie mărimea adaosului de prelucrare îndepărtat  $h_d$ , obținut prin integrarea vitezei de avans  $s_d$ . Valoarea curentă a adaosului de prelucrare care rămîne  $\Delta h$  determină instalarea după putere  $[Ui_2 (\Delta h)]$ . La scăderea lui  $P$  sub o valoare mai mică decît cca prestabilită, releele cuplază motorul de avans DA la sursa de alimentare. Motorul DA transmite mișcarea de rotație printr-un reductor suportului transversal ST, care nosedă momentul de inerție  $I_{st}$  și momentul de frecare  $M_{st}$ . Reductorul reprezintă elementul neliniar EN 1, care include și jocurile echivalente JE, momentul  $M_{je}$  de frecare uscată și veriga elastică VE. Roata arborelui de ieșire al reductorului se transformă cu raportul  $\rho$ , în mișcare rectilinie alternativă cu viteza  $S_{M2}$ , a suportului transversal.

Asupra dinamicii procesului de rectificare influențează esențial rigiditatea arborelui pictrei de rectificat (modelată prin elementul EN2) care produce micșorarea lui  $S_{M2}$  pînă la valoarea  $S_{M1}$ . Uzura pictrei de rectificat, care creează legătura inversă pentru subsistemul cu relee, se imită printr-o caracteristică neliniară de viteză a uzurii  $S_{up}$ , a pietrei de rectificat funcție de  $S_d$ . Prin aceasta elementul neliniar EN2 ține cont de influența diametrului pietrei de rectificat.

Folosirea în sistem a două acționări reglabile continuu a fost necesară pentru asigurarea unei finale capacități productive a automatului și a unei finale calități a prelucrării.

Din cele prezentate mai sus rezultă că sistemul menține constantă viteza de aşchiere a pietrei de rectificat luând în considerare atât uzura pietrei în timpul lucrului cît și variația diametrului în urma corecției. Se justifică menținerea constantă a vitezei prin aceea că în cazul micșorării vitezei față de cea inițială, crește viteza de uzură a pietrei de rectificat (grauilele sănt solicitate mai mult), capacitatea de aşchiere scade și rugozitatea suprafeței crește.

Prelucrarea cu viteză periferică constantă a pietrei este acceptabilă în cazul automatului de mai sus, însă aceasta ar trebui să aibă valori cît mai mari. Un dezavantaj al acestei CA constă în aceea că diametrul pietrei de rectificat este măsurat indirect prin intermediul adaosului de prelucrare îndepărtat și a valorii corecției. Soluția este valabilă în cazul producției de masă unde se prelucrează piese de aceiași tipodimensiune și din același material..

A doua problemă pe care o rezolvă sistemul este reglarea mărimi avansului transversal astfel încât puterile consumate să aibă valorile precizate în prealabil (de referință). Soluția a fost aplicată și la alte CA (cuprinse în prezenta lucrare) unde și-a arătat dezavantajele.

Criteriul de durabilitate a pietrei de rectificat este apreciat și comandat după cantitatea de material îndepărtat, (în volum). Această soluție a putut fi aplicată la producția de masă deoarece se rectifică un singur material. La o mașină de rectificat pentru producția individuală și de serie mică, care prelucrează piese din materiale diferite, rezolvarea problemei este mai dificilă. Totuși trebuie avută în vedere întrucât ea are importanță și există deja sistemul japonez al firmei Toyoda, care stabilește valoarea limită a cantității de material îndepărtat ținând cont și de calitățile diferitelor materiale.

## 2.7. C O N C L U Z I I

Din cele prezentate mai sus rezultă că pe plan mondial se desfășoară intense cercetări privind introducerea comenziilor adaptive la mașinile de rectificat.

Majoritatea sistemelor prezentate admit ca mărime de referință componenta radială  $F_y$  a forței de rectificare cu care se

compară permanent componenta reală a aceleiași forțe, măsurată permanent cu traductoare. Mai puțin răspindite și mai puțin perfecționate sunt C.A. care folosesc puterea de antrenare a pietrei ca mărime de referință.

Elementele traductoare folosite la C.A. prezентate sunt de diferite construcții și se bazează pe diferite principii: mecanice (bazate pe deformațiile elastice), inductive, de putere, și cu semiconductori pentru măsurarea variațiilor de presiune în lagărele arborelui pietrei.

Dintre toate elementele traductoare cele mai perfecționate sunt ultimele, întrucât sunt foarte apropiate de locul de acțiune al forțelor și prezintă siguranță mare în funcționare.

C.A. descrise, regleză unul sau doi parametrii ai regimului de rectificare și anume: viteza de avans  $a$  și  $v_m$  sau viteza de avans transversal  $s_t$  și turăția obiectului  $n_o$ . În plus C.A. a mașinii GON 20A-C controlează și cantitatea limitată de material, ținând cont și de diferite calități de materiale.

Nici o C.A. cunoscută, nu permite prelucrarea adaptiv atât cu  $s_1$  cât și cu  $s_t$ .

Probleme deosebite apar la sfîrșitul trecerilor cînd datorită micșorării forței radiale, C.A. mărește corespunzător parametrii reglați, efect ce trebuie înălțurat. Unele din sistemele prezентate rezolvă această problemă prin aceea că decuplează C.A. la sfîrșitul trecerii, iar printr-un releu maximal de curent comandă pătrunderea pietrei de rectificat. În momentul realizării forței radiale cupleză C.A.

Dezavantajul metodei constă în folosirea releeului maximal de curent care măsoară indirect și cu erori componenta radială  $F_y$  a forței de șchiere.

Asigurarea unor avansuri de pătrundere foarte mici a fost posibilă prin utilizarea sistemelor de ghidare cu frecare de rostogolire sau cu susținăție hidrostatică. Si din acest punct de vedere se apreciază din nou sistemul de avans al arborelui pietrei folosit în ultima fază de rectificare, de la mașina de rectificat GON 20A-C (Japonia).

Dintre elementele de automatizare folosite, cele mai avanțatoase sunt acelea care au momente mici de comandă (ATEM). Semnalele pentru comanda acestora necesită amplificări reduse.

Comanda trecerii de la o fază la alta a operației de rectificare a fost realizată prin dispozitivul de control activ sau prin C.N. la mașina GON 20A-C.

Din cele de mai sus rezultă modificările ce trebuie făcute unei mașini de rectificat rotund exterior pentru a o înzestra cu C.A

- arborele principal al pietrei să fie prevăzut cu susținție hidrostatică;
- sistem de ghidare cu frecare de rostogolire sau cu susținție hidrostatică a mănușii pietrei de rectificat;
- hidromotor rotativ pentru antrenarea obiectului;
- sistem de încărcare cu forțe de referință;
- înzestrarea mașinii cu dispozitiv de control activ;
- introducerea în sistemul hidrostatic a elementelor de automatizare cu cuplu mic de comandă;
- sistem de corecție a pietrei de rectificat cu posibilități de automatizare.

### 3. REGIMUL DE ASCHIERE IN CONDITIILE C.A.

#### 3.1. Aspecte ale fenomenelor fizice la rectificare.

Acestea au constituit obiectul mai multor studii, însă mai sunt suficiente probleme neclarificate. De aceea teoretic și prin experimentări s-au urmărit unele probleme ce interesează regimul de aşchierie și implicit C.A.

Datorită numărului foarte mare de granule de pe periferia discului, avansul pe o granulă este foarte mic iar grosimea aşchiei mică și variabilă începînd de la zero. Datorită razei de bontire a granulei de ordinul a  $20...30 \mu\text{m}$ , în prima fază, granula începe să se tări pe suprafață de aşchierie cu o presiune radială și cu forțe de frecare treptat crescătoare, producînd o strivire (ecruisare) a stratului superficial. Apoi, pe măsură ce stratul de aşchierie se îngroasă, granula pătrunde în el, producînd la început numai o sgîrietură cu o ușoară refulare de material în față și lateral și abia ceva mai tîrziu detacazău aşchia. Fenomenele de strivire și sgîriere din primele faze sunt cu atît mai intense, cu cît grosimea aşchiei este mai mică și cu cît raza de bontire a granulelor este mai mare.

La trecerea granulei prin adaosul de prelucrare cu viteze foarte mari ( $20...100 \text{ m/s}$ ) și cu forțe de frecare mari, se produce o ridicare de temperatură pînă la  $900...1200^\circ\text{C}$ . Această temperatură ridicată, precum și presiunea mare pe suprafață de aşchierie, face ca și în stratul superficial al suprafetei prelucrate să aibă loc transformări fizice ca: ecruisarea și texturarea constituientilor metalografici, precum și o transformare a soluțiilor solide și a structurii. Încălzirile care sunt cu mult peste punctele de transformare  $A_{\text{cl}}$ ,  $A_{\text{c}3}$  și răcirile brusce, provocate de lichidul de răcire, duc la transformări de faze și structurale ( $M$  cubică  $\rightarrow$   $A$  la încălzire și  $A \rightarrow M$  tetragonală de răcire). Aceste transformări fiind însotite de variații de volum, determină apariția tensiunilor interne de întindere și apoi de compresiune.

Valorile acestor tensiuni pot depăși limita de rupere a materialului provocînd fisuri.

La rectificările fără rucire, temperatura obiectului poate oscila între  $20^{\circ}\dots350^{\circ}\text{C}$ . Temperaturile dinspre limita superioară de  $200^{\circ}\dots350^{\circ}\text{C}$  favorizează autorevenirea straturilor inferioare. Prin acest fenomen martensita tetragonală și austenita reziduală se transformă în martenită cubică, are loc o micșorare de volum ( $2\dots4\%$ ) și deci o micșorare a tensiunilor interne. Din acest punct de vedere, răcirea la rectificare este dezavantajoasă.

Ajutorii valorii temperaturii din zona de contact în afara criteriilor pietrei abrazive și a materialului o influență pe parametrii regimului de aşchieri.

Temperatura în zona de contact crește cu creșterea vitezei abrazive după o legă exponențială, valorile exponentilor fiind între  $0,25\dots0,35$ . S-a constatat, de asemenea, că la o adâncitură scăzută cu creșterea diametrului pietrei, tot evident, exponentul are valoarea cca  $0,25$ . Micșorarea granulației joacă un rol în micșorarea temperaturii iar creșterea duratății de lucru crește acesteia. Creșterea porozității pietrei reduce posibilitatea de apariție a fisurilor.

Temperatura de rectificare crește în măsură mult mai mare cu creșterea adâncimii de aşchieri și cu reducerea vitezei de rotație a piesei.

In consecință, rectificarea cu parametrii de aşchieri necorespunzători provoacă fisuri în straturile superficiale.

Fisurile datorită rectificării diferă de fisurile apărute în urma tratamentului termic, prin aceea că ele nu pătrund în material decât pe o adâncime mică, de cîteva zecimi de milimetru. Adâncimea acestor fisuri nu depășește adâncimea stratului dur, direcția lor fiind perpendiculară pe direcția de rotire a pietrei, putindu-se prezenta uneori și sub formă de rețea.

Fisurile provenite de la rectificare sunt foarte fine și din acest motiv rareori pot fi depistate cu ochiul liber.

După cum s-a arătat în [69], evitarea apariției fisurilor la diferite materiale este posibilă numai printr-o alegere corespunzătoare a parametrilor reali de aşchieri.

In scopul evitării anariției defectelor (ârsuri, fisuri), pe suprafața rectificată, la elaborarea strategiei comenzii adaptive trebuie să se aibă în vedere acest aspect, deosebit de important. Dat fiind faptul că valorile parametrilor și starea periferiei pietrei determină mărimea componentei  $P_y$ , înseamnă că

există posibilitatea evitării defectelor de suprafață prin intermediul controlării mărimiții acestei forțe. Nu este cunoscută, pînă în prezent, formularea acestei posibilități, deși s-au urmărit lucrările de specialitate din acest domeniu. Metodologia actuală de stabilire a parametrilor regimurilor de aşchiere nu ține seama de acest aspect, și chiar dacă l-ar lua în considerare, nu l-ar putea rezolva integral din cauza schimbărilor valorilor parametrilor chiar în timpul desfășurării procesului.

3.2. Analiza metodologiei actuale de stabilire a parametrilor regimului de rectificare rotund exteroiară între vîrfuri.

Datele inițiale care stau la baza stabilirii parametrilor regimului de rectificare sunt: desenul de execuție al piesei, caracteristicile mașinii pe care se execută rectificarea și caracteristicile pietrei de rectificat..

În primul rînd se recomandă ca adaosul de prelucrare să fie îndepărtat 80% la faza de degroșare iar 20% la faza de finisare.

Se trece apoi la determinarea avansului longitudinal  $s_1$  care la faza de degroșare se alege în funcție de diametrul piesei iar la cea de finisare în funcție de rugozitatea ce trebuie să fie obținută [58].

Pe bază de tabele se stabilește valoarea avansului transversal funcție de viteza avansului principal și diametrul obiectului la degroșare, iar la finisare în funcție de valoarea avansului longitudinal, viteza avansului principal și diametrul obiectului.

Durabilitatea economică a pietrei se alege în funcție de clasa de precizie la care trebuie obținută piesa, lipirea diametru și raza de racordare a muchiei pietrei.

Avînd datele de mai sus, eventual corespunzătoare, se trece la calculul vitezei periferice a piesei, după cum urmează:

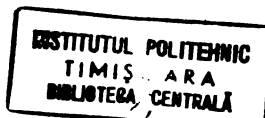
- la rectificarea cu avans longitudinal:

$$v_p = \frac{0,17 \cdot d^{0,3}}{T^{0,5} \cdot \beta \cdot t} K_1 \cdot K_2 \quad [\text{m/min}]; \quad (1)$$

- la rectificarea prin pătrundere :

$$v_p = \frac{0,17 \cdot d^{0,3}}{T^{0,5} \cdot t} \quad [ \text{m/min} ],$$

în care:  $d$  este diametrul suprafeței care se prelucrează, în mm;



- m - durabilitatea economică a pietrei abrazive, în min;
- β - avansul longitudinal în fracțiuni din înălțimea discului;
- t - adâncul de pătrundere, mm/cursă sau mm/c.d. la rectificarea cu avans de trecere sau mm/rot. la rectificarea prin pătrundere;
- $K_1$  - 0,95...1,05, coeficient care ține seama de natura materialului care se rectifică;
- $K_2$  - 0,82...1,12, coeficient care ține seama de diametrul discului abraziv.

Valoarea vitezei periferice a piesei mai poate fi extrasă direct din normative. Se determină apoi turăția respectivă.

Etapa următoare conține calculul componentei principale  $F_z$  a forței de aşchierie și o verificare a puterilor de acționare a pietrei și respectiv a obiectului.

Componenta  $F_z$  se determină cu relația:

$$F_z = C_F \cdot V_p^{0,7} \cdot s_l^{0,7} \cdot t^{0,6} \quad [\text{daN}], \quad (3)$$

în care:  $C_F = 2,0 \dots 2,2$ , coeficient care ține seama de natura materialului de rectificat;

$V_p$  - viteza periferică a piesei, în m/min;

$s_l$  - avansul longitudinal, în mm;

t - adâncimea de aşchierie, în mm.

Pentru determinarea aceleiași componente în [27], [49], [75] este prezentată o altă relație dedusă în funcție de apăsarea specifică pe granulă și de numărul de granule pe generatoarea pietrei, considerind detasarea aşchiei la rectificare analoagă cu formarea aşchiei la frezare.

Această relație este:

$$\frac{F_z}{e^\mu} = K \cdot \frac{B^m}{e^\mu} \cdot \left( \frac{V_p}{120 V_d} \right)^{1-\mu} \sin^{1-\mu} \phi_{\max} \quad (4)$$

în care:

K - este rezistența de aşchierie în  $(\text{daN}/\text{mm}^2)$  ca o constantă a materialului de rectificat, depinzând și de caracteristicile pietrei abrazive;

B și e - înălțimea discului și distanța dintre granule, ambele în mm;

$\mu = 0,3 \dots 0,6$  coeficient care depinde de prelucrabilitatea materialului și de starea de uzură a tășului granulei abrazive;

$r$  și  $v_d$  - raza și viteza periferică a discului de rectificat, în mm și respectiv în m/s;

$v_p$  - viteza de avans a piesei în punctul de contact, în m/min;

$\gamma$  - unghiul de contact în radiani, a cărei expresie depinde de tipul de rectificare, expresii care sunt identice cu ale unghiului de contact la tipurile de frezare analoge;

$\phi_{\max}$  - unghiul la care grosimea aşchiei este maximă și care depinde de tipul de rectificare (respectiv de frezare). La rectificarea cu periferia discului  $\phi_{\max} = \gamma = 2 \sqrt{\frac{t}{D}}$  radiani,  $t$  fiind adâncimea de aşchiere iar  $D$  diametrul discului abraziv.

Puterea efectivă pentru acționarea discului se determină cu relațiile:

- la rectificarea cu avans longitudinal :

$$P_e = 0,208 \cdot v_p^{0,7} \cdot s_1^{0,7} \cdot t^{0,25} \cdot d^{0,25} \cdot B^{0,25} \cdot k_1 \cdot k_2 \quad (5)$$

- la rectificarea cu avans de pătrundere;

$$P_e = 0,132 \cdot v_p^{0,7} \cdot t^{0,25} \cdot d^{0,25} \cdot L_p \cdot k_1 \cdot k_2, \quad (6)$$

în care:  $d$  este diametrul piesei care se prelucrează, în mm;

$B$  - lățimea discului abraziv, în mm;

$L_p$  - lungimea suprafeței de rectificat, în mm;

$k_1$  - coeficient care ține seama de duritatea discului, având valori cuprinse între 0,9...1,58;

$k_2$  - coeficient care ține seama de natura materialului având valori cuprinse între 0,9...1,2;

De asemenea puterea efectivă de antrenare a discului abraziv se poate determina și cu relația:

$$P_{ed} = \frac{F_z \cdot v_d}{75 \cdot 1,36} \quad [\text{kW}], \quad (7)$$

în care;  $F_z$  este componenta principală a forței de aşchiere, în daN iar  $v_d$  viteza periferică a discului abraziv, în m/s.

Puterea pentru acționarea piesei se poate determina cu relația:

$$P_{ep} = \frac{F_z \cdot v_p}{75 \cdot 1,36} \quad [\text{kW}], \quad (8)$$

în care  $v_p$  este viteza piesei, în m/s iar  $F_z$  are aceeași semnificație ca și în relația (7).

În majoritatea întreprinderilor constructoare de mașini, alegerea parametrilor regimurilor la rectificare se face utilizând normativele elaborate de MICM.

Prin ambele metode se obțin valori orientative ale parametrilor de aşchiere, ale forțelor și puterilor, mai mari decât valorile reale ale acestora. Această neconcordanță, se datorează faptului că nu se ia în considerare rigiditatea STE, aspect deosebit de important la prelucrările prin rectificare. Deformațiile STE micșorează pe lîngă precizia de prelucrare, adîncimea reală de rectificare, ceea ce duce la micșorarea forțelor și puterii în aşchiere. La rectificare, fenomenul se evidențiază mai mult decât la celelalte procedee, datorită faptului că deformarea STE reprezintă o cotă relativ mai mare din adîncime.

Dintre metodele prezентate prima metodă este cel mai mult utilizată fiind mai simplă și cu posibilități de cunoaștere mai precisă a factorilor care intervin în relații.

În momentul când se pune problema stabilirii automate a încărcării unei mașini-unelte, ținând cont atât de economicitate cât și de precizia și calitatea suprafetei este absolut necesar să se cunoască amănunțit, sub toate aspectele, procesul de aşchiere respectiv. Numai în acest mod se poate elabora strategia cea mai corespunzătoare în vederea conceperii unui sistem de comandă eficient.

Privind metodologia de determinare a parametrilor regimului de aşchiere din acëst punct de vedere, se pot constata următoarele:

În primul rînd, parametrii sunt stabiliți fără a se ține seama de rigiditatea sistemului tehnologic elastic, ceea ce are două consecințe și anume:

- a) Din cauza deformațiilor elastice care apar în sistem, adîncimea reală de aşchiere este mai mică decât cea reglată la mașină, scăzînd în acest mod capacitatea productivă a mașinii;
  - b) Deformațiilor elastice, acționînd în mod variabil (mod practic necunoscut), au influență negativă în special asupra preciziei formei piesei.
- În al doilea rînd această metodologie, nu cuprinde influența vitezei de aşchiere a pietrei asupra calității suprafetei, asupra forțelor care apar în procesul de rectificare.

In al treilea rînd, durabilitatea pietrei este apreciată la un anumit timp, fără să existe un criteriu obiectiv de apreciere a momentului în care piatra trebuie să fie corectată.

In al patrulea rînd componenta  $F_y$  a forței de aşchieri este exprimată prin intermediul componentei  $F_z$  sub formă unui raport  $\frac{F_y}{F_z} = K$ , K-având valori supraunitare și variabile într-un anumit domeniu în perioada de durabilitate a pietrei. Valoarea limită superioară a domeniului, dată de diverși cercetători, este diferită.

Dat fiind faptul că deformatiile sistemului tehnologic elastic, importante pentru proces, depind în cea mai mare parte de valoarea componentei  $F_y$ , se impune cunoașterea mai exactă a ei, eventual controlul mărimii acesteia pentru ca în final să rezulte piese cât mai precise.

Un alt aspect legat de valoarea acestei forțe este acela că deformatiile sistemului tehnologic elastic variază în domeniul bidimensional de prélucrare al mașinii, ceea ce va provoca erori de formă ale pieselor la faza de degroșare, erori ce se vor păstra și la faza de finisare, transmitîndu-se în continuare, la scară mai redusă, și la faza de destindere. Numărul de treceri, la ultima fază, necesar pentru eliminarea erorilor de formă este relativ ridicat ceea ce și în acest mod reduce capacitatea productivă a mașinii.

In al cincilea rînd, un aspect tot atât de neclar este acela a obținerii unei anumite rugozități funcție de valoarea avansului longitudinal și respectiv a avansului transversal.

In general calitatea suprafeței se obține în urma fazei de destindere. Prin urmare, problema care se pune este accea a ști către treceri sănătatea rugozității la faza de finisare, pentru a se obține rugozitatea imbusă. In cazul prălucrărilor cu astfel de regimuri de aşchieri rigide, se pare că numărul de treceri la faza de destindere este determinat de eliminarea erorilor de formă ale pieselor, prin revenirea treptată a sistemului la starea inițială, nedeformată. In concluzie se impune stabilirea unei relații între, rugozitatea finală, rugozitatea inițială, parametrii regimului și numărul de treceri.

In al săselea rînd, se subliniază de către diversi cercetători că asupra capacitatii aşchietoare a pietrei abrazive influențează materialul sculei de corectat precum și parametrii pro-

In lucrările din acest domeniu există însă prea puține date cu privire la acest aspect. In cazul unei comenzi automate eficiente și această problemă trebuie să fie bine pusă la punct.

In al șaptelea rînd, o problemă care se referă la condițiile de exploatare a mașinii este aceea a dezavantajului prelucrării cu parametrii de lucru reglați, constanți. Dezavantajul constă în aceea că în cazul variației adâncimii de aşchieri sau a durității materialului, forțele care apar pot duce la defectarea mașinii, la apariția pericolelor de accidentare sau la creșterea temperaturii în zonele de contact peste valorile admisibile care să dea naștere la defecte de suprafață (arsuri, fisuri, etc.).

In al optulea rînd, datorită neclarităților expuse mai sus tehnologul, pentru siguranță, nu va prescrie parametrii regimului de aşchieri rezultați din calcule ci parametrii cu valori mai reduse, apărând astfel o rezervă care duce la reducerea capacitatii productive a mașinii.

In al noulea rînd, în condițiile actuale de elaborare a tehnologiilor de rectificare, volumul de timp necesar tehnologilor centru calculul regimurilor este relativ ridicat, ceea ce s-ar reduce foarte mult sau chiar total, în condițiile comenzi adaptive a mașinii.

Față de cele semnalate mai sus o influență mare asupra capacitatii productive a mașinii o are structura ciclului de rectificare, modul cum se realizează diferite faze ale acestuia, în sensul că volumul de material îndepărtat în unitatea de timp depinde de valoarea deformațiilor sistemului tehnologic și de legea de variație a acestora de-a lungul ciclului.

In scopul elaborării unei strategii căt mai corespunzătoare centru realizarea comenzi adaptive se impune clarificarea problemelor enunțate mai sus.

### 3.2.1. Viteza periferică a discului la rectificare

Cercetările efectuate pînă în prezent au arătat că în domeniul vitezei periferice cuprinse între 6...12 m/s, discurile abrazive obișnuite lucrează cu autoascuțire, fără semne de îmbîrsuire și cu viteză de uzură mare. La creșterea vitezei peste 12 m/s apar primele semne de îmbîrsuire a granulelor iar de la 20 m/s în sus, viteza de îmbîrsuire a granulelor devine importantă. Uzura discului abraziv scade cu creșterea vitezei periferice a acestuia. Ceamai mică viteză uzură s-a observat la viteze ale acestor discuri cuprinse între

În același timp lucrările [55], [68], [75], în contradicție cu rezultatele de mai sus obținute la VNIIAS - Moscova, arată pe cale experimentală că odată cu creșterea vitezei periferice a discului, uzura pietrei crește. K. Watanabe [76] a justificat creșterea uzurii pe seama creșterii amplitudinii vibrațiilor, iar Fahlitzsch G. [55] prin creșterea temperaturii în zonele de contact combinată cu o creștere însemnată a șocurilor dinamice.

Dacă influența vitezei periferice a pietrei asupra uzurii ei este încă o problemă neclarificată complet, se știe și este verificat experimental faptul că cu cât crește viteză pietrei se îmbunătățește calitatea suprafeței (fig.13), precizia de formă a pieselor rectificate (fig.14) și capacitatea productivă.

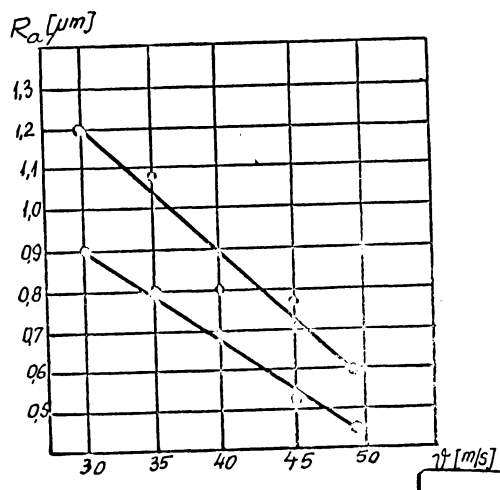
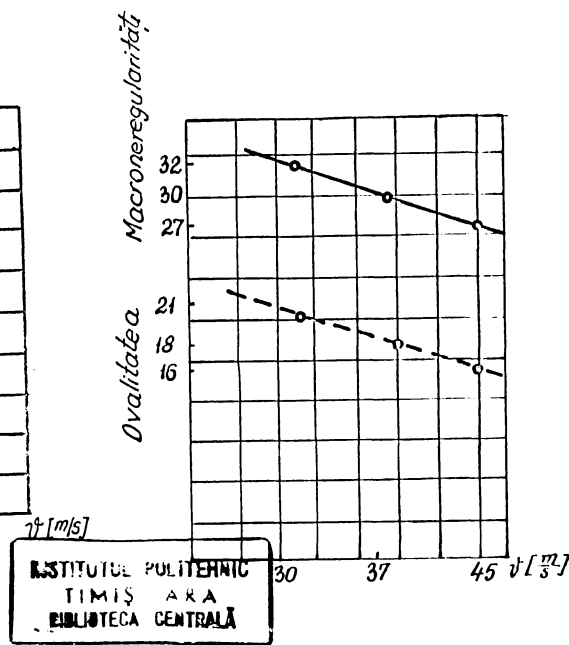


Fig.13. Influența vitezei pietrei asupra rugozității supra-



INSTITUȚIUL POLITEHNIC  
TIMIȘ OARA  
BIBLIOTECĂ CENTRALĂ

Fig.14. Influența vitezei pietrei asupra preciziei de prelucrare

acestea sunt, de fapt, principalele motive care au dus la amariția mașinilor de rectificat cu viteze ale pietrei cuprinse între 80...90 m/s.

Cresterea preciziei pieselor se explică prin aceea că odată cu creșterea vitezei periferice a pietrei scade forța de rectificare (ceea ce se vede în relația (4)), și respectiv compoента  $F_y$  ceea ce

Micșorarea rugozității suprafetei se datorează faptului că odată cu creșterea vitezei pietrei crește numărul de granule care participă în proces și se reduce adâncimea de aşchieri ceea ce determină micșorarea înălțimilor asperităților.

În concluzie, în scopul obținerii unor piese precise în condiții de capacitate productivă maximă se impune să se lucra cu viteză periferică cft mai ridicată, permisă de piatră și de mașină.

### 3.2.2. Durabilitatea pietrei abrazive și criterii de durabilitate

În procesul de rectificare, în perioada dintre două corecții, suprafața de lucru a pietrei se modifică, adică se îmblocă, muchiile active a granulelor se uzează, se măresc distanțele dintre granule, pe diferite granule se lipește metalul, etc. Ca rezultat se modifică proprietățile suprafetei pietrei, calitatea, macrogeometria. Pentru a se evita rebuturile este necesar să se stabili un criteriu obiectiv care să indice momentul de restabilire a proprietăților de aşchieri a pietrei de rectificat.

Până în prezent nu se cunoaște un criteriu universal de durabilitate, alegerea lui depinzând de o serie de condiții tehnice ale prelucrării. În funcție de scopul urmărit să poate aprecia durabilitatea pietrei prin intermediul următorilor factori: creșterea erorilor de prelucrare, creșterea înălțimii microneregularităților, mărirea puterii și componentei tangențiale, creșterea componentei radiale, apariția arsurilor, amplificarea zgomotului, creșterea amplitudinii autooscilațiilor și cantitatea de material îndepărtat.

Mărirea erorii de prelucrare poate servi ca și criteriu de durabilitate în special la rectificările cu avans transversal cind se măsoară erori de formă (abateri de la rectilinitate, micșorarea înălțimii vîrfurilor la rectificarea filetelor, etc), cu dispozitiv de control activ. Se recomandă în general la prelucrarea suprafeteelor profilate.

Un criteriu mai eficient de apreciere a momentului cind se impune corecția ar fi creșterea relativă a înălțimii (de 1,5 ... 2 ori) a rugozității suprafetei. La atingerea valorii rugozității impuse, elementul traductor transmite semnalul la dispozitivul de corecție a pietrei care execută reascuțirea acesteia.

Cercetările [42] au arătat o variație mică și neuniformă a puterii de rectificare (a pietrei) în perioada de durabilitate.

Spre deosebire de unele cazuri în care puterea crește cu 20...33% în alte cazuri se observă o menținere constantă sau chiar o micșorare a puterii la rectificarea de pătrundere în perioada de durabilitate. Micșorarea puterii la rectificare, evident, se explică prin mărirea razei de curbură a vîrfurilor granulelor și deci a micșorării numărului de granule așchietoare pe suprafața de lucru a pietrei. Din acest motiv puterea la rectificare nu poate să servească drept criteriu sigur pentru aprecierea durabilității.

Prin încercări experimentale s-a dovedit că în perioada de durabilitate componenta radială  $F_y$  a forței de așchiere crește. Folosirea unor aparate de mică inertie în ultimii ani, au arătat că crește nu numai valoarea medie a forței radiale dar și amplitudinea oscilațiilor acestei mărimi. S-a constatat, de asemenea, că amplitudinea oscilațiilor crește cu creșterea durabilității pietrei. Creșterea relativă a valorii maxime a forței radiale poate fi folosit drept criteriu de durabilitate.

În îmbîncarea granulelor și lipirea metalului pe suprafațele lor, într-o serie de cazuri apar arsură pe suprafața rectificată. Apariția arsurilor poate avea loc și la regimuri ușoare de prelucrare. Din acest motiv apariția arsurilor poate fi admis criteriu de durabilitate, însă numai în anumite cazuri speciale, că aceste defecți de suprafață nu au prea mare importanță asupra funcționării ulterioare a piesei.

Unii cercetători au admis criteriu de durabilitate amplificarea și schimbarea caracterului zgomotului.

În practică aprecierea zgomotului este subiectivă.

Greutatea constă în aceea că zgomotul la rectificare este dominat de zgomotul atelierului și de asemenea, de zgomotul instalației de răcire.

Cercetările experimentale din ultimul timp au stabilit că schimbarea zgomotului la rectificare, în perioada de durabilitate apare ca urmare a procesului autooscilant provocat de uzura pietrii de rectificat [47]. Vibrațiile pot fi produse atât de cauze exterioare cît și de însăși procesul de așchiere. Frecvența oscilațiilor forțate se suprapune cu frecvența forțelor perturbatoare sau cu un submultiplu a acesteia.

Autooscilațiile au loc cu frecvențe apropiate de frecvența oscilației proprii a sistemului și depinde în principal de rigiditatea și masele sistemului. Frecvența autooscilațiilor este de

cca 300 perioade/sec, iar amplitudinea autooscilațiilor crește în fiin perioada de durabilitate, modificindu-se însă și în funcție de parametrii regimului de așchiere. În figurile 15, 16 și 17 sunt prezentate influențele principalelor parametrii asupra mărimi amplitudinii autooscilațiilor

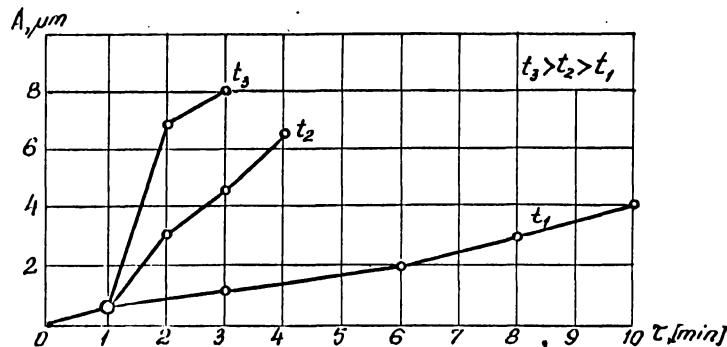


Fig.15. Influența adâncimii de rectificare asupra amplitudinii autooscilațiilor

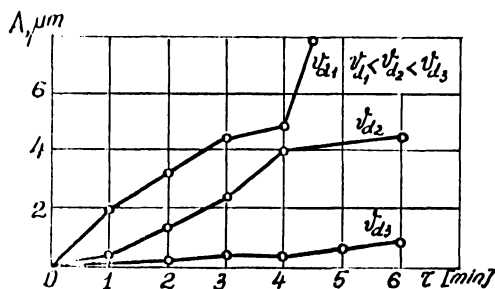


Fig.16. Influența vitezei pietrei asupra amplitudinii autooscilațiilor.

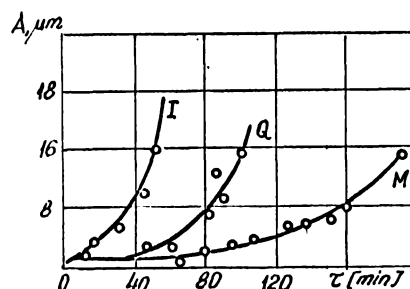


Fig.17. Influența duratăii pietrei asupra autooscilațiilor.

Experiențele au arătat [48] că tipurile de avansuri (circular, longitudinal și transversal) influențează în aceeași măsură creșterea amplitudinii autooscilațiilor.

Apariția autooscilațiilor poate fi explicată în felul următor [48]: la începutul prelucrării granulele de pe suprafața de lucru a pietrei au muchii ascuțite care sub acțiunea deformațiilor sistemului tehnologic elastic vătrund în piesa de prelucrat, deformația plastic stratul de material sub formă de așchii. Pe măsură

uzării granulelor, acestea nu pot pătrunde suficient de adânc în material și în acest caz se mărește numărul granulelor la care așchicrea este înlocuită cu deformații plastice ale metalului. Lungimea de alunecare a granulei pe metal depinde de raza de rotație a vîrfului. Cu cât mai mare este această rază, cu atât este mai lung drumul de alunecare a granulei fără să se degajeze așchia, ceea ce face să crească lucrul mecanic de frecare. În plus, pe suprafețele granulelor se lipesc particule metalice și treptat are loc umplerea porilor pietrei. Acest lucru duce la accentuarea frecările dintre piatra de rectificat și obiect. Mărindu-se frecarea de alunecare apare o coeziune temporară între diferitele porțiuni ale pietrei de rectificat și obiectului, iar la atingerea unor anumite forțe are loc distrugerea contactului dintre ele. Astfel, acest fenomen se repetă periodic provocând astfel autooscilații de relaxare.

Schimbarea stării suprafeței pietrei în perioada de durată poate fi evidențiată prin intermediul autooscilațiilor. Astfel creșterea amplitudinii oscilațiilor pot servi ca și criteriu obiectiv și sigur pentru automatizarea corecției pietrei de rectificat.

Pentru controlul mărimii amplitudinii și pentru realizarea semnalului de comandă a corecției pietrei sunt necesare construcții speciale, compuse dintr-un traductor de vibrații, filtru, care permite trecerea numai a autooscilațiilor și amplificator prin care se transmite comanda la elementul de conectare a mecanismului de corecție. Schema bloc a unui asemenea sistem se prezintă în figura 18.

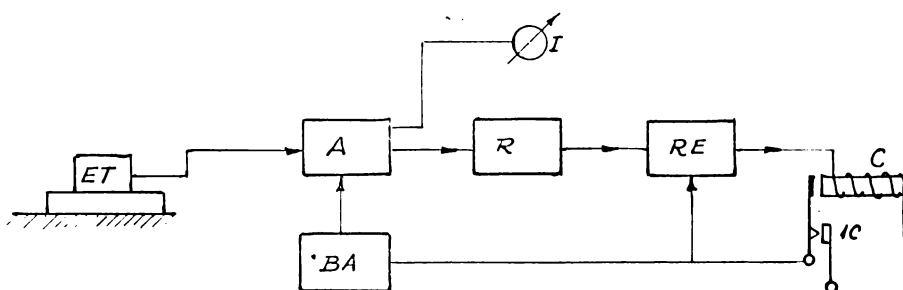


Fig. 18. Schema bloc a unui sistem de măsurare a autooscilațiilor.

In [75], durabilitatea pietrei de rectificat s-a stabilit experimental funcție de uzura care se obține la raza pietrei de rectificat de  $10 \mu\text{m}$  (granulația 60), respectiv  $8 \mu\text{m}$  (granulația 80) și  $6 \mu\text{m}$  (granulația 100). In timpul încercărilor s-au determinat cantitățile limită maxime de material (pentru diferite materiale) la care apar uzurile precizate. Un asemenea criteriu de durabilitate poate fi utilizat în condițiile în care mașina este înzestrată cu comandă numerică și cu un calculator care pe baza datelor inițiale și a cotelor curente privind poziția pietrei, emitite de la comanda numerică, determină volumul de material îndepărtat de pe piesă. La atingerea volumului limită transmite comanda centru corecția pietrei.

Dintre toate criteriile, în industrie este aplicat ultimul, pe mașina de rectificat exterior GON 20 A-C fabricată de firma japoneză Toyoda.

In urma analizei criteriilor de durabilitate se ajunge la concluzia că cele mai corespunzătoare sunt: variația rugozității suprafeței, creșterea amplitudinii autooscilațiilor cantitatea limită de material.

Controlul durabilității pietrei prin intermediul variației rugozității suprafeței rectificate constituie încă o problemă tehnică practic nerezolvabilă datorită greutăților legate de realizarea unor aparate de măsurare a finăltăților asperităților în condiții de producție. Problema este nerezolvată pe plan mondial.

Se poate aprecia, în asemenea, că nici criteriul de durabilitate bazat pe creșterea amplitudinii autooscilațiilor nu este pus la punct. Rezultatele cercetărilor în [46], [47], [48], principal și în condiții de prelucrare restrânsă, au arătat posibilitatea folosirii acestui criteriu. Dat fiind faptul că amplitudinea autooscilațiilor depinde atât de caracteristicile pietrelor, de calitatea materialului, de parametrii regimului, deci de un număr mare de factori, de modul de echilibrare a subansamblurilor în mișcare, problema poate constitui subiectul unor cercetări ulterioare.

### 3.2.3. Influența parametrilor regimului de aşchiere asupra componentelor forței de aşchiere.

In vederea determinării deformațiilor sistemului tehnologic elastic și a proiectării elementelor componente ale sistemului de comandă al mașinii, se impune determinarea domeniilor de variație

ale componentelor forței de rectificare, ținând cont de domeniile practice de variație ale parametrilor reglabili pe mașina de rectificat rotund exterior între vîrfuri.

Cu expresiile (3) și (4) folosite la determinarea componentei principale  $F_z$  a forței de rectificare, se obțin valori orientative pentru componenta respectivă, deoarece nu se ține cont de rigiditatea sistemului tehnologic elastic pe care are loc prelucrarea.

Componenta radială  $F_y$  este exprimată în funcție de valoarea componentei  $F_z$  cu relații de forma  $F_y = mF_z$ , în care factorul de proporționalitate  $m$  are în general, o valoare supraunitară care crește cu tocirea și bontarea granulelor precum și cu creșterea coeficientului de frecare exterioară tangențială care variază între 0,3...0,6.

In cele ce urmează se vor reprezenta grafic valorile componentei  $F_z$ , calculată cu formula (3) precum și valorile acelergării forțe și a componentei  $F_y$  determinate experimental.

La determinarea experimentală, o atenție deosebită s-a acordat componentelor  $F_z$  și  $F_y$ , componenta  $F_x$  având o valoare relativ redusă și cu influență mai mică asupra indicilor de bază ai procesului de rectificare.

In vîderea măsurării ambelor componente  $F_z$  și  $F_y$ , în continuare se prezintă un element traductor, conceput, realizat și încercat de către autor [46].

Elementul traductor este compus din două vîrfuri dinamometrice montate, unul în alezajul arborelui păpușii obiectului iar celălalt în alezajul pinolei păpușii mobile.

Măsurarea forțelor se bazează pe deformațiile elastice ale elementelor sensibile ale vîrfurilor, care în final sunt transformate în semnale electrice cu ajutorul unor tructoare rezistive cu fir. Construcția simplificată a unui vîrf dinamometric este prezentată în figura 19.

Fiecare vîrf se caracterizează prin aceea că are o piesă l cu secțiuni mai mici în cele două plane (orizontal și vertical) însă egale între ele, ceea ce le conferă sensibilitate mai mare sub acțiunea componentelor  $F_z$  și  $F_y$ . Dat fiind faptul că aceasta constituie piesa de bază, construcția ei se reia în figura 20.

Pele cele patru suprafete plane ale porțiunii slabite de la piesa l au fost lipite tructoarele rezistive cu fir tip WG30/05

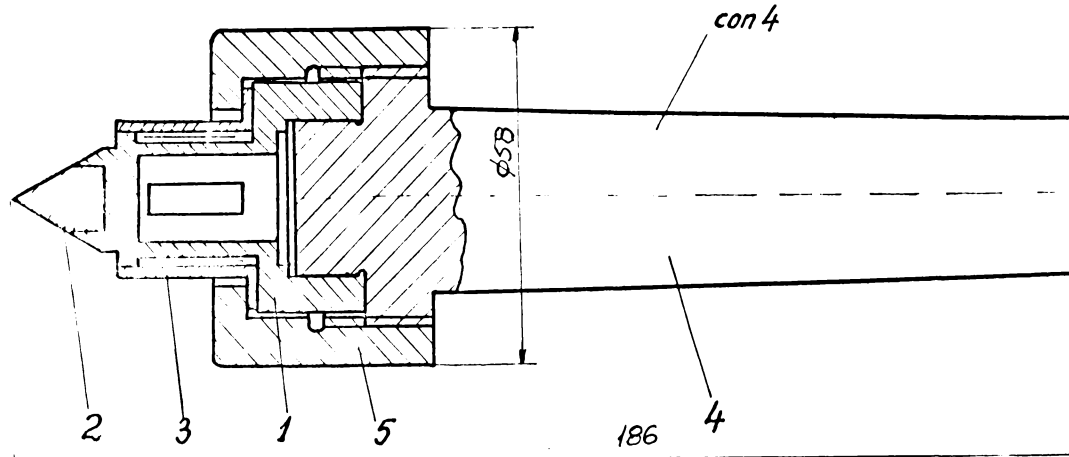


Fig. 19. Vîrf dinamometric

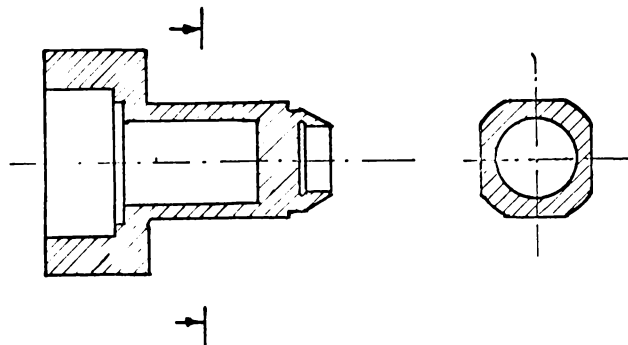


Fig.20 Piesa sensibilă a vîrfului dinamometric

cu următoarele caracteristici:

- Lungimea bazei 6 mm;
- Rezistență  $301\Omega \pm 0,5\%$ ;
- $\frac{\Delta R}{R} / \frac{\Delta L}{L} 1,75 \pm 1,5\%$ ;
- Currentul maxim 15 mA.

Datorită dispozitiei traductoarelor în două plane perpendiculare este posibilă măsurarea simultană a celor două componente  $F_z$  și  $F_y$  ale forței de rectificare.

Modul de amplasare a celor 8(1...8) traductoare și punțile formate cu acestea sunt rotite în figura 21. O asemenea amplasare în jurul a traductorilor duce la obținerea unui semnal dublu, rezultându-se simultan și compensarea variației de temperatură.

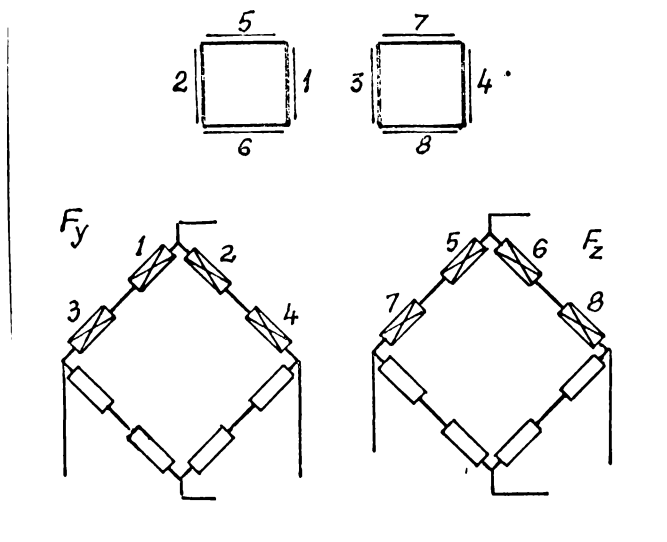


Fig. 21. Amplasarea traductoarelor rezistive.

Datorită faptului că măsurarea forțelor se face cu două vîrfuri, semnalele electrice obținute vor fi întotdeauna proporționale cu valorile componentelor  $F_z$  și  $F_y$  indiferent de poziția punctului de aplicație a forței de așchiere, de-a lungul piesei.

Fotografiile vîrfurilor dinamometrice executate și încercate în laboratorul catedrei sunt redate în figura 22a și b.

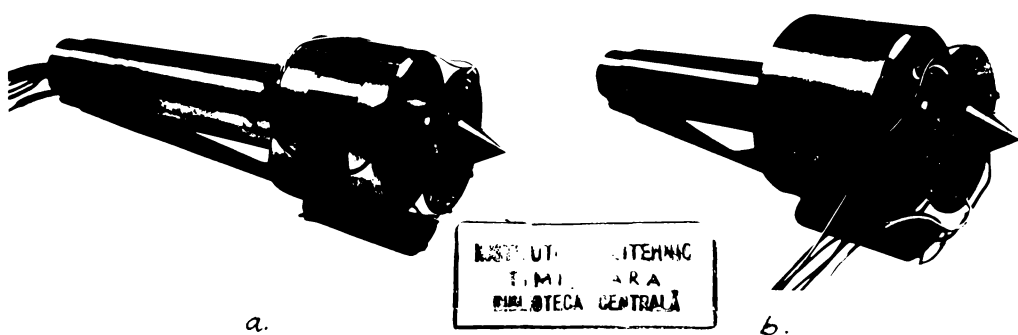


Fig.22 Fotografiile vîrfurilor dinamometrice

Măsurarea forțelor cu vîrfurile dinamometrice prezentate se poate face numai cînd acestea au poziție fixă în timpul rectificării. La vîrful din figura 22a, conductorii electrici care fac legătura între traductoare și aparatul indicator sunt scoși printr-o gaură centrală a conului.

Pentru evitarea pătrunderii lichidului de răcire la traducătoare, orificiile prin care ies conductorii de la acestia au fost etanșate corespunzător.

Etalonarea vîrfurilor dinamometrice s-a executat pe o mașină de rectificat universal tip KU250 x 750 (BK3).

Instalația pentru etalonare (vedere de sus) este redată în fig.23.

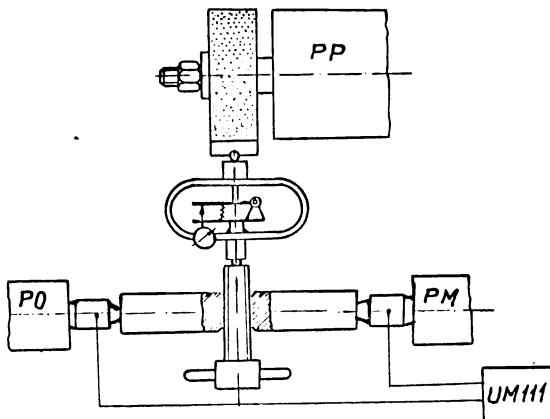


Fig.23. Instalația pentru etalonarea vîrfurilor dinamometrice.

Incărcarea cu forțe s-a făcut nînă la 50 daN, iar curba de etalonare, pentru cele două componente este aceiași (fig.24).

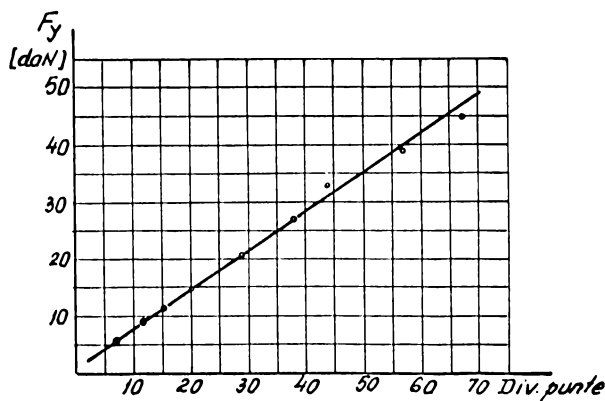


Fig.24. Diagrama de etalonare.

Puntea tensometrică folosită a fost de tipul R-F-T-UM 111.

In figura 25a și b se prezintă variațiile componentelor  $F_z$  și  $F_y$  în timpul procesului de aşchiere, înregistrate cu oscilograma cu bucle tip 12 LS-1.

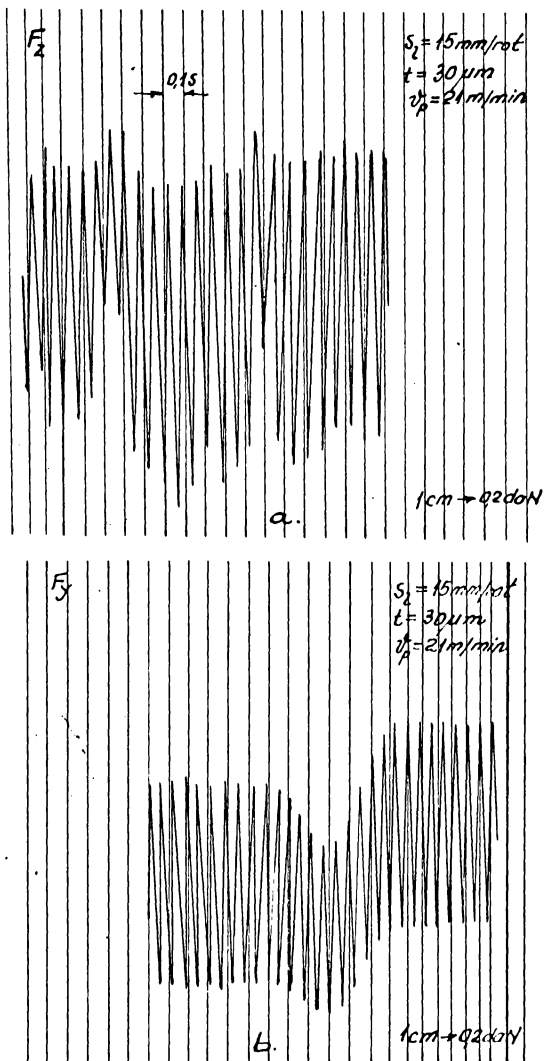


Fig. 25. Variatiile componentelor  $F_z$  și  $F_y$  la rectificare

Incercările experimentale au fost făcute cu o piatră de rectificat cu următoarele caracteristici:

- Duritatea M
- Granulația 60
- Liant ceramic
- Electrocordon

Materialul de rectificat OLC45 în stare călită.

Influența parametrilor regimului de rectificare asupra componentei  $F_z$ , teoretic (calculată cu formula reprezentată în figura cu linie interrupță) și asupra componentelor  $F_z$  și  $F_y$  rezultate experimental este redată în diagramele din figura 26a,b,c,d,e,f și g.

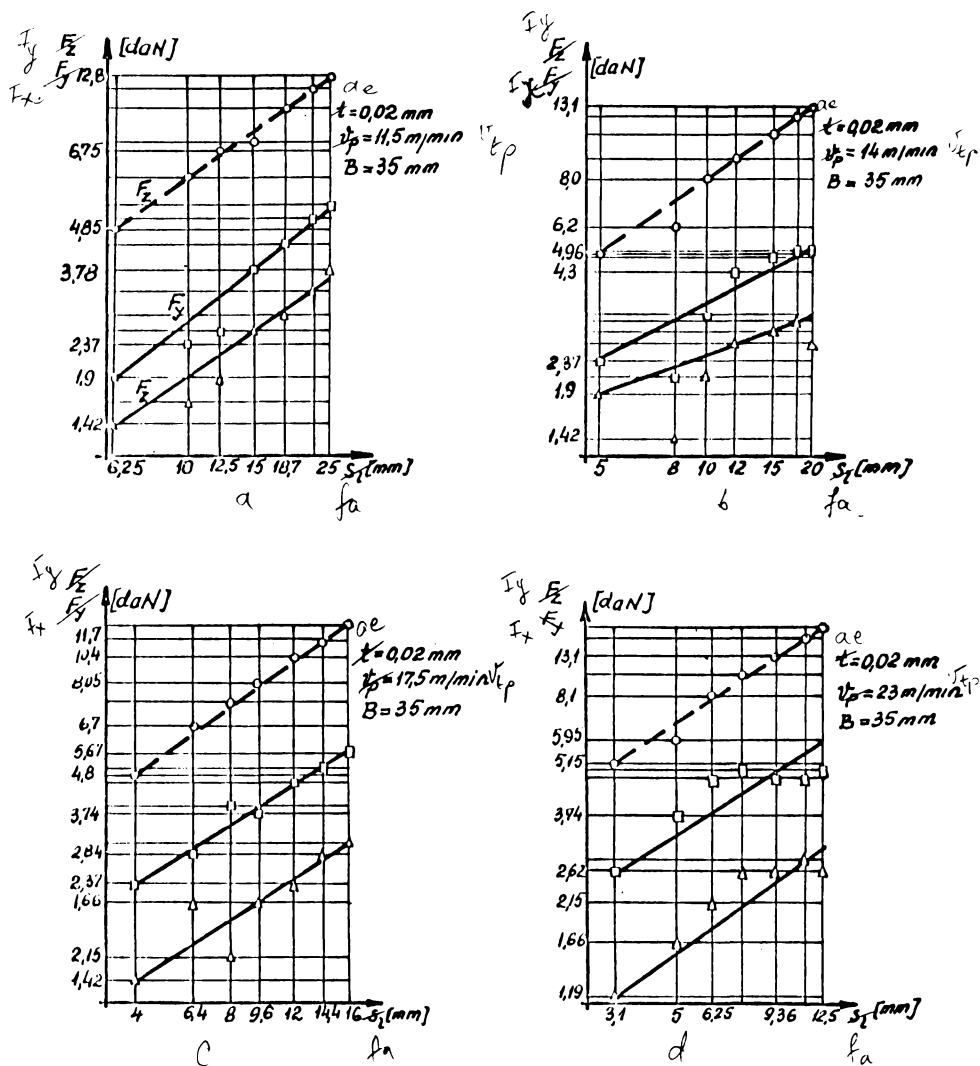


Fig. 26. Influența parametrilor de agchieri asupra componentelor  $F_x$  și  $F_y$

$F_x$   
 $F_y$

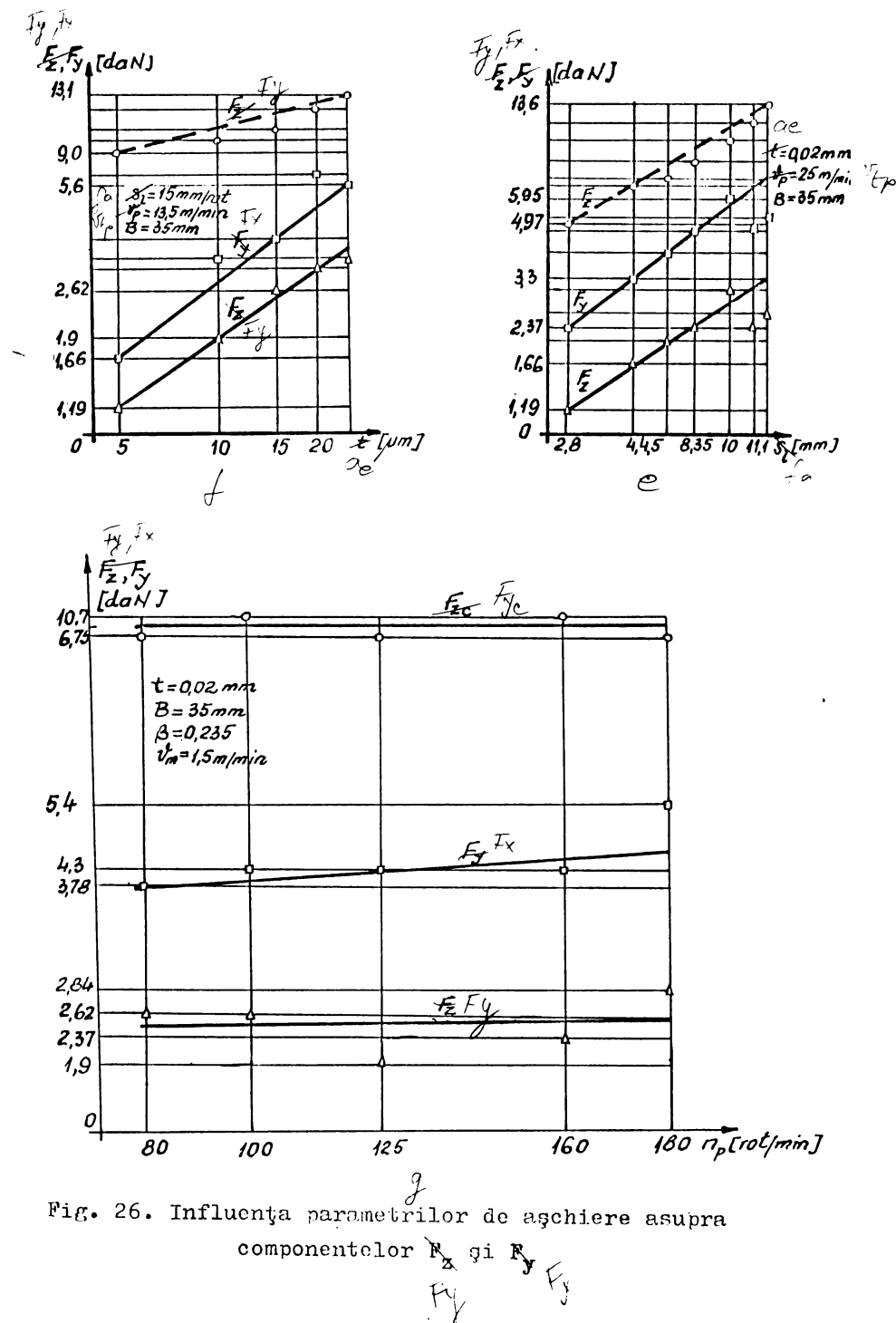


Fig. 26. Influența parametrilor de așchierare asupra componentelor  $F_x$  și  $F_y$

Din analiza diagrameelor rezultă următoarele concluzii:

- Valorile componentelor  $F_z$  și  $F_y$  determinate experimental sunt mai mici decât valorile calculate cu ajutorul formulelor (3). Această neconcordanță se datorează deformației STE. Fenomenul este mai accentuat în fazele de pătrundere a pietrei. Rezultă de aici că la stabilirea parametrilor de aschieri la rectificare, în întreprinderile constructoare de mașini, ar trebui să se țină seama de rigiditatea STE pe care se execută prelucrarea.
- Aceasta este o sursă pentru creșterea capacitatii productive a mașinii.
- Valorile reale ale componentelor  $F_z$  și  $F_y$  sunt influențate în mai mare măsură de viteza de deplasare a mesei  $v_m$  (fig.26a,b,c,d,e) și mai puțin de turăția  $n_p$  a piesei (fig.26g). Practic din această interdependentă rezultă că obținerea unor anumitor valori ale celor două componente pot fi realizate prin modificarea corespunzătoare a vitezei  $v_m$ . Această concluzie este deosebit de importantă și va servi la compunerea părții CA pentru prelucrările cu avans longitudinal.
- La prelucrările de pătrundere componentele forței  $F_z$  și  $F_y$  depind de valorile avansului transversal (fig.26f), aspect de fapt, în principiu, cunoscut.
- În perioada de durabilitate a pietrei s-a constatat că raportul  $\frac{F_y}{F_z}$  a variat având valori cuprinse între 1,2...3.

### 3.2.4. Analiza ciclului de lucru la rectificarea rotund exteroară, influența fazelor ciclului asupra capacitatii productive și calitatii pieselor rectificate.

Indepărțarea adaosului de prelucrare are loc după un ciclu în mai multe faze (fig.27) și anume: apropiere rapidă OA, pătrundere AB, prelucrarea cu forță relativ constantă BC și destinderea CF.

Forța de rectificare, limitată de rigiditatea STE produce o tensionare a elementelor componente ale STE, motiv pentru care avansul transversal real este mai mic decât avansul transversal regulat la mașină. Pe măsura creșterii comprimării STE se măresc și deformațiile în sistem și deci va crește și avansul transversal real.

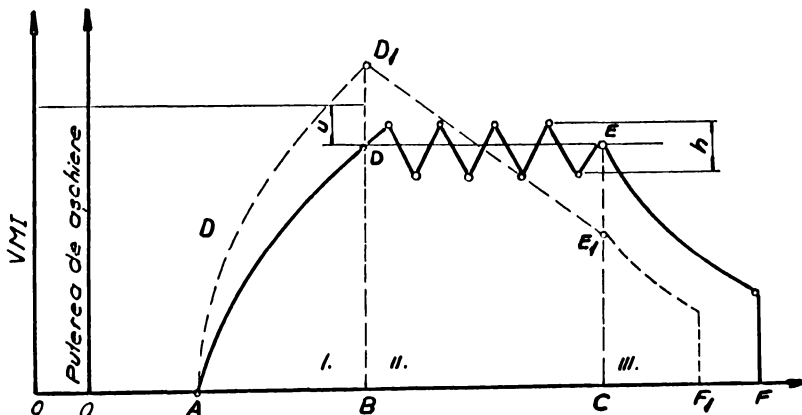


Fig. 27. Ciclul de lucru la rectificare

Astfel, prima etană a procesului de rectificare se caracterizează printr-un regim nestabil de lucru, în timpul căreia se observă o creștere a materialului îndepărtat și a maturii necesare la aşchierie.

După [48] ecuația curbei de creștere a avansului de pătrundere  $s_t$  respectiv cu care este proporțional volumul de material îndepărtat este:

$$s_t = s_{t_0} \left( 1 - e^{-\frac{s_{t_0} j \cdot t}{F_y}} \right) \quad (9)$$

în care  $s_t$  este valoarea curentă a avansului transversal;

$s_{t_0}$  – valoarea reglată pe mașină a avansului transversal;

$j$  – rigiditatea STE;

$t$  – timpul.

Pentru reducerea fazei de pătrundere este necesar ca viteza deplasării transversale a pămușii pictrei să fie de  $i$  ori mai mare (de ex.  $i=2\dots4$ ) decât la următoarele etape ale aşchierii. În această idee timpul de pătrundere  $t_p$ , poate fi determinat cu relația :

$$t_p = \frac{1}{2} \sqrt{\frac{F_y}{i}} \ln \frac{\sqrt{i} + k}{\sqrt{i} - k} \quad (10)$$

în care  $k=0,9$  și reprezintă gradul de deformare a S.T.E. Semnificația celorlalte mărimi a fost precizată anterior.

Reducerea timpului  $t_p$  mai este posibilă și prin mărirea rigidității  $j$  a STE. În figura 28 se observă variația volumului de

material îndepărtat (V.M.I.) pentru diferite valori ale avansului transversal  $s_t$  și la diferite rigidități.

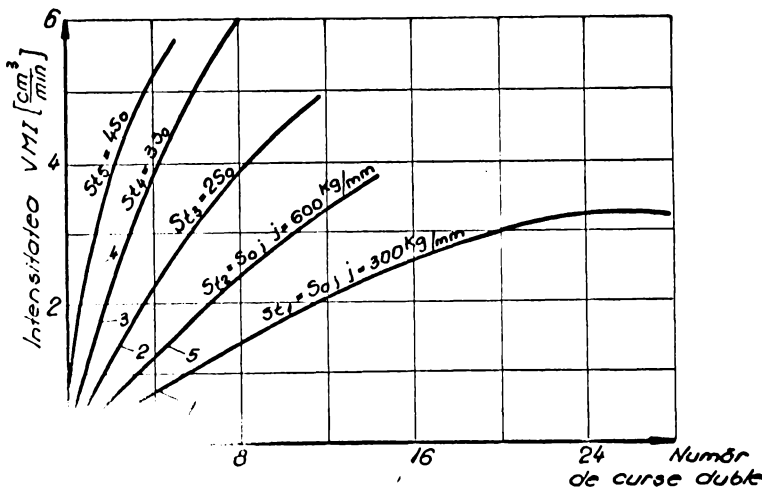


Fig. 28 Variația V.M.I. funcție de  $s_t$  și rigiditatea STE.

Folosindu-se avans transversal cu viteză mai mare la pătrundere, timpul de pătrundere  $t_p$  s-a redus de 4,7 ori.

La sfîrșitul primei etape, în urma căreia s-a produs deformarea corespunzătoare a STE, V.M.I se menține la o valoare constantă, prelucrarea intrînd în a două fază a rectificării cu avans transversal constant.

A doua etapă de rectificare poate fi executată în mai multe moduri.

În cazul lucrului cu avans transversal constant V.M.I și puterea de așchieri rămîn mai mult sau mai puțin constante în tot de cursul acestei etape, linia DE (fig.28) este dispusă paralelă

cu absciselor. Pe porțiunea BC a diagramei se observă oscilațiile puterii și respectiv a V.M.I. Asemenea abateri se datorează variației avansului transversal  $s_t$  (pe o rotație a piesei sau pe o mutare a mesei). În timpul încercărilor și a prelucrărilor de rectificare s-a constatat la mai multe mașini că avansul transversal nu este constant, valorile reale avînd, uneori, abateri mari față de cele nominale (reglate pe mașină). Amplitudinea oscilațiilor deninde de raportul dintre avansul real și valoarea totală a deformației STE (pe fig.28 raportul  $\frac{h}{BD}$ ). Executarea rectificărilor

cu valori discrete ale avansului transversal, la capete de cursă și respectiv pe rotație a piesei produce solicitări necorespunzătoare S.T.E. Din acest motiv ar fi interesant de studiat rectificarea cu avans continuu.

Realizarea continuă a avansului transversal are avantajul că asigură desfășurarea continuă a procesului de îndepărțare a materialului la rectificarea rotundă exterioară, elimină solicitările pulsatorii ale STE și reduce amplitudinea oscilațiilor.

Cea de a doua etapă mai poate fi realizată după linia punctată  $D_1E_1$  (fig.28).

La această variantă cantitatea cea mai mare de material se elimină după linia înclinată  $D_1E_1$ . Spre deosebire de prima variantă, la aceasta, etapa de pătrundere se realizează cu avans rapid și se termină într-un punct deasupra condițiilor medii de îndepărțare a volumului de material. În astfel de cazuri, în etapa a doua viteza avansului transversal pe minut trebuie să se micșoreze treptat.

Micșorarea intensității de îndepărțare a materialului la sfîrșitul celei de a doua etape permite reducerea timpului fazei de destindere și îmbunătățirea preciziei și calității suprafeței.

A treia etapă a rectificării rotunde exterioare poartă denumirea de destindere. În timpul acestei faze STE deformat, trenat se întoarce în starea inițială nedeformată. Prin această revenire, se micșorează adâncimile de pătrundere a diferitelor granule abrazive ceea ce duce la îmbunătățirea calității suprafeței.

Curba de micșorare a tensionării  $y$  a S.T.E. și a V.M.I. are ecuația de mai jos, dată în [48] :

$$y = y_0 e^{-\frac{S_{0j}}{F} t} \quad (11)$$

în care  $y_0$  este deformarea sistemului la sfîrșitul celei de a doua faze. Celelalte mărimi au fost explicate anterior.

In figura 29 se observă variația deformării  $y$  a S.T.E și a V.M.I.

Presupunând că, la această fază, valoarea deformării scade de la valoarea  $y_0$  la valoarea  $ky_0$  ( $k < 1$ ) se poate determina timpul  $t$  a etapei de destindere în funcție de cerințele prelucrării cu relația [48],

$$t = \frac{2F}{S_{0j}} \left( \sqrt{\frac{1}{k}} - 1 \right). \quad (12)$$

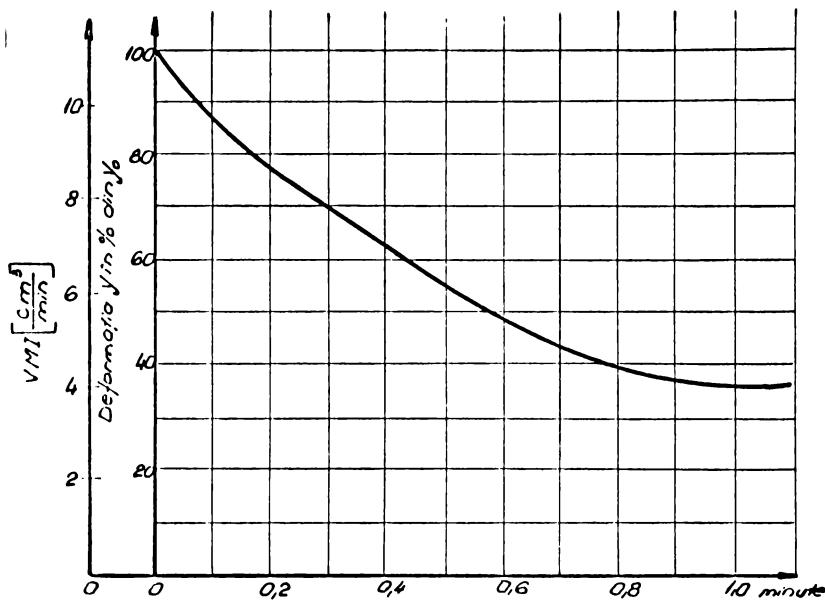


Fig.29. Variatia deformatiei STE și a V.M.I. la faza de destindere

Reprezentarea timpului t în funcție de valorile lui k arată ca în figura 30.

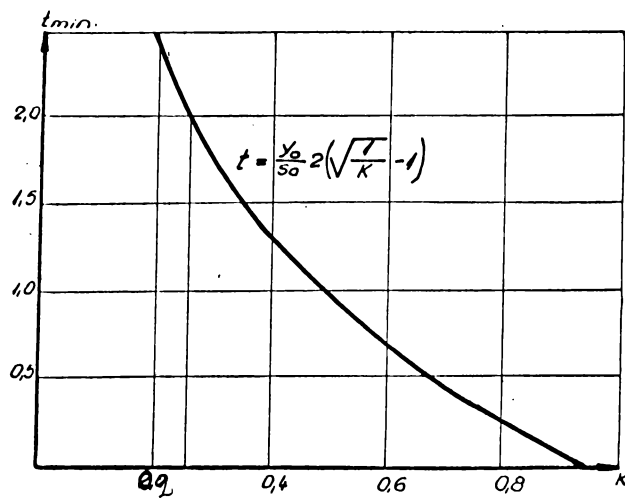


Fig. 30 Variatia timpului fazei de destindere functie de valorile lui k.

Analizînd curbele de micșorare a V.M.I. la etapa de desindere (fig.29 și fig.30) se deduc următoarele concluzii:

- Timpul de destindere depinde de valoarea deformației S.T.E la etapa a doua de rectificare, de rigiditatea STE, de cerințele de precizie și calitate a suprafetei;
- Odată cu creșterea rigidității S.T.E. se reduce și timpul fazei de destindere;
- În condiții identice de rectificare, timpul de destindere depinde de raportul dintre deformația  $y_0$  la începutul fazei de destindere și deformația  $ky_0$  la sfîrșitul accliașării fazei.

Analiza ciclului de **rectificare**, prezentată mai sus, s-a făcut în condițiile prelucrării pe o mașină de rectificat obișnuită, rezultînd concluzii importante privind creșterea capacitatii productive a mașinii, a preciziei dimensionale și a calitatii suprafetei.

Relațiile prezentate anterior sunt mai puțin precise din cauză că atât rigiditatea STE cât și componenta  $F_y$  au fost admise mărimi constante, ceea ce nu corespunde întrutotul realității.

În cazul în care mașina este concepută și realizată cu CA apar unele aspecte specifice dintre care cele mai importante sunt enumerate mai jos.

a) rectificarea numai cu avans transversal

Existența posibilității variației continue a vitezei de avans prin intermediul CA, funcție de o anumită valoare a forței  $F_y$  de referință elimină problemele fazelor prezentate mai sus. În condițiile C.A. la faza de pătrundere viteza avansului transversal va fi mai mare determinată de diferența mare între tensiunea corespunzătoare forței de referință și tensiunea corespunzătoare forței reale. Astfel se reduce timpul fazei de pătrundere. În continuare, mașina lucrează cu avans transversal constant pînă cînd s-a obținut precizia dorită, după care se decouplează C.A., avînd loc trecerea la faza de destindere. La această ultimă fază, se urmărește obținerea unei anumite rugozități.

b) rectificarea cu avans longitudinal

Pînă la realizarea componentei  $F_y$  de referință componentă careia îi corespunde o anumită deformație a STE, față de pătrundere poate fi redusă prin admiterea unui avans transversal de cca 3 ori mai mare la prima trecere decît valoarea avansului la cea de a două fază de rectificare.

Pericolul de supraîncărcare a mașinii se evită deoarece C.A. nu permite depășirea valorii forței de referință  $F_y$ , realizându-se astfel în timp scurt tensionarea la valoarea maxim admisibilă a S.T.E. respectiv la viteza maximă admisibilă de îndepărțare a adaosului de prelucrare.

Chiar în condițiile în care la faza de pătrundere se lucreză cu avansul transversal și nu mărit, componenta  $F_y$  de referință fiind mai mare decât componenta reală  $F_y$ , va provoca creșterea vitezei mesei în mod corespunzător în perioada de pătrundere, reducându-se și în această situație durata fazei de pătrundere, comparativ cu situația când mașina nu este construită cu C.A.

Faza de rectificare cu avans transversal constant pe fiecare cursă sau cursă dublă a mesei, în condițiile C.A. se desfășoară în mod asemănător cu a mașinilor fără C.A. Există însă unele particularități între cele două variante cu influență mare asupra preciziei de prelucrare și asupra duratei acestei faze și a fazei de destindere.

In primul rînd, printr-o instalare automată a forței de referință  $F_y$  în cîmpul bidimensional al mașinii, în funcție de rigiditatea variabilă a STE, la sfîrșitul acestei faze se pot obține piese cu precizie ridicată a dimensiunilor și formei. Eroarea de formă produsă de rigiditatea STE nu se mai transmite la faza de destindere și, ca urmare, durata ultimei faze se poate stabili astfel încît să se obțină rugozitatea prescrisă.

In al doilea rînd prin C.A. se vor elimina, la faza de pătrundere și la această fază erorile de formă ale semifabricatelor produse la prelucrările anterioare rectificării.

In al treilea rînd existența C.A. elimină eventualele variații ale adaosului de prelucrare precum și ale durității, stratului de material.

Datorită acestor particularități durata celei de a două faze se micșorează în comparație cu durata aceleiași faze execuție pe o mașină fără C.A.

Avînd în vedere că faza de destindere are ca scop obținerea rugozității impuse, este necesar să se cunoască mai bine valoile rugozităților la sfîrșitul fazoi a două (respectiv funcție de  $F_y$ ) și să se stabilească numărul de treceri pentru atingerea rugozității dorite.

3.2.5. Rigiditatea STE în condițiile rectificării rotunde exterioare între vîrfuri, folosind comandă adaptivă.

Din analiza ciclului de rectificare a rezultat că rigiditatea STE influențează atât precizia de prelucrare cât și durata ciclului, respectiv capacitatea productivă a mașinii-unelte.

Analiza ciclului de rectificare s-a făcut considerînd rigiditatea STE ca o mărime constantă ceea ce practic nu este adevarat. Plecînd de la rigiditățile diferite ale subansamblelor mașinii, (pănușa obiectului, pănușa mobilă, pănușa pietrei) și ale piesei nrinse între vîrfuri, rezultă că și rigiditatea STE în cîmpul bidimensional va lua diferite valori. În consecință, deformațiile elastice din STE, diferite în cîmpul bidimensional al mașinii vor crea abateri de formă ale acesteia și rugozități diferite pe suprafața rectificată.

Tinînd cont de cele de mai sus, în cele ce urmează, se analizează influența rigidității STE asupra dimensiunii niesei considerată ca element de închidere a unui lanț de dimensiuni (fig.31), variația rigidității, fiind importantă pentru construcția noului model de mașină cu CA.

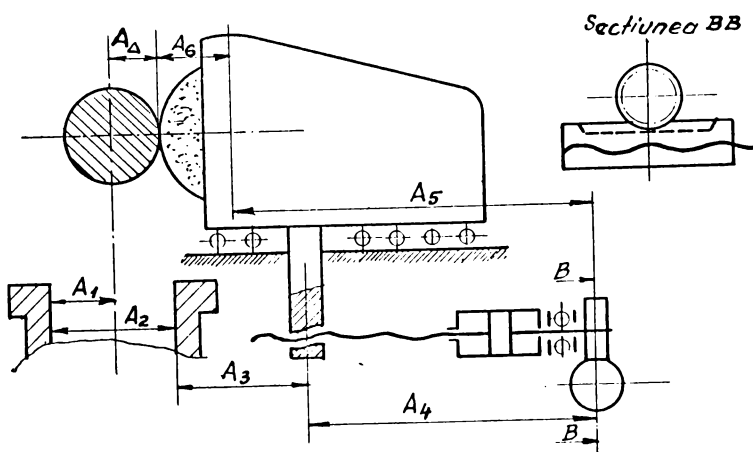


Fig.31. Lanțul de dimensiuni la rectificare

Obținerea preciziei dimensiunii niesei, respectiv a preciziei dimensiunii elementului de închidere al lanțului este posibilă prin controlul deformațiilor elastice în STE. Asupra acestora influențează o serie de factori a căror schimbare dă naștere la

erorile de prelucrare.

Mărimea erorii piesei prelucrate, pe un STM dat, depinde de suprapunerea influențelor tuturor factorilor care intră în STE și de caracterul schimbării lor în timp.

Factorii care influențează precizia de rectificare se pot împărți în două grupe: întâmplători și sistematici. Din grupa factorilor întâmplători fac parte: neuniformitatea adaosului de prelucrare, variația duratăii materialului, temperatura semifabricatelor, erorile de instalare, etc. Erori sistematice sunt: uzura dimensională a pietrei, schimbarea temperaturii, schimbarea rigidității STE după axa piesei.

In cazul rectificărilor, abateri relativ mari ale adaosului de prelucrare apar la primele treceri, deoarece erorile de instalare a semifabricatelor pe mașina de rectificat sunt diferite și în general mai mari decât cele de la instalarea pe mașina pe care s-a executat ultima operație înaintea rectificării. Această variație poate fi urmărită vizual, la primele treceri, fiind scoase în evidență prin variația fasciculului de scînteie. După primele treceri adaosul de prelucrare se uniformizează, însă eroarea de formă se transmite la toate fazele de rectificare.

Din cercetările efectuate [69] rezultă că duritatea variază mai puțin. Măsurările de duritate a arborilor secundari (lot de 60 buc) din 21TMCl2 de la motoîncărcațioarele de 3 tone (produse de Întreprinderea Mecanică Timișoara), înainte de rectificare au scos în evidență diferențe de duritate de-a lungul suprafețelor unui arbore de cca 1...10 unități HRC. Prin urmare variația durătăii provoacă variații mai mici ale forței de rectificare.

Erorile de reinstalare a păpușii pietrei față de semifabricat devin în mare măsură de precizia lantului cinematic pentru realizarea avansului transversal, de mărimea jocurilor din acest lanț. În general dispersia erorilor de instalare la mașina de rectificat universală este cuprinsă între  $4\ldots6 \mu\text{m}$ .

Dintre erorile sistematice rigiditatea STE are influența cea mai mare asupra preciziei dimensionale și de formă a piesei și în consecință trebuie să i se acorde atenția cuvenită.

In scopul menținerii cât mai constante a dimensiunii piesei  $A_{\Delta}$  (fig.31), pe lângă lungimea, este necesar ca deformația STE sub acțiunea forțelor de agchicire să rămână constantă. Adică:

$$y = \frac{F_e}{J_{STE}} = C^t \quad (13)$$

în care  $J_{STE}$  este rigiditatea sistemului tehnic elastic

$F_e$  - forța echivalentă a cărui moment este egal cu suma momentelor componentelor forței de rectificare.

S-a menționat că  $J_{STE}$  din relația (13) este o mărimă variabilă. Urmează de aici că pentru a menține deformarea  $y$  la aceeași valoare trebuie să se modifice automat valoarea  $F_e$ .

Determinarea forței  $F_e$  se face considerând schița din figura 32. Forța  $F_r$  este rezultanta componentelor  $F_z$  și  $F_y$ , componenta  $F_x$  având influență neglijabilă.

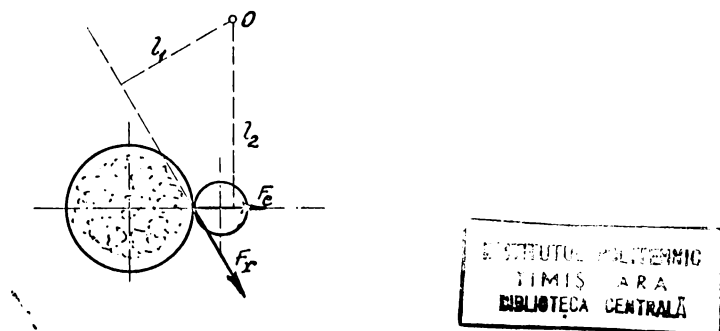


Fig.32. Forța  $F_e$  și  $F_r$  la rectificare

Din egalitatea momentelor forțelor față de polul momentan de rotație  $O$ , rezultă forța echivalentă

$$F_e = F_r \cdot \frac{l_2}{l_1} = F_r \varphi, \quad (14)$$

în care  $\varphi$  este raportul celor două brațe.

Mărimele brațelor  $l_1$  și  $l_2$  pot fi determinate cunoscând coordonatele a două puncte de aplicare succesivă a celor două forțe  $A$  și  $A'$  și respectiv  $B$  și  $B'$  (fig.33). Polul momentan al rotațiilor a celor două drepte  $A A'$  și  $B B'$  se găsește la intersecția perpendicularelor  $NN'$  și  $N'N$  pe mijlocul celor două drepte.

Ecuatiile celor două perpendiculare sunt:

pentru  $NN'$ ;  $z-z_2 = k_1(y-y_3)$  (15)  
 pentru  $N'N$ ;  $z-z'_1 = k_2(y-y'_1)$

a căror intersecție dă coordonatele polului  $y_o$  și  $z_o$ .

Pentru aceasta se scrie amândouă ecuațiile sub formă canonică;

$$\begin{cases} Ay + Bz + C = 0 \\ A'y' + B'z' + C' = 0 \end{cases} \quad (16)$$

unde  $A = k_1$ ;  $B = -1$  și  $C = z_2 - k_1 y_2$ ;  $A' = k_1'$ ;  $B' = -1$  și  $C' = z'_2 - k_1 y'_2$

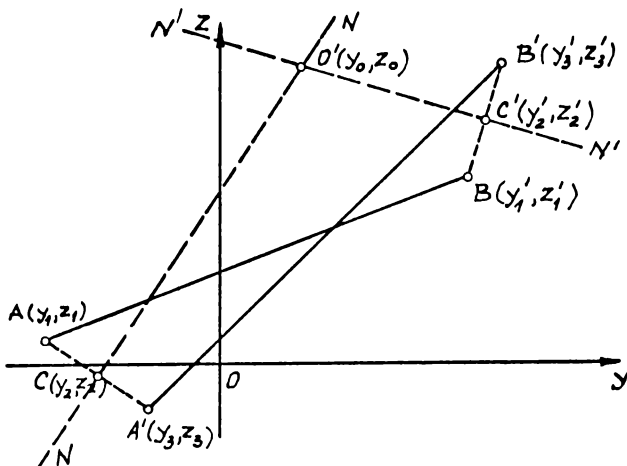


Fig. 33. Determinarea brațelor  $l_1$  și  $l_2$

Înlocuind valorile găsite în sistemul (16) și rezolvând în raport cu  $y$  și  $Z$ , rezultă coordonatele polului

$$\begin{aligned} y_0 &= \frac{z'_2 - z_2 + k_1 y_2 - k_1' y'_2}{k_1 - k_1'} \\ z_0 &= \frac{k_1 z'_2 - k_1' z_2 + k_1 k_1' (y_2 - y'_2)}{k_1 - k_1'} \end{aligned} \quad (17)$$

Având determinate coordonatele polului momentan de rotație se poate determina forța echivalentă  $F_e$ .

Introducerea forței echivalente  $F_e$  pentru determinarea deformărilor elastice caracterizează mai deosebit fenomenul concret, având în vedere caracterul variabil al forțelor de așchiere atât ca mărime cât și ca direcție.

În continuare se urmărește să se stabilească dependența funcțională dintre deformațiile STE după direcția forței echivalente  $F_e$  și mărimea acestei forțe considerată constantă în primă aproximare. Mai întâi se vor analiza deformațiile părților componente ale mașinii de rectificat: pănușa mobilă și pănușa obiectului, obiectul și pănușa pietrei.

Se presupune că între vîrfurile mașinii se rectifică o piesă cilindrică cu diametrul  $d$  și cu lungimea  $L$ . La o asemenea prelucrare apar următoarele deformații:

1. Vîrfurile păpușilor, obiectului și mobile, se vor deplasa elastic cu valorile  $y_o$  și  $y_m$ , care depind de mărimea, direcția și punctul de aplicație al forțelor de-a lungul piesei precum și de rigiditatea subansamblurilor respective. La prelucrarea cu forță constantă pe măsura deplasării pietrei de-a lungul piesei, valorile  $y_o$  și  $y_m$  se schimbă și în consecință axa piesei se va roti, descriind curba dată de ecuația cunoscută,

$$y_1 = \left(1 - \frac{x}{L}\right)^2 \frac{F_e}{J_o} + \left(\frac{x}{L}\right)^2 \frac{F_e}{J_m} \quad (18)$$

în care  $x$  este distanța de la punctul de aplicație al forței pînă la păpușa obiectului;  
 $L$  – lungimea piesei.

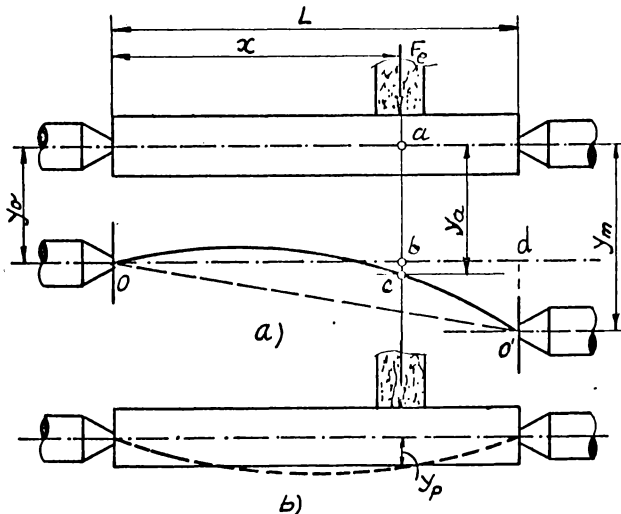


Fig.34. Deformațiile păpușilor și piesei.

Din schema din figura 34 se observă că deplasarea elastică  $y_a$ , a axei piesei, măsurată într-o secțiune la distanța  $x$  de păpușa obiectului este egală cu

$$y_a = ab + bc = y_o + bc$$

Din asemănarea triunghiurilor  $abc$  și  $odo'$  rezultă că

$$bc = \frac{x}{L} (y_m - y_o).$$

Urmărează că

$$y_a = y_o + \frac{x}{L} (y_m - y_o) = (1 - \frac{x}{L}) y_o + \frac{x}{L} y_m \quad (19)$$

Dacă reacțiunile, din vîrfuri, au valorile

$$\begin{aligned} R_o &= F_e (1 - \frac{x}{L}) \text{ și } R_m = F_e \frac{x}{L} \\ \text{atunci} \quad y_o &= \frac{F_e (1 - \frac{x}{L})}{j_o} \\ y_m &= \frac{F_e \frac{x}{L}}{j_m} \end{aligned} \quad (20)$$

iar după înlocuiri se obține

$$y_a = (1 - \frac{x}{L}) y_o + \frac{x}{L} y_m = (1 - \frac{x}{L}) \frac{F_e (1 - \frac{x}{L})}{j_o} + \frac{x}{L} \frac{F_e \frac{x}{L}}{j_m}$$

de unde rezultă relația (18)

$$y_a = (1 - \frac{x}{L})^2 \frac{F_e}{j_o} + (\frac{x}{L})^2 \frac{F_e}{j_m}$$

Dacă în ecuația (18) se exrimă rigiditățile prin deformațiile subansamblurilor păpușii obiectului și păpușii mobile, se obține curba descrisă de axa obiectului;

$$y_a = \frac{y_o + y_m}{L^2} \left( x - L \frac{y_o}{y_o + y_m} \right)^2 \frac{y_o \cdot y_m}{y_o + y_m} \quad (21)$$

care nu este altceva decât ecuația unei parabole a cărei vîrf are coordonatele

$$\lambda = L \frac{y_o}{y_o + y_m} \text{ și } \mu = \frac{y_o \cdot y_m}{y_o + y_m} \quad (22)$$

In felul acesta, axa obiectului ia forma unei parabole datorită deformațiilor elastice a celor două vîrfuri respectiv a celor două năpuși.

2. Deformația piesei. Sub acțiunea forțelor de așchierere, piesa urmărește între vîrfuri are deformații proprii ceea ce face ca axa ei să se încovoeie după o curbă (fig.34b)

$$y_p = \frac{F_e \cdot x^2 (L - x)^2}{3 E J L} \quad (23)$$

în care

E este modulul de elasticitate;

J - momentul de inerție.

Deformația celor două pânuși și a obiectului este dată de suma celor două deformații

$$y_a = y_a + y_p = \left(1 - \frac{x}{L}\right)^2 \frac{F_c}{J_o} + \left(\frac{x}{L}\right)^2 \frac{F_c}{J_m} + \frac{F_e x^2 (L-x)}{3EJL}^2. \quad (24)$$

La prelucrarea pieselor suficient de rigide, cînd deformațiile piesei au valori foarte mici ultima parte a formulei (24) poate fi neglijată.

3. Deformațiile elastice ale subansamblului pietrei de rectificat. Acestea cuprind:

- deformația arborelui principal;
- deformația după direcția deplasării transversale;
- deformația elastică a pietrei comprimată între arbore și piesă.

O particularitate a modului de solicitare a acestui subansamblu constă în aceea că, punctul de aplicație al forței rămîne constant în tot timpul rectificării, ceea ce simplifică calculele. Referitor la valoarea forței ar exista două variante și anume:

- cînd rectificarea se execută cu forță constantă;
- cînd rectificarea se execută cu forță variabilă.

La rectificarea cu forță constantă valorile deformațiilor sînt date de relațiile;

a) Deformația arborelui y după direcția forței echivalente (fig.35) este dată de relația de mai jos luată din [72]

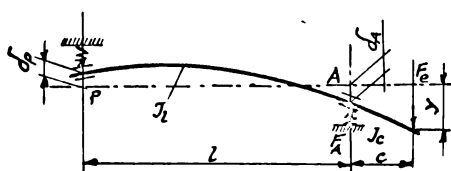


Fig.35. Deformațiile arborelui pietrei.

$$y_{AP} = F_e \left[ \frac{c^2}{3E} \left( \frac{1}{J_1} + \frac{1}{J_c} \right) + \left( 1 + \frac{c}{I} \right)^2 \frac{1}{J_{LA}} + \left( \frac{c}{2} \right)^2 \frac{1}{J_{LP}} \right], \quad (25)$$

în care;  $J_{LA} = \frac{F_A}{J_A}$ ,  $J_{LP} = \frac{F_p}{J_p}$  și  $y = \frac{F}{J_{AP}}$ , (26)

iar E, J modulul de elasticitate și momentele de inertie a porțiunilor de arbore.

b) La maginile de rectificat avansul transversal se realizează cu mecanism șurub-piuliță, prevăzute cu sisteme preluare a jocurilor și pretensionare. Sub acțiunea forței echivalente  $F_e$  în aceste mecanisme apar următoarele tipuri de deformații: deformația de contact, deformația șurubului ca o tijă solicitată la compresiune și deformația pasului datorită torsionii. Datorită preluării jocurilor, pretensionării și suprafetei de contact dintre șurub și piuliță deformația de contact poate fi neglijată. Deformația la compresiunea șurubului are valoarea

$$Y_{SC} = \frac{4 F_e s}{\pi E d_i^2} k \quad (27)$$

în care s este pasul șurubului;

E- modulul de elasticitate;

d- diametrul interior al șurubului;

k- numărul de pagi

Deformația pasului șurubului datorită torsionii (fig.36)  $Y_{St}$  are valoarea,

$$Y_{St} = \frac{M_t s^2}{2 \pi G I_p} k, \quad (28)$$

în care

$M_t$  este momentul de torsion aplicat șurubului;

G - modulul de elasticitate transversal;

$I_p$ - momentul de inertie polar.

Prin urmare deformația totală a șurubului va fi

$$Y_S = Y_{SC} + Y_{ST} = \frac{4 F_e s k}{\pi E d_i^2} + \frac{M_t s^2 k}{2 \pi G I_p} \quad (29)$$

c) Pentru măsurarea forțelor la rectificare [34] se arată că traductoarele au fost lipite direct pe suprafața frontală a

pietrei de rectificat. Rezultatele cercetărilor au scos în evidență faptul că porțiunea de piatră cuprinsă între piesă și arborele port-piatră se deformează. Să notăm această deformare

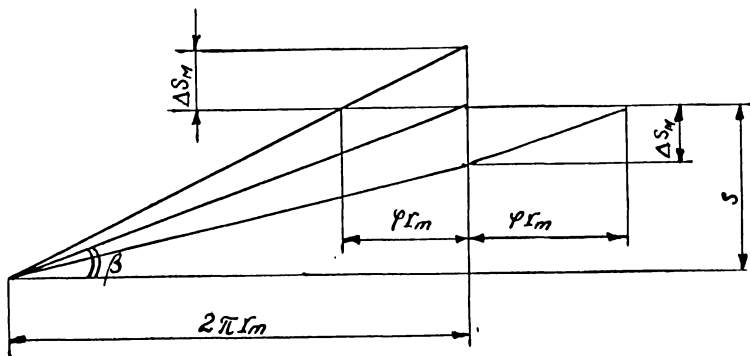


Fig.36. Deformația pasului șurubului datorită torsionii.

$$Y_{pr} = k_1 F_e \quad (30)$$

în care  $k_1$  este un coeficient egal cu deformația porțiunii pietrei sub acțiunea unei forțe de 1N.

Deformația totală la păpușa pietrei este orientată în sens invers deformației subansamblurilor celor două păpuși (a obiectului și mobile) și a obiectului fiind dată de relația:

$$Y_{pp} = F_e \left[ \frac{c^2}{3E} \left( \frac{1}{J_c} + \frac{1}{J_{LP}} \right) + \left( 1 + \frac{c}{I} \right)^2 \frac{1}{J_{LA}} + \left( \frac{c}{I} \right)^2 \frac{1}{J_{LP}} \right] + \frac{4F_e sk}{\pi E d_i^2} + \frac{M_t s^2 k}{2\pi G I_p} + k_1 F_e \quad (31)$$

În final, expresia deformației totale, rezultată din compunerea algebrică a deformațiilor păpușii obiectului, păpușii mobile și obiectului pe de o parte și păpușii pietrei pe de altă parte este următoarea:

$$Y = Y_a - Y_{pp} = \left( 1 - \frac{x}{L} \right)^2 \frac{F_e}{J_o} + \left( \frac{x}{L} \right)^2 \frac{F_c}{J_m} + \frac{F_e x^2 (L-x)^2}{3 E J L} - F_e \left[ \frac{c^2}{3E} \left( \frac{1}{J_1} + \frac{1}{J_c} \right) + \left( 1 + \frac{c}{I} \right)^2 \frac{1}{J_{LA}} + \left( \frac{c}{I} \right)^2 \frac{1}{J_{LP}} \right] - \frac{4F_c sk}{\pi E d_i^2} - \frac{M_t s^2 k}{2\pi G I_p} - k_1 F_e \quad (32)$$

Pentru trasarea concretă a curbelor de deformație a subansamblurilor este necesară cunoașterea valorilor rigidităților.

În acest scop, mai jos este prezentată instalația de determinare a rigidităților statice a subansamblurilor mașinii (figura 37).

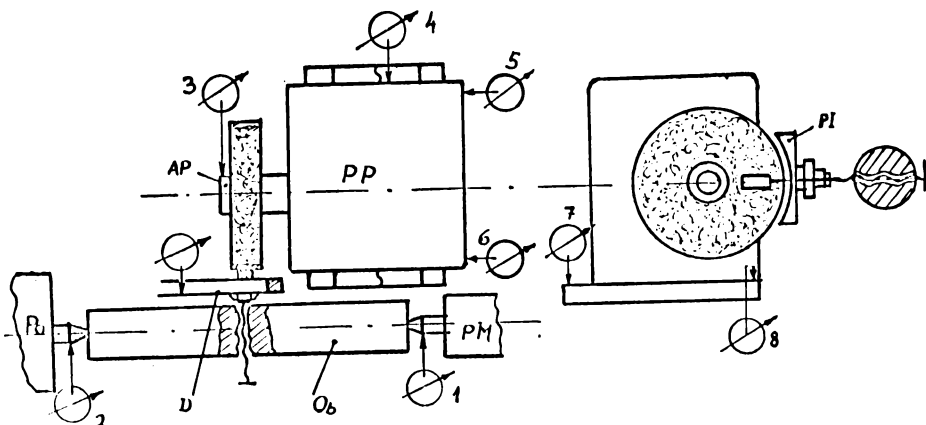


Fig.37. Instalația pentru determinarea rigidității statice a mașinii de rectificat.

La determinare s-a folosit obiectul Ob de rigiditate mare (cu deformări practic nule) prevăzut la mijloc cu șurubul S pentru creerea forțelor de încărcare. Dinamometrul D, de mare sensibilitate (în formă de U) folosit la măsurarea forțelor de încărcare, a fost prins între șurubul S și piesa intermediară PI. Piesa PI are raza de curbură identică cu a pietrei de rectificat. Cu ajutorul celor 8 comparatoare (val. div.  $\mu$ m) s-au măsurat deformările subunsemblelor după cum urmează: păpușii mobile (comparator 1), păpușii obiectului (comparator 2), arborelui principal AP (comparator 3), păpușii pietrei ca urmare a deformării mecanismului șurub-șuflită (comparator 4), rotirile păpușii pietrei în plan orizontal (comparatoare 5 și 6) și rotirile păpușii pietrei în plan vertical (comparatoarele 7 și 8).

Incărcarea mașinii cu forțe s-a făcut progresiv din 5 fm  
5 dmN, la fiecare valoare a forței notîndu-se valorile deformațiilor indicate de comparatoare. Forța maximă de încărcare a fost de 40 dmN, valoare care este mai mare decît forța echivalentă  $F_e$  născută într-un regim de degrosare.

In timpul încercările s-a constatat că deformarea după directia avansului transversal a pârâusii pietrei căt și rotirile

acesteia în cele două plane sunt, practic, nule. Ca urmare a acestui fapt relația (32) va avea forma:

$$y = \left(1 - \frac{x}{L}\right)^2 \frac{F_e}{J_o} + \left(\frac{x}{L}\right)^2 \frac{F_e}{J_m} + \frac{F_e x^2 (L-x)^2}{3 E J L} - F_e \left[ \frac{c^2}{3E} \left( \frac{1}{J_1} + \frac{1}{J_e} \right) + \left(1 + \frac{c}{l}\right)^2 \frac{l}{J_{LA}} + \left( \frac{c}{l} \right)^2 \frac{1}{J_{LP}} \right] - k_1 F_e. \quad (33)$$

Din relația de mai sus, pe baza cunoașterii abaterii maxime admisibile  $Y_{\max}$  a dimensiunii piesei și a rigidităților subansamblelor mașinii și piesei în cîmpul bidimensional al mașinii se deduce expresia pentru programarea forței echivalente  $F_e$ , adică:

$$F_e = \frac{Y_{\max}}{\frac{1}{J_o} \left(1 - \frac{x}{L}\right)^2 + \frac{1}{J_m} \left(\frac{x}{L}\right)^2 + \frac{x^2 (L-x)^2}{3 E J L} - K_{AP} - K_L} \quad (34)$$

$$\text{în care } K_{AP} = \frac{c^2}{3E} \left( \frac{1}{J_1} + \frac{1}{J_e} \right) + \left(1 + \frac{c}{l}\right)^2 \frac{l}{J_{LA}} + \left( \frac{c}{l} \right)^2 \frac{1}{J_{LP}}$$

În cazul mașinii BK3, după efectuarea încercărilor și prelucrarea rezultatelor, valorile rigidităților statice sunt după cum urmăză:

Rigiditatea păpușii mobile  $J_m = 1600 \text{ daN/mm}$ ;

Rigiditatea păpușii obiectului  $J_o = 5600 \text{ daN/mm}$ ;

Rigiditatea subansamblului arbore principal  $J_{AP} = 1700 \text{ daN/mm}$ ;

Rigiditatea mașinii  $J_{mas} = 710 \text{ daN/mm}$ .

După cum rezultă din cele de mai sus subansamblele cu cea mai mică rigiditate sunt: păpușă mobilă și arborele principal.

Instalarea automată a forței de referință  $F_{eref}$  să se simplifice dacă cele două păpuși (păpușă obiectului și păpușă mobilă) ar avea aceeași rigiditate. Acest lucru ar trebui rezolvat la prelucrarea constructivă a mașinii de rectificat rotund exterior între vîrfuri.

Avînd în vedere faptul că în cazul mașinilor de rectificat dintre componentele forței de rectificare  $F_z$ ,  $F_y$  și  $F_x$ , în perioada de durabilitate, cea care își modifică mai mult valoarea este componenta  $F_y$ , în relațiile stabilite mai sus, forța echivalentă  $F_e$  poate fi înlocuită cu  $F_y$ .

În concluzie s-a demonstrat că există posibilitatea măririi preciziei de prelucrare prin intermediul variației corespunzătoare a componentei  $F_y$  în cîmpul bidimensional al mașinii.

Însă această problemă nu poate fi rezolvată decât numai prin OA.

### 3.2.6. Rugozitatea suprafetei.

În procesul de rectificare calitatea suprafetei depinde de valorile parametrilor regimului de rectificare și de corecție a pietrei, de durata fazei de destindere și de caracteristicile pietrei, de proprietățile materialului de prelucrat, de vibrații și de alte cauze.

Influența regimului de rectificare. Înălțimea asperităților crește cu creșterea forței radiale și cu creșterea tuturor avansurilor. Dependența dintre rugozitate funcție de oricare avans poate fi exprimată printr-o funcție exponențială cu exponentul cuprins între 0,4...0,5. Domeniul de variație a exponentului, sesizat la diverși cercetători, se explică prin regimuri de corecție diferite, erori de măsurare a asperităților și prin volumul, relativ redus de măsurători.

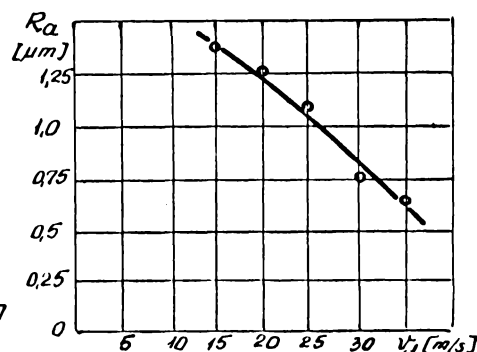
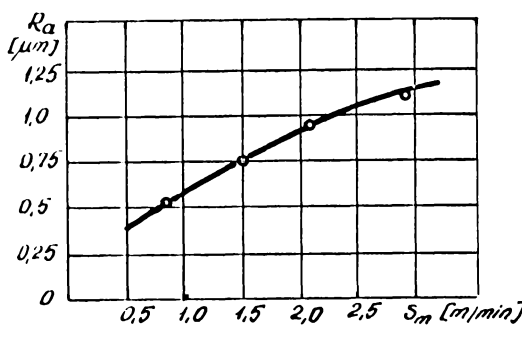
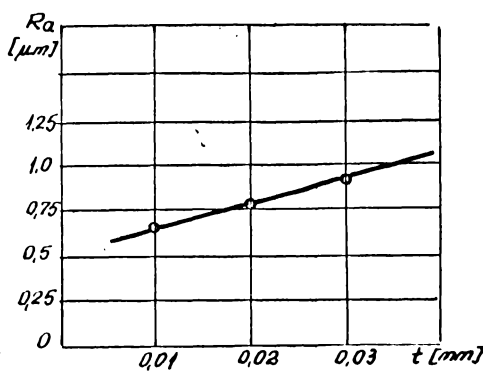
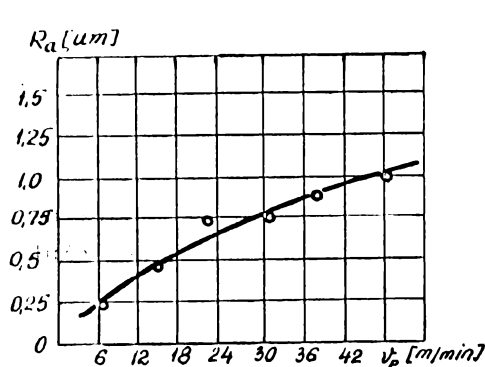


Fig. 38 Influența parametrilor de rectificare asupra rugozității suprafetei

Variația rugozității funcție de principaliii parametrii de rectificare, obținuți de către autor la rectificarea unei piețe cilindrice, între vîrfuri, din OLC45, călit cu o piatră abrazivă cu caracteristicile: D = 300 mm; B = 35 mm; granulația 80; electrocorindon: sunt prezentate în figura 38

In figura 38 se observă că odată cu creșterea vitezei periferice a pietrei se micșorează și înălțimea asperităților. În literatura de specialitate se dau două explicații acestui fenomen. Prima explicație, dată de firma Cincinnati și susținută de ENJMS este următoarea: odată cu creșterea vitezei pietrei, crește numărul de granule care participă în proces și prin aceasta reducându-se adâncimea de pătrundere a granulelor. A doua explicație dată în [68], constă în aceea că la creșterea vitezei pietrei, datorită șocurilor dinamice și a temperaturilor locale ridicate, granulele noi devin mai mici îmbunătățindu-se calitatea suprafetei.

In mod concret, însă ambele explicații au fost deduse în urma cercetărilor experimentale. Din acest motiv se apreciază că amândouă explicațiile sunt juste, contribuția unuia sau celuilalt fenomen depinde în special de duritatea pietrei și respectiv a piesei.

Experimental s-a dedus relația, de mai jos, dintre  $R_a$  și viteza pietrei

$$R_a = C v^{-m} \quad (35)$$

în care  $m = 0,7 \dots 0,8$ .

#### Influența timpului fazei de destindere.

La faza de destindere, sistemul elastic revine în poziție inițială, treptat tensiunea din sistem scade și odată cu aceasta și adâncimea de pătrundere a granulelor. Pe baza teoriei ciclului de rectificare, timpul fazei de destindere crește cu creșterea suprafetei de rectificat, cu mărimea raportului dintre tensiunea la începutul și sfîrșitul fazei de rectificare, cu micșorarea rigidității sistemului și cu capacitatea agchietoare a pietrei.

In figura 39... este reprezentată rugozitatea  $R_a$  funcție de avansul de pătrundere pe minut la rectificarea de pătrundere și de timpul fazei de destindere.

Afînd în vedere că, de fapt, rugozitatea suprafetei rezultă în urma fazei de destindere (asupra ei influențînd, însăși parametrii de rectificare la fazele precedente), la stabilirea variației

parametrilor în comanda adaptivă, rugozitatea suprafetei se va introduce ca o restricție de prima importanță.

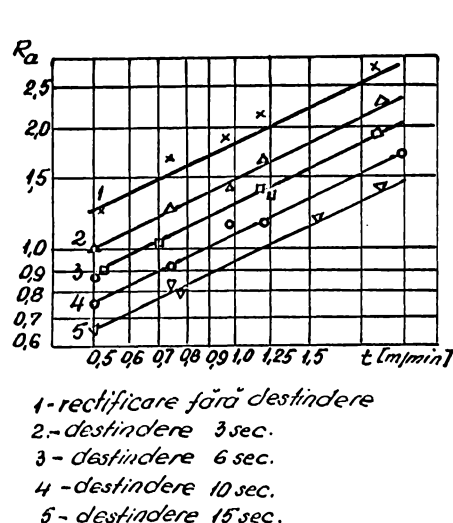


Fig.39. Influența avansului de pătrundere și a duratei fazei de destindere asupra rugozității.

Schimbarea rugozității piesei în perioada de durabilitate a pietrei. Înrăutățirea calității suprafetei în perioada de durabilitate a pietrei este explicată de majoritatea cercetătorilor prin uzura neuniformă a pietrei. La rectificarea cu avans longitudinal, la începutul perioadei de durabilitate rugozitatea se schimbă relativ puțin, micșorându-se datorită uzurii inițiale a granulelor fini spre sfîrșitul perioadei de durabilitate calitatea suprafetei se înrăutățește.

In figura 40 este prezentată variația rugozității suprafeteelor unor piese dintr-un lot, dată în [48], în perioada de durabilitate.

La rectificarea cu avans de pătrundere, rugozitatea suprafetei crește constant în perioada de durabilitate.

#### Influența regimului de corecție a pietrei asupra rugozității

În condițiile unei comenzi adaptive, mașina trebuie prevăzută cu un sistem automat de corecție care la sfîrșitul perioadei de durabilitate pe baza unei comenzi să execute corecția cu regimul optim. Cercetările efectuate în acest domeniu sunt relativ puține.

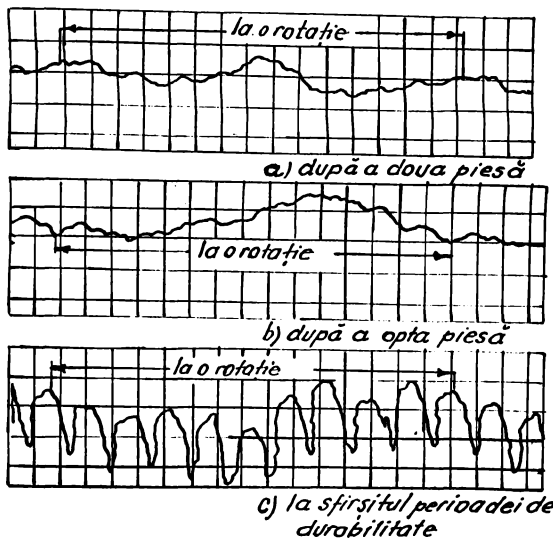


Fig.40.. Variatia rugozitatii suprafetei in perioada de durabilitate.

In tabelul de mai jos se observă o legătură între rugozitatea piesei și avansul longitudinal a diamantului la corecție.

Inălțimea rugozităților $R_a$ m	Avansul longitudinal la corecție în mm/una rotație a pietrei
0,6	0,16 ... 0,30
0,8	0,10 ... 0,15
0,4	0,06 ... 0,09
0,2	0,03 ... 0,05
0,1	0,016... 0,025

Datele de mai sus pot servi ca date inițiale în proiectarea unui sistem automat de corecție.

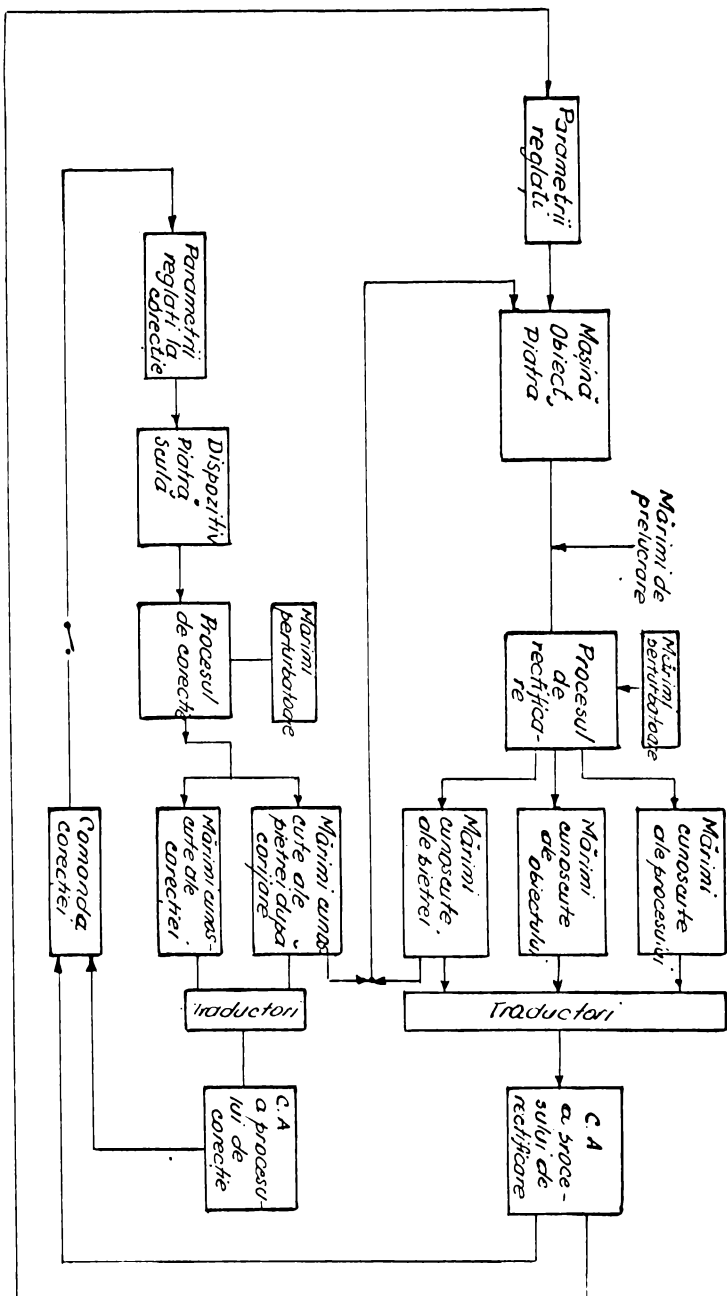


Fig.11. Structura S.A. la rectificare

### 3.3. ALGORITMUL RECTIFICARII ROTUNDE EXPERIOARE

#### INTRE VIRFURI

In scopul prelucrării cât mai economice a pieselor, în ultimul timp, se desfășoară o activitate tot mai intensă de optimizare a proceselor tehnologice datorită atât dezavantajelor prelucrării cu parametrii de așchiere reglați la valori constante cât și datorită posibilităților actuale de automatizare a mașinilor-unelte, în spătă a comenziilor adaptive, care permit autooptimizarea prelucrărilor modificând corespunzător, chiar în timpul desfășurării lucrului, unul sau mai mulți parametrii.

Diagrama bloc a procesului de rectificare, preluată din [61] și în care sunt plasate principial comenziile adaptive este redată în figura 41.

Diagrama se compune din două circuite legate între ele, primul cuprinzînd rectificarea propriu-zis iar al doilea procesul de reascuțire al sculei. Cele două circuite sunt legate între ele și se influențează reciproc.

In prezenta lucrare, din cauza complexității și multitudinii problemelor, se va trata primul circuit, cel de al doilea circuit fiind tratat numai în măsura necesității clarificării problemelor care apar în primul circuit.

La deducerea algoritmului pentru primul circuit trebuie să stea o anumită strategic prin intermediul căreia pe baza valorilor mărимilor de intrare, respectiv ieșire și a unui parametru admis ca mărime de referință să se conceapă o CA cât mai simplă și prin care să se obțină piese de calitate superioară.

#### 3.3.1. Alegerea mărimiilor de referință.

In general, procesul de rectificare reprezintă stadiul final al prelucrării de finisare prin care se urmărește realizarea pieselor cu o anumită precizie dimensională și cu rugozitate precizată a suprafeței.

Rezultă de aici că mărimea de referință trebuie astfel aleasă încît prin intermediul ei să se poată controla parametrii finali ai procesului de rectificare.

Din analiza factorilor participanți la procesul de

rectificare, a comenziilor adaptive existente, precum și din studiul regimului de aşchieri în condițiile C A, parametrii care ar putea fi admisi ca mărimi de referință sănt următorii: puterea la rectificare, rugozitatea suprafeței, componenta principală a forței de aşchieri și componenta radială a forței de aşchieri.

Comanda regimului de aşchieri la rectificare admînd puterea de aşchieri ca mărime de referință se recomandă a se utilizează în special la mașinile de rectificat specializate și eventual pentru degresări.

Cercetările experimentale [35], [36], [47], [48], au scos în evidență faptul că în perioada de durabilitate nu se poate stabili o lege de variație a puterii, valoarea acesteia putîndu-se schimba relativ mult ceea ce nu permite controlul desfășurării procesului de rectificare.

In cazurile cînd se urmărește obținerea cu strictețe a unor rugozități, cea mai potrivită mărime de referință ar fi însăși rugozitatea. Din studiile existente [24], [48], și cele de la IPTVT, măsurarea chiar în decursul procesului, cu suficientă exactitate, a rugozității este deocamdată imposibilă. Au fost încercate variante bazate pe reflexia luminii, însă din cauza aşchiilor și a lichidului de răcire nu s-au obținut rezultate satisfăcătoare. Elementele traductoare mecano-electrice cu palpare directă, din cauza vitezei piesei, relativ ridicate și a uzurii excesive a elementului palpator nu pot îndeplini condițiile unor traductoare sigure în exploatare.

Alegerea componentei principale a forței de rectificare ca mărime de referință are, în general, aceleasi dezavantaje ca și mutarea la rectificare.

Dintre toți factorii, cea mai corespunzătoare mărime prin intermediul căreia se poate controla efectiv prelucrarea precum și parametrii finali ai acesteia (precizia și rugozitatea) este componenta  $F_y$  a forței de rectificare.

Avantajele alegării acestei componente ca mărime de referință constau în următoarele:

- posibilitatea măsurării ei în procesul de rectificare;
- controlul prin intermediul ei a deformațiilor din sistemul tehnologic elastic, deci precizia de prelucrare;
- cantitatea de material îndenărtat depinde în primul rînd de gradul de tensionare a STE, deci de valoarea componentei  $F_y$ ;

- posibilitatea modificării parametrilor regimului de rectificare prin intermediul componentei  $F_y$ .

Deducerea algoritmului sistemului C A, admitînd componenta  $F_y$  ca mărime de referință, prezintă unele dificultăți, deoarece nu există o relație directă între această componentă și parametrii de așchiere reglați direct pe mașină. Din acest motiv la stabilirea algoritmului se recurge, în unele cazuri, la componenta  $F_z$  iar apoi se trece la componenta  $F_y$ , făcîndu-se corecțiile necesare.

### 3.3.2. Algoritmul rectificării rotund exterior între vîrfuri.

Scopul urmărit prin stabilirea algoritmului este acela de a găsi relații matematice între parametrii reglabili  $v_d$ ,  $n_p$ ,  $v_m$ ,  $s_t$  și  $F_y$  astfel încât în funcție de o valoare constantă sau variabilă a componentei  $F_y$  să fie modificați corespunzător o parte din parametrii amintiți.

Analiza deducerii algoritmului se va face în mai multe situații și anume:

- Folosind formulele experimentale din literatura de specialitate;
- Folosind expresia teoretică a forței de rectificare;
- Considerînd că cantitatea de material Q îndepărtată în unitatea de timp depinde exponențial de valoarea tensiunii din sistemul tehnologic elastic.
- Se cunoaște expresia componentei

$$F_z = C_F v_p^{0,7} \cdot s_1^{0,7} \cdot t^{0,6} \quad [\text{daN}].$$

Se știe, de asemenea, că

$$v_p = \frac{0,17 \cdot d^{0,3}}{T^{0,5} \cdot \beta \cdot t} \cdot K_1 \cdot K_2 \quad [\text{m/min}].$$

Inlocuind expresia lui  $v_p$  mai sus, rezultă

$$F_z = C_F \left( \frac{0,17 \cdot d^{0,3}}{T^{0,5} \cdot \beta} K_1 \cdot K_2 \right)^{0,7} s_1^{0,7} \cdot t^{-0,1} \quad [\text{daN}] \quad (36)$$

sau

$$F_z = K_F \cdot s_1^{0,7} \cdot t^{-0,1}, \quad [\text{daN}] \quad (37)$$

în care

$$K_F = C_F \left( \frac{0,17 \cdot d^{0,3}}{T^{0,5} \cdot \beta} K_1 \cdot K_2 \right)^{0,7} \quad (38)$$

s-a considerat constant, la o anumită fază de rectificare.

Se observă că expresia dedusă nu corespunde întrutotul realității, deoarece odată cu creșterea adâncimii  $t$  de așchierie rezultă că  $F_z$  scade ceea ce nu este adevărat. În consecință, expresia dedusă nu poate constitui o bază sigură pentru obținerea algoritmului.

b) Expresia teoretică a forței de rectificare dată în [49] este

$$F_z = K b^m \left( \frac{v_p}{60 v_d} \right)^{1-\mu} e^{-\mu} \left( \sqrt{\frac{t(d+D)}{dD}} \right)^{1-\mu} \sqrt{\frac{D \cdot d \cdot t}{D+d}},$$

în care mărimele nu sunt explicate în paragraful 3.2, permit variația componentei  $F_z$  și implicit și a componentei  $F_y$  funcție de viteza piesei  $v_p$ , viteza discului  $v_d$  și a adâncimii de așchierie  $t$ .

În această expresie nu este cuprinsă mai clar influența vitezei mesei asupra componentei  $F_z$ . Diagramele din figura 26, arată că viteza mesei  $v_m$  influențează esențial valorile componentelor  $F_z$  și  $F_y$ .

Creșterea vitezei periferice a discului  $v_d$  duce la micșorarea componentelor forțelor de rectificare  $F_z$  și  $F_y$ . În general după cum s-a arătat, este avantajos să se lucră cu viteze periferice să fie superioare atât din punct de vedere al preciziei cât și a calității suprafetei.

Răptul că majoritatea mașinilor de rectificat actuale lucrau cu pietre care nu permit depășirea vitezei de 35 m/s, în cadrul prezentei lucrări se va urmări variația acestui parametru numai în măsură menținerii constante a valorii raportului  $v_d$  și  $v_o$ , ceea ce duce la reducerea amplitudinii autooscilațiilor mașinii [14], [46], [47], [48], [67].

În plus valorile coeficienților  $K$ ,  $m$  și  $\mu$  sunt recomandate în limite largi ceea ce face ca algoritmul dedus pe baza relației de mai sus să aibă abateri relativ mari față de condițiile concrete de așchierie.

c) Pe baza datelor experimentale obținute de către autor și a celor din literatura de specialitate [24], [48], [67], secțiunea așchierie, respectiv volumul de material îndepărtat depinde de tensiunea din sistemul tehnologic elastic, respectiv de valoarea componentei  $F_y$ , adică

$$F_y = K (Q)^p, \quad [\text{daN}], \quad (39)$$

în care  $K$  este o constantă care depinde de rigiditatea sistemului tehnologic elastic;

$p = 0,7 \dots 0,85$  exponent;

$Q$  – volumul specific de material îndepărtat  $\text{mm}^3/\text{min}$ .

Având în vedere că:

$$Q = v_p \cdot s_1 \cdot t \quad (40)$$

în care

$$v_p = \pi d_p n_p \quad \text{și} \quad s_1 = \frac{v_m}{n_p}$$

rezultă că

$$F_y = k(\pi d_p \cdot v_m \cdot t)^p \quad [\text{daN}] \quad (41)$$

Relația dedusă scoate în evidență faptul că mărimea componentei  $F_y$  poate fi reglată reglând corespunzător viteza  $v_m$  de deplasare a mesei, în cazul rectificărilor longitudinale cind adâncimea  $t$  de aşchiere este constantă și prin modificarea adâncimii  $t$  la rectificările cu avans transversal.

La rectificările cu avans longitudinal, admitând  $t$  și  $d$  constante rezultă;

$$F_y = K_1 v_m^p \quad [\text{daN}], \quad (42)$$

în care  $K_1$  are valoarea

$$K_1 = K (\pi d_p \cdot t)^p; \quad (43)$$

Rezultă prin urmare, relația pentru reglarea vitezei  $v_m$ , funcție de componenta  $F_y$ ,

$$v_m = \left( \frac{F_y}{K_1} \right)^{\frac{1}{p}} \quad (44)$$

Odată cu variația vitezei  $v_m$  se modifică și avansul longitudinal  $s_1$  și deci și rugozitatea suprafetei de-a lungul piesei. Pentru ca să se obțină aceeași rugozitate se impune ca avansul longitudinal să rămână constant adică;

$$s_1 = \frac{v_m}{n_p} = \text{constant} \quad (45)$$

și reglabil pentru faza de degroșare și respectiv finisare.

Menținerea constantă a avansului  $s_1$  este posibilă prin modificarea corespunzătoare a turăției  $n_p$  a piesei în funcție de aceeași componentă  $F_y$  a forței de rectificare.

Din graficile prezentate în figura 26 rezultă că valoarea componentei  $F_y$  se păstrează aproximativ constantă, la variații largi ale turăției piesei.

Tinând cont de relațiile de mai sus, se poate scrie:

$$n_p = \frac{1}{s_1} \left( \frac{F_y}{K_1} \right)^{\frac{1}{p}} \quad (46)$$

în care, dacă  $s_1$  se exprimă funcție de înălțimea  $H$  a pietrei, la fazele de degroșare, respectiv finisare rezultă relația pentru reglarea turăției  $n_p$ :

$$n_p = \frac{1}{\beta H} \left( \frac{F_y}{K_1} \right)^{\frac{1}{p}} \quad (47)$$

În concluzie cele două relații, care formează algoritmul rectificării cu avans longitudinal sunt următoarele:

$$\begin{cases} v_m = \left( \frac{F_y}{K_1} \right)^{\frac{1}{p}} \\ n_p = \frac{1}{\beta H} \left( \frac{F_y}{K_1} \right)^{\frac{1}{p}} \end{cases} \quad (48)$$

In cazul rectificărilor cu avans transversal se pleacă de la relația (40) în care avansul longitudinal se înlocuiește cu relația  $s_1 = \beta H = \text{constant}$ . Valorile lui  $\beta$  depind de înălțimea din nișă care pătrunde în material. Cu precizările de mai sus, și notând cu  $v_t$  - viteza de pătrundere a pietrei în material, se obține:

$$Q_1 = v_p \beta H s_t, \quad (49)$$

în care  $v_p$  are aceeași expresie ca și în (40);

$$s_t = \frac{v_t}{n_p}, \quad v_t \text{ fiind viteza transversală a păpușii pietrei, în mm/min;}$$

Înlocuind valorile de mai sus în (39) și făcind simplificările, se obține:

$$F_y = K (\pi d_p \beta H)^{\frac{p_1}{p}} v_t^{\frac{p_1}{p}} \quad (50)$$

Admitând  $\beta H$  și  $d_p$  constante se obține,

$$F_y = k_2 v_t^{\frac{p_1}{p}} \quad (51)$$

în care  $k_2$  are valoarea,

$$k_2 = K (\pi d_p \beta H)^{\frac{p_1}{p}} \quad (52)$$

Rezultă prin urmare, relația pentru reglarea vitezei  $v_t$  a păpușii pietrei funcție de componenta  $F_y$  adică,

$$v_t = \left( \frac{F_y}{K_2} \right)^{\frac{1}{p_1}} \quad (53)$$

Tot din motive de rugozitate a suprafetei este necesar ca valoarea avansului transversal pe o rotație a piesei să rămână constantă. Deci,

$$s_t = \frac{v_t}{n_p} = \text{constant} \quad (54)$$

și reglabil pentru faza de degroșare și finisare, ceea ce se obține cu relația de mai jos, dedusă în mod analog ca și la prelucrările cu avans longitudinal, adică

$$n_p = \frac{1}{s_t} \left( \frac{F_y}{K_2} \right)^{\frac{1}{p_1}} \quad (55)$$

În final cele două relații care formează algoritmul rectificărilor cu avans transversal sunt:

$$\begin{cases} v_t = \left( \frac{F_y}{K_2} \right)^{\frac{1}{p_1}} \\ n_p = \frac{1}{s_t} \left( \frac{F_y}{K_2} \right)^{\frac{1}{p_1}} \end{cases} \quad (56)$$

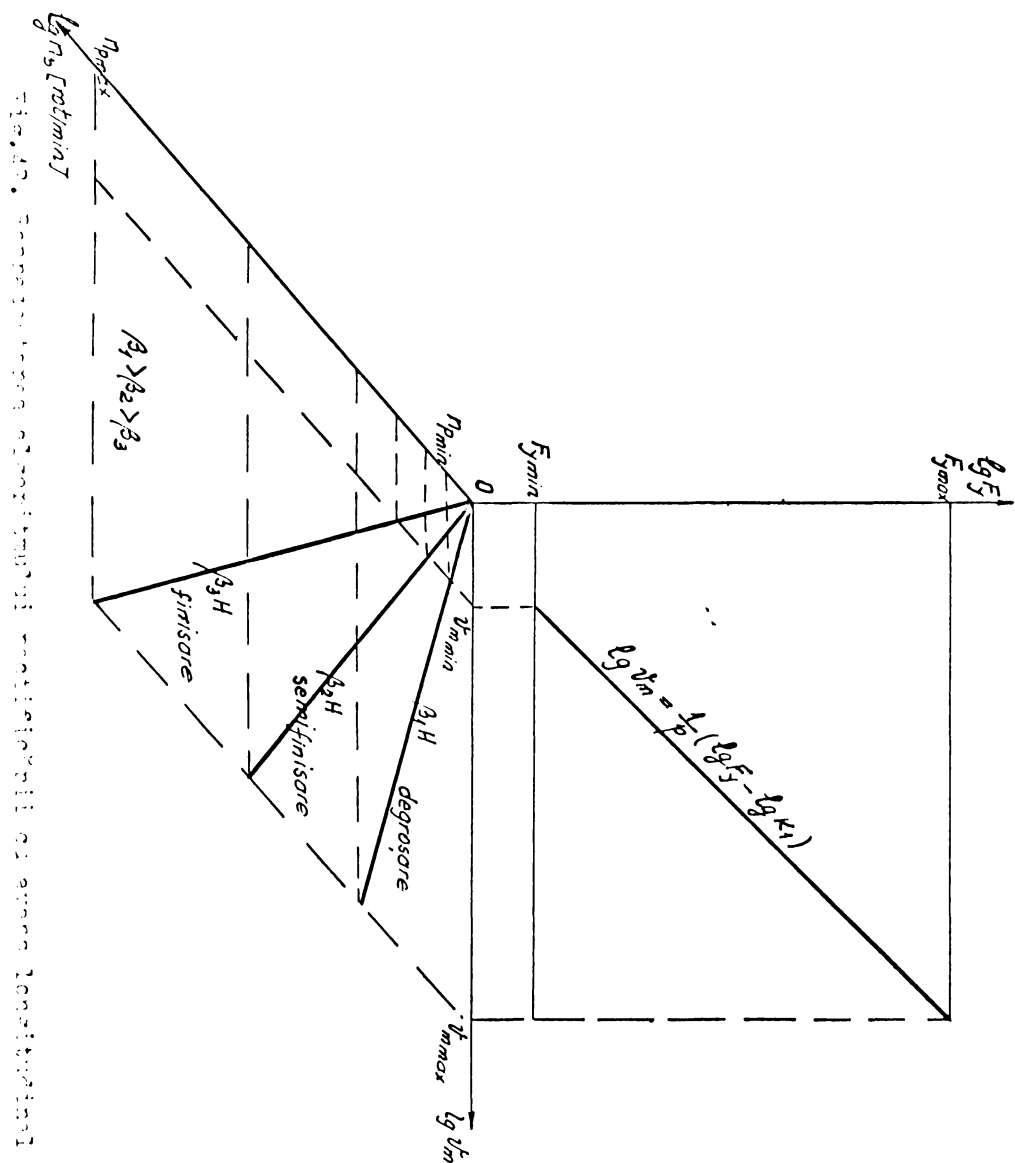
În cazul concret al mașinii de rectificat tip Bk3 valoile coeficienților sunt:  $K_1 = 12 \cdot 10^{-3}$  și  $p = 0,815$

$$K_2 = 3,4 \quad \text{și } p_1 = 0,815$$

Valorile coeficienților de mai sus au fost stabilite pe baza diagramelor din figura 26, prin metodologia cunoscută.

Reprezentarea algoritmului într-un sistem de axe de coordinate  $v_m$ ,  $n_p$  și  $F_y$  pentru prelucrările cu avans longitudinal arată că în figura 42.

După cum se observă în figură, componenta  $F_y$  poate lua valori cuprinse între  $F_{y\min}$  și  $F_{ymax}$ , valori care constituie extretele între care poate varia  $F_y$ . Valoarea  $F_{y\min}$  este limitată de posibilitățile traductorului iar  $F_{ymax}$  de puterea de antrenare a pietrei. Uneori valoarea lui  $F_{y\min}$  mai poate fi limitată și de viteza minimă a mesei  $v_{m\min}$  la care apare mersul sacadat.



In planu  $v_m$ , apare un fascicul de drepte care trec prin origine și care nu reprezintă altceva decât dreptele de ecuație,

$$v_m = s_1 \cdot n_p,$$

adică cu fiecare dreaptă se stabilește avansul longitudinal cu care se execută faza respectivă de rectificare (degrăsare, semi-finisare și finisare).

La faza de destindere, din cauza valorii reduse a componentei  $F_y$  care treptat tinde către zero, comanda adaptivă nu poate servi la reglarea parametrilor regimului.

În mod similar se reprezintă grafic și algoritmul rectificărilor cu avans transversal având cele 3 coordonate  $v_t, n_p$  și  $F_y$ .

Cu diagramele astfel obținute se poate comanda regimul admitînd o valoare constantă a componentei  $F_y$  sau impunîndu-i o anumită lege de variație, între valorile extreme.

#### 3.4. SCHEMA DE PRINCIPIU A COMENZII ADAPTIVE

În baza elaborării schemei C.A. să analiza anterioră a procesului tehnologic de rectificare, rezultatele cercetărilor referitoare la dependența dintre componenta  $F_y$  a forței de aplicare și parametrii de reglare ai regimului, algoritmul stabilit în acest scop, precum și studierca și punerea la punct, în catedră, a unor componente pentru sisteme de automatizare corespunzătoare.

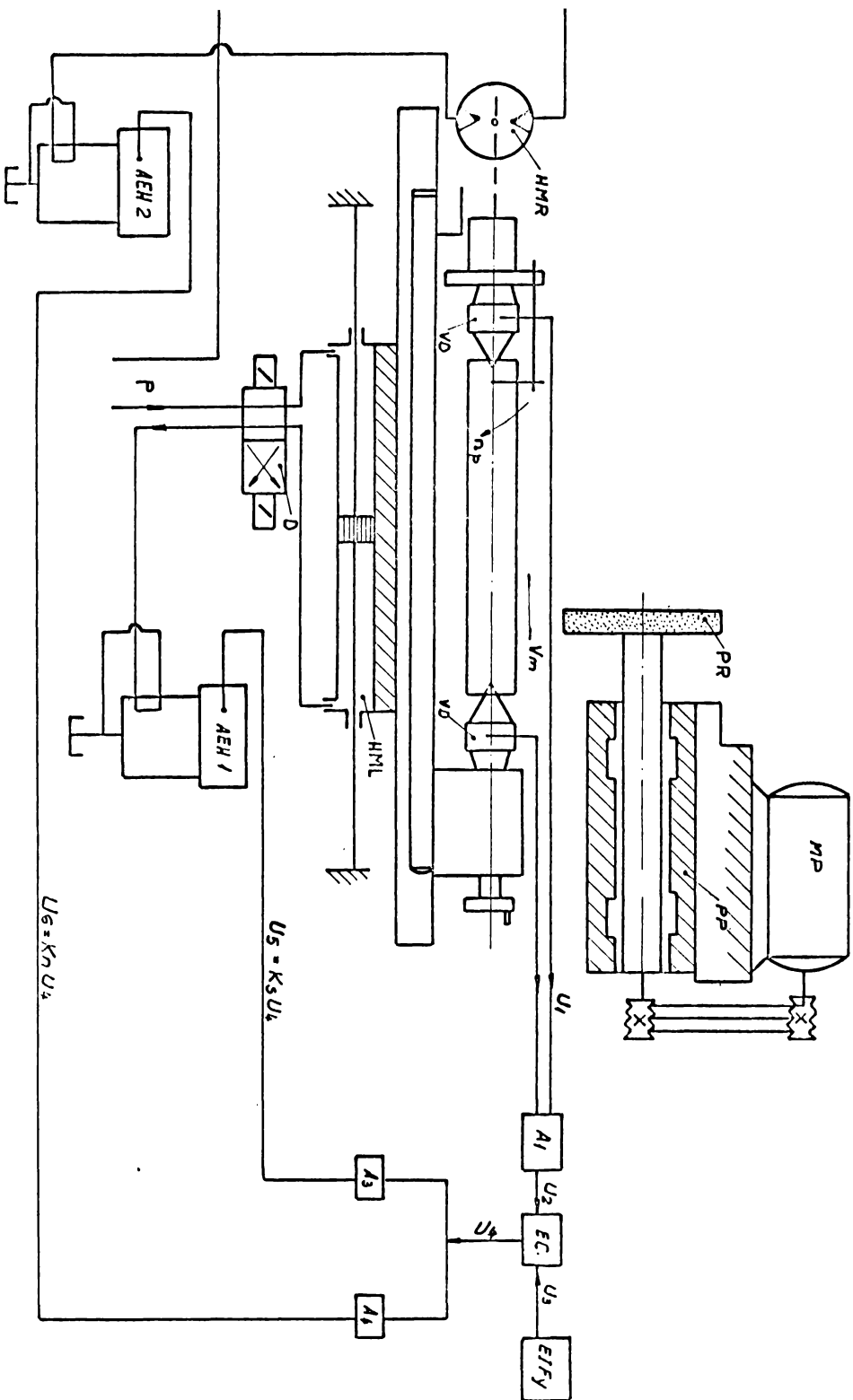
Având în vedere cele de mai sus, s-a conceput soluția, a cărei schemă de principiu este redată în figura 43.

Această C.A. realizează reglarea automată a doi parametrii, la prelucrările cu avans longitudinal, și anume: a vitezei  $v_m$  și a turăției  $n_p$  a obiectului, funcție de valorile forței de referință  $F_y$ . C.A. servește la reglarea parametrilor amintiți mai sus numai în fazele de degrăsare și finisare. La faza de destindere C.A. se decouplează automat, deoarece orice comandă a regimului de lucru pe durata acesteia este fără sens.

Componenta reală  $F_y$  a forței de rectificare este măsurată permanent cu ajutorul vîrfurilor dinamometrice VD. De la acestea valoarea componentei  $F_y$ , sub formă de semnal electric  $u_1$ , amplificat în  $A_1$  la valoarea  $u_2$  se transmite la elementul de comparare EC.

INSTITUTUL POLITEHNIC  
TIMIȘOARA  
BIBLIOTECĂ CENTRALĂ

Рис. 43. Схема регулирования вентилятора



In EC semnalul  $u_2$  se compară cu semnalul  $u_3$  provenit de la elementul de instalare a forței de referință EIF<sub>y</sub>. Cu ajutorul unui asemenea element este posibilă instalarea forței de referință în cîmpul bidimensional al mașinii precum și la fazele de degroșare și finisare.

Rezultatul comparării  $u_4 = u_3 - u_2$  se transmite cu semn prin două canale la amplificatoarele A<sub>3</sub> și A<sub>4</sub>. Prin semnalul  $u_5 = k_s u_4$  se comandă viteza mesei v<sub>m</sub>, reglîndu-se în mod corespunzător secțiunea de curgere a amplificatorului electrohidraulic AEH1. În același timp semnalul  $u_6 = k_n \cdot u_4$  servește la reglarea turăției n<sub>p</sub> a hidromotorului rotativ HMR, prin intermediul amplificatorului electrohidraulic AEH2.

În perioadele tranzitorii de funcționare, cînd componenta reală F<sub>y</sub> este diferită față de cea de referință, suma algebraică a celor două semnale, amplificată corespunzător va produce variația parametrilor v<sub>m</sub> și n<sub>p</sub> (conform algoritmului) astfel încît componenta reală F<sub>y</sub> să devină egală cu cea de referință iar avansul longitudinal s<sub>1</sub> în mm/rot.piese să rămînă constant.

#### 4. ANALIZA COMPONENTELOR COMENZII ADAPTIVE.

Comportarea în regim dinamic a unei comenzi adaptive, respectiv modul în care se desfășoară procesele tranzitorii în sistem, la trecerea dintr-un regim staționar într-altul, este determinată de calitățile dinamice ale elementelor componente exprimate prin una sau alta dintre caracteristicile dinamice: ecuația diferențială, ecuația operațională, funcția de transfer, caracteristicile de frecvență, etc.

Până în prezent, literatura de specialitate de care se discoune, nu cuprinde analize dinamice ample ale comenziilor adaptive realizate, decât a unor elemente componente relativ reduse ca număr. Acest lucru se explică prin aceea că actualmente, din cauza caracterului de nouitate a problemei, se urmărește abia conceperea, realizarea și încercarea lor în regimuri statice de funcționare și mai puțin în regimuri dinamice.

Chiar mai mult, cu excepția cîtorva comenzi adaptive realizate în U.R.S.S., la care sunt prezentate mai în detaliu elementele componente, firmele din Japonia și S.U.A dă date extrem de sumare despre componente comenziilor adaptive realizate.

Dată fiind această situație, după analiza regimului de aschieră în condițiile comenzi adaptive și elaborarea structurii sistemului, se impune concurența, proiectarea, realizarea și încercarea elementelor componente. De la început trebuie să se aibă în vedere că acestea să aibă caracteristici statice și dinamice acceptabile.

Studiindu-se structura comenziilor adaptive de la diferite tipuri de mașini de rectificat s-a ajuns la concluzia că principalele elemente componente ale acestora sunt următoarele:

- elementele traductoare pentru măsurarea forțelor;
- elementele amplificatoare;
- elementele de execuție și reglare.

In lucrările [17], [18], [20], [67] au fost prezentate și analizate critic principali traductori, cuprinși în literatura de specialitate și folosiți în compunerea comenziilor adaptive la diverse tipuri de mașini unelte.

In cele ce urmează se prezintă și se analizează un element traductor pentru măsurarea forțelor prin măsurarea variației de presiune în lagărul hidrostatic anterior, la mașinile de rectificat cu arbore principal sustentat hidrostatic, amplificatorul electrohidraulic AEH și o acționare hidrostatică a obiectului pe mașina de rectificat rotund exterior BK3.

#### 4.1. ELEMENT TRADUCTOR PENTRU MASURAREA FORTELOR LA RECTIFICARE PRIN VARIATIA PRESIUNII IN LAGARUL ANTERIOR AL ARBORELUI PIETREI

Având în vedere tendința de introducere a lagărelor hidrostatice la arborele pietrei, la mașini de rectificat, inclusiv la modelele fabricate în țară, anare posibilitatea măsurării componentelor forței de rectificare  $F_z$  și  $F_y$  prin intermediul măsurării variației de presiune în buzunarele corespunzătoare ale lagărului anterior de la arborele pietrei.

O asemenea soluție păstrează posibilitățile tehnologice ale mașinii și nu micșorăză rigiditatea acesteia, prezentând totodată siguranță mare în funcționare.

O metodă asemănătoare de măsurare a componentei  $F_y$  este folosită de firma TOYODA la mașina de rectificat GON20A-C, care folosește elemente trductoare cu semiconductori. Literatura de specialitate de care se dispune [67], [75], [77] conține date foarte sumare referitoare la construcția elementelor trductoare, forma constructivă a lagărului și a buzunarelор, etc.

În vederea măsurării componentei  $F_y$  prin metoda precizată mai sus, s-a conceput, studiat, realizat și încercat elementul traductor prezentat în figura 44.

Principala piesă 3 conține membrana elastică pe care sunt montate trductoarele cu fir rezistiv I...IV. Cu ajutorul piesei de legătură 5 elementul traductor se leagă cu cavitatea buzunaru lui. Pe capacul din masă plastică 6 sunt fixate capetele trductoarelor.

Din schița prezentată mai sus rezultă că elementul trductor se bazează pe variația rezistenței electrice a trductoarelor rezistivi care se deformează odată cu membrana asupra căruia acționează presiunea lichidului. Ca urmare, pentru păstrarea constantei trductoarelor în timp se impune ca presiunea maximă măsurabilă să nu creeze eforturi în membrană care să depășească limita

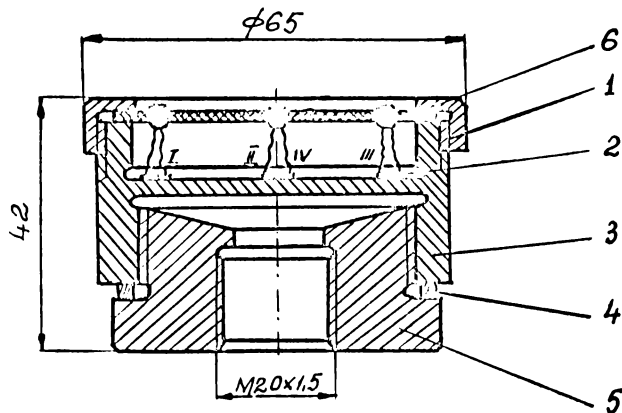


Fig. 44. Element traductor pentru măsurarea componentei  $F_y$  prin variația presiunii

Tinând cont de acest lucru, elementele traductoare cu membrană elastică se pot folosi numai pentru un anumit domeniu de presiune, funcție de grosimea membranei.

În vederea obținerii unui semnal electric cât mai mare, trebuie să se aibă în vedere semnul și valorile tensiunilor radiale și tangențiale în membrana elastică, funcție de raza membranei. În figura 45 se prezintă variațiile celor două eforturi  $\sigma_r$  și  $\sigma_t$  precum și diametrele la care are loc schimbarea semnelor acestora.

Avîndu-se în vedere cele de mai sus, precum și dimensiunile și formele constructive ale traductoarelor și a elementului traductor, plasarea traductoarelor rezistive pe membrana elastică s-a făcut după cum se vede în aceeași figură.

Expresiile tensiunilor radiale și tangențiale, (fig.46), determinate cu formulele de calcul a plăcilor subțiri sunt date de relațiile:

$$\sigma_r = -\frac{3pA}{8\pi m s^2} \left[ (3m + 1) \frac{r^2}{R^2} - (m + 1) \right] \quad (57)$$

$$\sigma_t = -\frac{3pA}{8\pi m s^2} \left[ (m + 3) \frac{r^2}{R^2} - (m + 1) \right] \quad (58)$$

În care:  $p$  este presiunea uleiului ce acționează asupra membranei, în  $\text{daN/cm}^2$ ;

$A$  – aria membranei, în  $\text{cm}^2$ ;

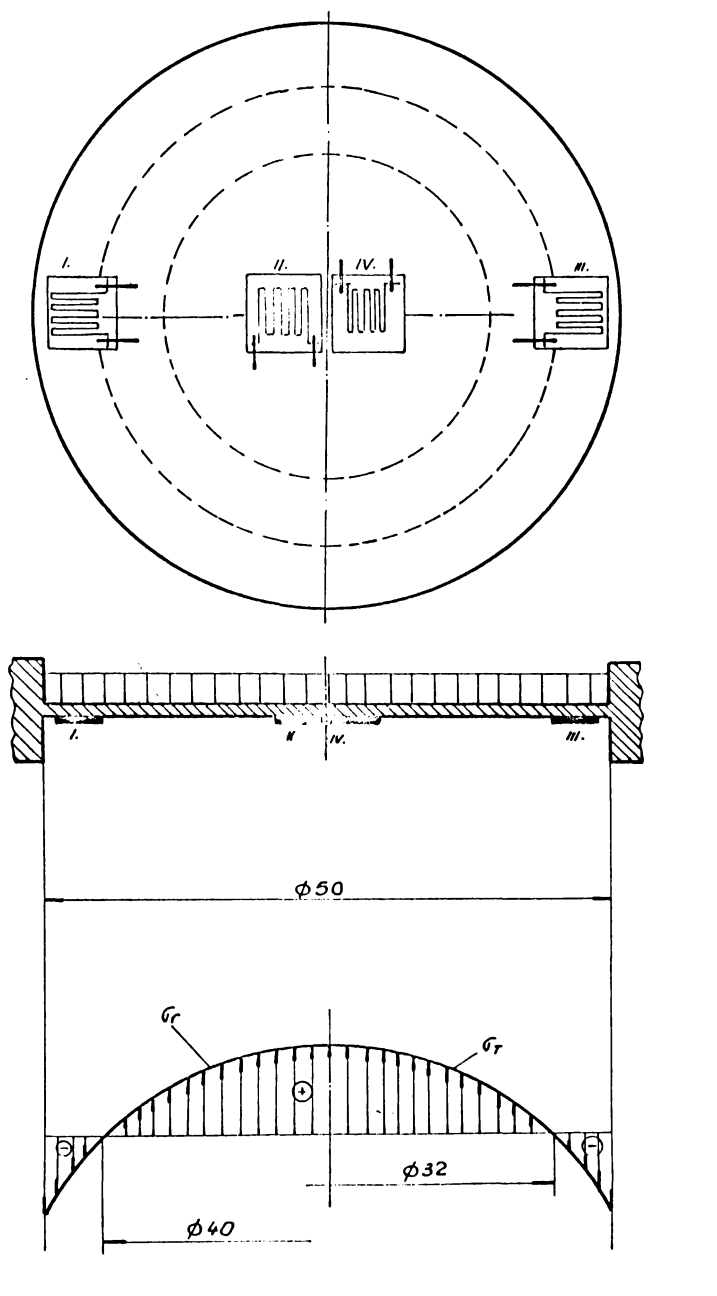


Fig. 45. Variația eforturilor  $\sigma_r$  și  $\sigma_T$  în membrană.

$s$  - grosimea membranei, în cm;

$m = \frac{1}{\mu}$ , în care  $\mu$  este coeficientul lui Poisson;

$R$  - raza maximă a membranei, în cm;

$r$  - raza curentă a membranei, în cm.

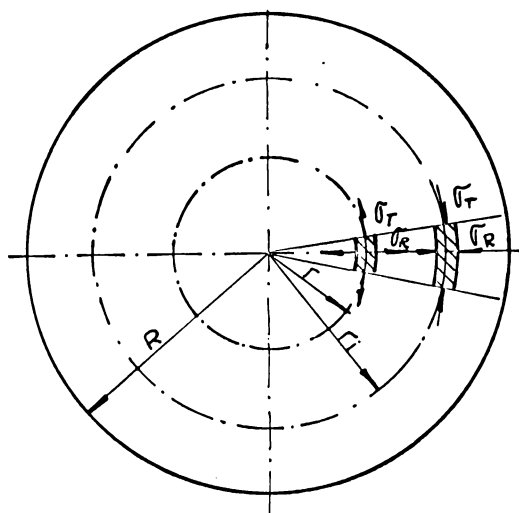


Fig. 46. Solicitările elementelor membranei.

S-a constatat că pe porțiunile din mijloc, valoarea maximă are efortul tangential pozitiv  $\sigma_T$ , iar pe porțiunile nerifice efortul radial negativ  $\sigma_R$ .

Razele cercurilor la care tensiunile  $\sigma_R$  și  $\sigma_T$  și schimbă semnul se determină din următoarele expresii:

$$r\sigma_R = R \sqrt{\frac{m+1}{3m+1}} \text{ pentru } \sigma_R, \quad (59)$$

$$r\sigma_T = R \sqrt{\frac{m+1}{m+3}} \text{ pentru } \sigma_T. \quad (60)$$

Se cunosc de asemenei expresiile tensiunilor care auar în centrul membranei,

$$\sigma_T = \sigma_R = 0,49 \cdot p \left( \frac{R}{s} \right)^2 \quad (61)$$

și în punctele de incastrare a membranei;

$$\sigma_R = -0,75 p \left( \frac{R}{s} \right)^2, \quad \sigma_T = -0,3 p \left( \frac{R}{s} \right)^2 \quad (62)$$

Presiunea maximă admisibilă măsurabilă se va calcula în funcție de valoarea efortului admisibil  $\sigma_a$  știind că la incastrare se produce tensiunea maximă. Adică

$$p_{\max} = -1,34 \sigma_a \left(\frac{s}{R}\right)^2, \quad \left[\frac{\text{daN}}{\text{cm}^2}\right]. \quad (63)$$

Deoarece elementul traductor va servi în principal pentru măsurarea variațiilor de presiune se impune determinarea frecvențelor oscilațiilor proprii ale membranei, în scopul evitării frecvenței de rezonanță.

Aceste frecvențe pot fi calculate cu relațiile date în literatura de specialitate [31] și [52], după ce în prealabil se calculează pulsăriile proprii corespunzătoare. Valorile acestor pulsării sunt:

$$\omega_1 = \frac{10,21}{a^2} \sqrt{\frac{Dg}{f_h}}; \quad \omega_2 = \frac{39,77}{a^2} \sqrt{\frac{Dg}{f_h}}; \quad \omega_3 = \frac{88,9}{a^2} \sqrt{\frac{Dg}{f_h}} \quad (64)$$

în care:

$D = \frac{Eh^3}{12(1+\mu^2)}$  este rigiditatea cilindrică a plăcii;

$g = 981 \text{ cm/s}^2$  accelerația gravitațională;

$f_h = 0,00775 \text{ daN/cm}^2$  - masa unității de volum a membranei;

$h = 2 \text{ mm}$  grosimea plăcii

$\mu = 0,28$ .

Rezultă cu formulele și datele de mai sus primele 3 pulsării proprii :

$$\omega_1 = 5000 \text{ rad/s}; \quad \omega_2 = 19540 \text{ rad/s}; \quad \omega_3 = 44200 \text{ rad/s}.$$

Utilizând relația:

$$f = \frac{\omega}{2\pi}, \quad (65)$$

rezultă următoarele trei frecvențe ale vibrațiilor libere

$$f_1 = 796 \text{ Hz}; \quad f_2 = 3120 \text{ Hz} \quad și \quad f_3 = 7080 \text{ Hz}.$$

Cu relațiile date mai sus a fost proiectat elementul traductor prezentat în figura 44.

Grosimea membranei a fost admisă 2mm, materialul ei OLC45. Cunoscindu-se dimensiunile membranei și  $\sigma_a$  s-a calculat presiunea maximă măsurabilă cca  $p_{\max} = 20 \text{ daN/cm}^2$ . Prin urmare, cu acest

element traductor se pot măsura presiuni și variații de presiuni cuprinse între 0 și 20 daN/cm<sup>2</sup>.

Pe membrana elementului traductor au fost lipite 4 trăductoare rezistive cu lungimea bazei de ~ 6 mm și cu rezistență de 120  $\Omega$ , constanta trăductoarelor rezistiv fiind de  $K = 2,02$ . Toate trăductoarele sunt solicitate datorită efortului radial  $G_R$ .

Trăductoarele I și IV au fost plasate la periferia membranăi între razele  $r = 20 \dots 25$  mm, iar trăductoarele II și III între  $r = 0 \dots 8$  mm. Plasarea în punte a trăductoarelor s-a făcut astfel încât să se obțină semnal maxim și să se eliminate influența variației de temperatură a uleiului.

Elementul trăductor executat a fost încercat static și dinamic, construindu-se pe baza datelor obținute diagrama de etalonare și caracteristica amplitudine-frecvență.

Standul pe care s-a făcut etalonarea statică este redat în figura 47.

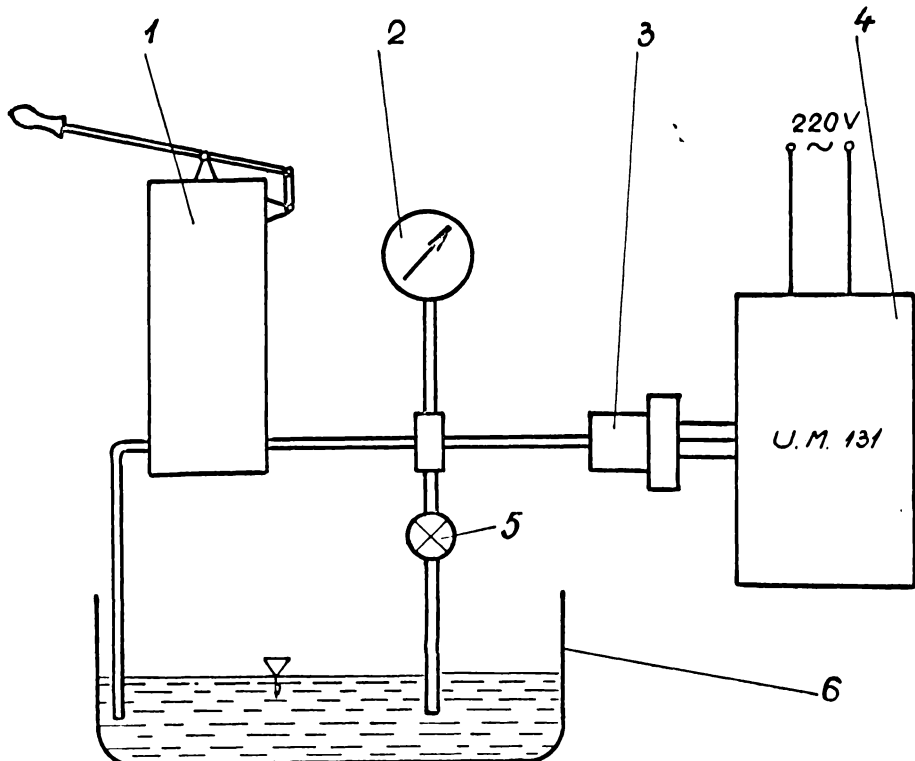


Fig.47. Stand pentru etalonarea statică a elementului trăductor.

Instalația de etalonare statică se compune din: pompa de mînă 1, manometrul etalon 2, elementul traductor 3, puntea tensometrică UM 131 4, robinetul de descărcare 5 și rezervorul de ulei 6.

In scopul reducerii histirezei, în prealabil, au fost făcute 15 încărcări și descărcări ale traductorului, crescîndu-se și descrescîndu-se presiunea în trepte din 2 în 2 daN/cm<sup>2</sup> între 0...20 daN/cm<sup>2</sup>. Diagrama de etalonare (fig.48) a fost trasată cu media citirilor de la încărcările 16...20.

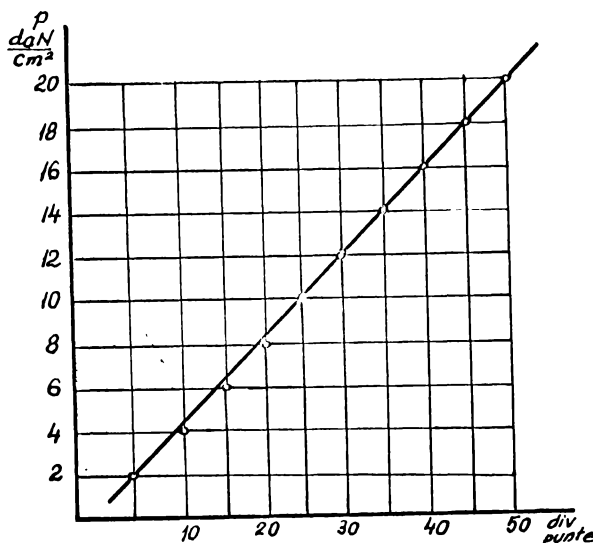
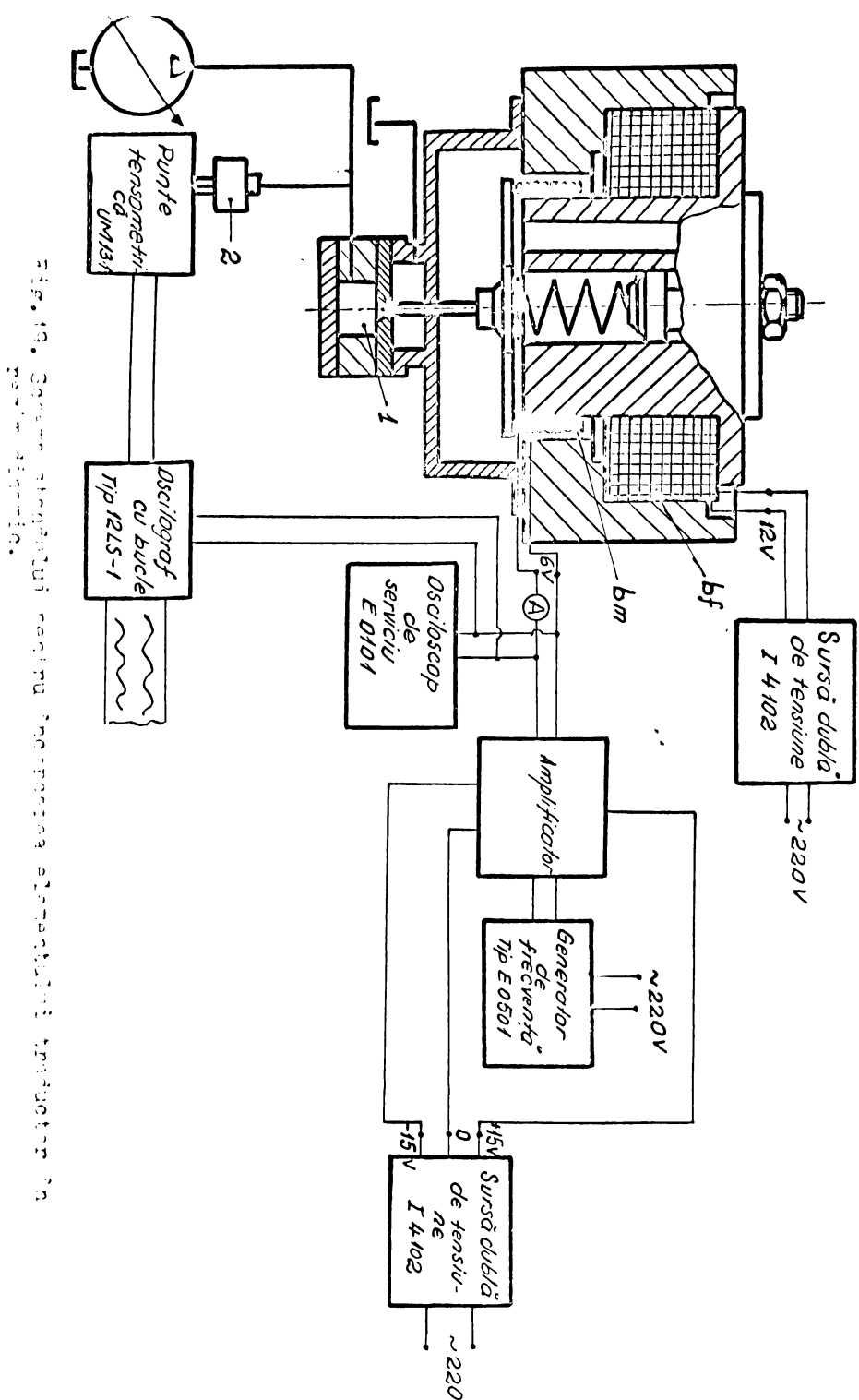


Fig.48. Diagrama statică de etalonare a elementului traductor.

Utilizarea elementului traductor într-un sistem de reglare automată este determinată de caracteristicile dinamice ale acestuia și în special a caracteristicii amplitudine-frecvență.

Schema ștandului pe care s-a făcut încercarea elementului traductor în regim dinamic este redată în figura 49.

Elementul traductor 2 este plasat într-un circuit hidrostatic compus dintr-o pompă cu debit variabil 3 și excitatorul 1 constituie dintr-o supapă cu ac, comandată de un transformator electromecanic reușit de autor.



Bobina mobilă bm a supapei l este alimentată cu un curent continuu mediu de 150 mA, căreia îi corespunde o deschidere medie a supapei, peste care a fost alimentată cu curent pulsatoriu cu frecvențe cuprinse între 1...400 Hz și cu amplitudinea de  $\pm$  50 mA. Aceasta din urmă a constituit semnalul de intrare și care putea fi vizualizat pe osciloscopul E 0101. În același timp semnalul de intrare a fost introdus în osciloscopul cu bucle 12 LS-1.

Prin variația curentului de comandă, în sistemul hidraulic are loc o variație de presiune sesizată de traductorul 2. Semnalul de la puntea cu traductoare după ce este amplificat în puntea tensometrică UM 131 este introdus în osciloscopul cu bucle 12 LS-1 și în final împreună cu semnalul de intrare este înregistrat pe banda de hîrtie sensibilă la lumină.

Frecvența a fost variată între 1... 400 Hz.

Cu rezultatele obținute a fost trasată caracteristica amplitudine-frecvență și fază frecvență (figura 50).

Din caracteristicile de frecvență ale elementului traductor, rezultă că acesta poate funcționa bine până la cca 150 Hz, ceea ce este suficient, având în vedere caracteristicile dinamice ale celorlalte componente care lucrează corespunzător la frecvențe de câteva ori mai mici.

#### 4.2. ELEMENTE DE REGLARE

O problemă deosebită la realizarea unei comenzi adaptive este aceea de reglare a vitezelor elementelor de execuție, în cazul concret din schema prezentată în figura 43, a hidromotorului rotativ și a hidromotorului liniar având elemente cu puteri de comandă reduse și cu caracteristici dinamice superioare.

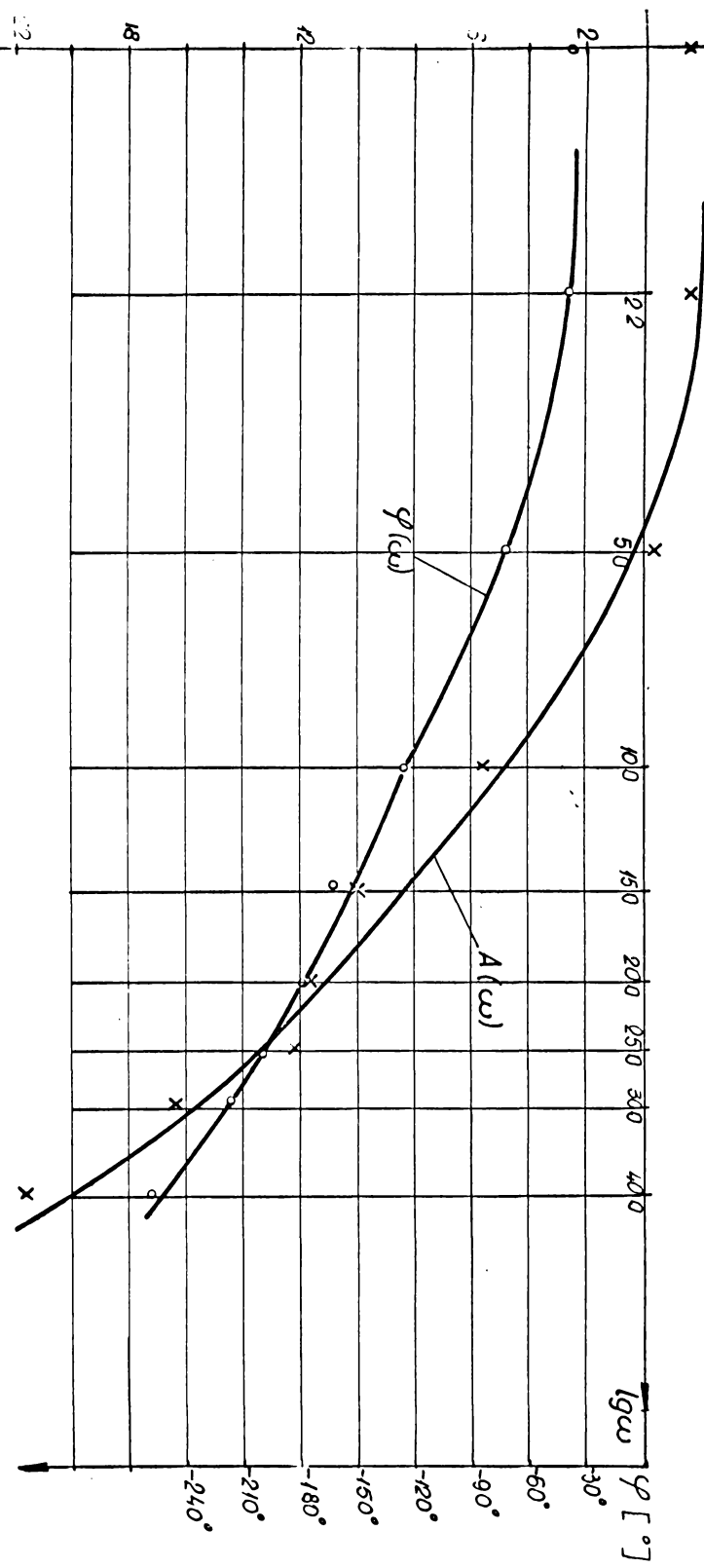
In acest scop ar putea fi folosite drosclele cu fântă transversală, cu canal elicoidal sau de tip sertar. Acestea însă prezintă dezavantajul că puterea necesară pentru modificarea poziției elementului de reglare este mare (din cauza dezechilibrării hidrostaticice) iar din cauza forțelor de frecare, relativ ridicate, dintre piesele în mișcare au caracteristici dinamice necorespunzătoare.

Momentul de comandă mare și unor asemenea elemente impune amplificări mari a semnalelor primite de la traductoare, ceea ce duce la complicarea comenzi și la creșterea prețului ei de cost.

$A [dB]$

BUPT

FIGURE 6.2.2.2. A polar plot of the frequency response of a system with a resonance peak.



Realizarea, prin urmare, a comenzi adaptive a impus studierea unor elemente care să îndeplinească condițiile precizate mai sus.

O atenție deosebită în acest sens i s-a acordat amplificatorului cu transformator electromecanic care în sistem va îndeplini funcția de reglare a debitelor celor două elemente de execuție (fig.43), hidromotorul rotativ HMR și hidromotorul liniar HML.

Amplificatoarele de acest gen au apărut relativ recent având importante avantaje față de alte amplificatoare electrohidraulice..

Astfel, el are o mare rapiditate de reacție, deoarece curentul de comandă nu trebuie să efectueze magnetizări, are o bună proporționalitate și coeficient mare de amplificare a puterii.

Schița de principiu a unui astfel de amplificator este dată în figura 51.

Utilizarea sa în comenziile automate a mașinilor-unelte este avantajoasă tocmai datorită proprietăților sale, care de altfel sunt relevante în literatură [37], [43].

Pînă în prezent aceste elemente sunt relativ puțin studiate. Se cunoaște expresia forței dată de un transformator electromecanic (T.M.E) sau magnetoelectric și funcțiile de transfer linearizate [43], [44], însă nu sunt stabilite relații practice pentru dimensionarea elementelor principale atît a transformatorului electromecanic cît în deosebi a părții hidraulice.

Astfel, nu se cunosc dimensiunile avantajoase a bobinei mobile, modul de determinare a diametrului acului supapei comandat de bobina mobilă, forța maximă pe care trebuie să o dețin T.E.M., debitul și presiunea sursei ce alimentează comanda sertarului amplificator, rigiditatea arcului A (fig.51) a aceluiași sertar amplificator, și alți parametrii, astfel ca să rezulte o construcție cu dimensiuni optime și care totodată să mantină înțelempri întregului element.

Că urmăre în cele ce urmează se vor ataca toamna aceste probleme.

#### 4.2.1. Principaliile parametrii ai bobinei mobile a T.E.M.

Bobina mobilă trebuie în primul rînd să asigure realizarea unor forțe maxime și totodată să aibă o greutate minimă pentru a avea caracteristici dinamice cît mai bune.

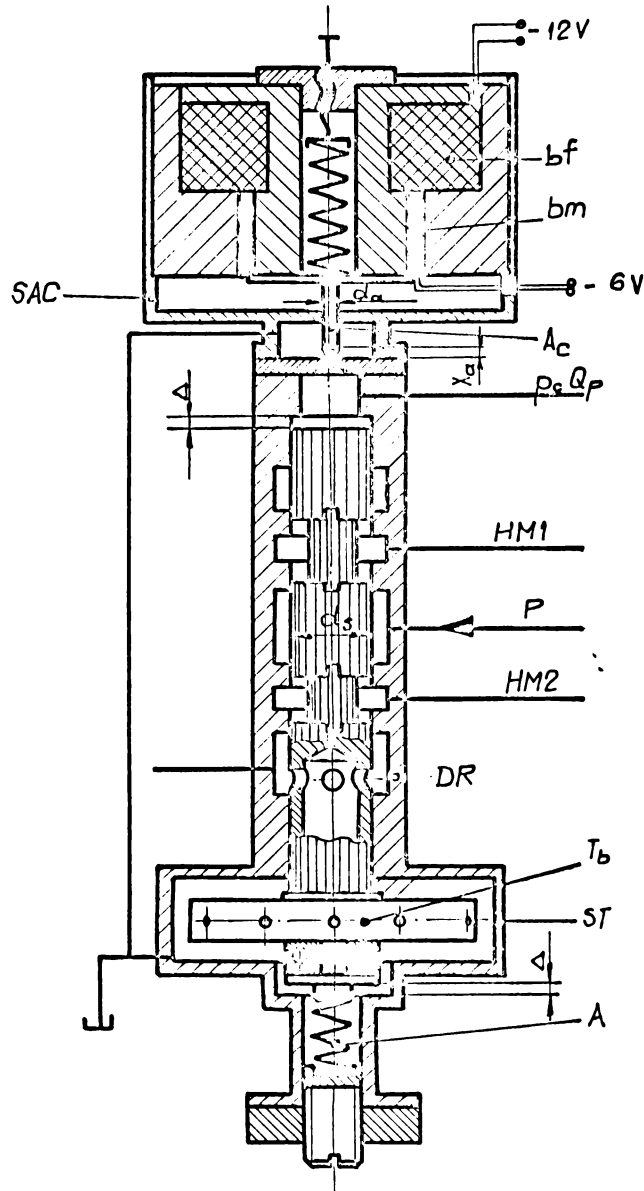


Fig. 51. Schita de principiu a AEMH

După cum se știe forța care se obține cu această bobină, se determină cu relația lui Biot-Savart:

$$F = Bl_c w_c i_c, [N] \quad (66)$$

în care:

$B$  - inducția magnetică în T sau  $\frac{Wb}{2}$ , din între fierul în care este plasată bobina mobilă de comandă;

$l_c$  - lungimea medie, în m., a unei snire a bobinei mobile de comandă;

$w_c \cdot i_c$  - solenăția bobinei mobile de comandă.

Deoarece curentul de comandă  $i_c$  este determinat de dimetrii de comandă și valoarea sa maximă determinată numai de diametrul conductorului bobinei de comandă, rezultă că pentru obținerea unei forțe maxime trebuie analizat modul în care  $B$ ,  $l_c$  și  $w_c$  conform relației (66) influențează valoarea forței.

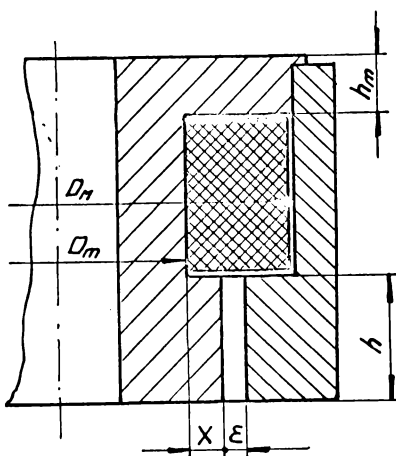


Fig.52. Schița de calcul a inducției magnetice.

Conform schiței din figura 52 se observă că:

$$l_c = \pi (D_n + 2x + \varepsilon), [m]; \quad (67)$$

iar dacă notăm:

$w_1$  - numărul de snire pe unitatea de lungime a bobinei mobile;

$h$  - înălțimea în m, a bobinei mobile,

atunci

$$w_c = w_1 h. \quad (68)$$

Inlocuind (67) și (68) în expresia (66), rezultă,

$$F = \pi B(D_m + 2x + \epsilon) \cdot w_1 h i_c, \quad [N]. \quad (69)$$

Din această relație se observă că forța este funcție de poziția intrefierului din circuitul magnetic constant al T.E.M., adică de mărimea  $x$ , de înălțimea  $h$  a bobinei mobile, a intrefierului  $\epsilon$  și a inducției  $B$  din acest intrefier.

Mărimea intrefierului  $\epsilon$  este determinată de grosimea conductorului bobinei de comandă, deci de curentul  $i_c$ , de  $w_1$ , în care se consideră și numărul de straturi necesar, de grosimea necesară a carcasei bobinei mobile și de jocurile impuse construcțiv pentru o funcționare sigură.

Că urmăre din relația (69) ar rezulta că valorile maxime pentru  $F$  se obțin cînd  $x$  și  $h$  sunt maxime. Aceasta evident numai static, fără a considera procesul tranzistoriu respectiv masa bobinei mobile. Totodată se constată experimental că în zona saturației inducția  $B$  depinde și ea de  $x$  și  $h$ . De aceea pentru a analiza variația forței funcție de  $x$  și  $h$  vom considera cazul dependenței liniare a inducției  $B$  de cîmp și cazul saturației.

a) Forță în domeniul linear.

Avînd  $B = \mu H$ , și exprimînd cîmpul prin relația cunoscută,

$$H = \frac{i_m w_m}{\epsilon}, \quad [\text{A} \cdot \text{sp}] \quad \text{și deci} \quad B = \frac{\mu}{\epsilon} i_m w_m, \quad \left[ \frac{\text{Wb}}{\text{m}^2} \right]; \quad (70)$$

pentru care s-a considerat permeabilitatea materialului feromagnetic infinită și unde

$i_m w_m$  - solenația bobinei de magnetizare.

Se observă deci, conform relației (70) că inducția este practic constantă pentru orice  $x$  și  $h$ ;

Inlocuind în relația (69), inducția cu valoarea din (70) se obține;

$$F = \frac{\mu \pi}{\epsilon} i_m w_m i_c w_1 h (D_m + 2x + \epsilon), \quad [N]; \quad (71)$$

Variata forței cu diametrul mediu al intrefierului ( $\epsilon$  = constant), de exemplu pentru cele două poziții extreme - la  $D_m$  și  $D_M$ , considerînd  $h$  neschimbăt este dată de raportul

$$\frac{F_M}{F_m} = \frac{D_M - \epsilon}{D_m + \epsilon}, \quad , \quad (72)$$

De exemplu pentru o construcție realizată acest raport este de cca 1,61.

Pentru cîmp se poate introduce și o relație în funcție de  $x$  [60] care conform figurii 52, ne dă

$$H = \frac{2 w_m \cdot i_m}{(D_m + 2x + \varepsilon) \ln(1 + \frac{2\varepsilon}{D_m + 2x})}, \quad \text{[Asp]} \quad (73)$$

și deci expresia (69) devine

$$F = \frac{2\pi \mu w_m i_m w_1 h_i c}{\ln(1 + \frac{2\varepsilon}{D_m + 2x})}, \quad [\text{N}]. \quad (74)$$

Se poate observa că forța crește cu  $x$  și  $h$  și în intervalul practic posibil pentru aceştia, nu are niciun extrem. Dacă  $h$  - constant, raportul forțelor pentru cele două poziții extreme ale întrefierului devine:

$$\frac{F_M}{F_m} = \frac{\ln(1 + \frac{2\varepsilon}{D_m})}{\ln(1 + \frac{2\varepsilon}{D_M})}, \quad (75)$$

care pentru aceeași construcție are valoarea 1,615. Rapoartele (72) și (75) se verifică experimental cu o eroare de max. 2%.  
(De altfel eroarea gaussmetrului era mai mare de 2,5%)

In domeniul linear, teoretic nu ar exista o limită a creșterii forței cu creșterea înălțimii  $h$  a bobinei mobile. Realmente însă, se știe că la valori mari pentru  $h$ , în comparație cu  $h_m$  (fig.52) cîmpul devine neuniform și greutatea bobinei mobile crește simțitor. De aceea înălțimea  $h$  trebuie limitată în funcție de aceste considerențe. După date practice se poate lua în medie  $h = 2 h_m$ .

In domeniul linear nu este însă satisfăcătoare utilizarea materialului circuitului magnetic constant a T.E.M. După date experimentale se constată că este mai avantajos să se lucre cu valori ale inducției în jurul celor corespunzătoare cotului curbelor B-H.

#### b) Forță în domeniul saturăției.

Inceperea saturăției schimbă valorile inducțiilor de  $x$  și  $h$ . Aceasta se poate observa din figura 53, în care sunt redante aceste curbe pentru două circuite magnetice;  $D_M = 82$  mm,  $D_m = 50$  mm,

$h = 32$  mm și  $h = 22$  mm pentru fiecare și  $\xi = 2$  mm, la toate patru variantele. Materialul feromagnetic folosit la confectionare a fost OLCIO.

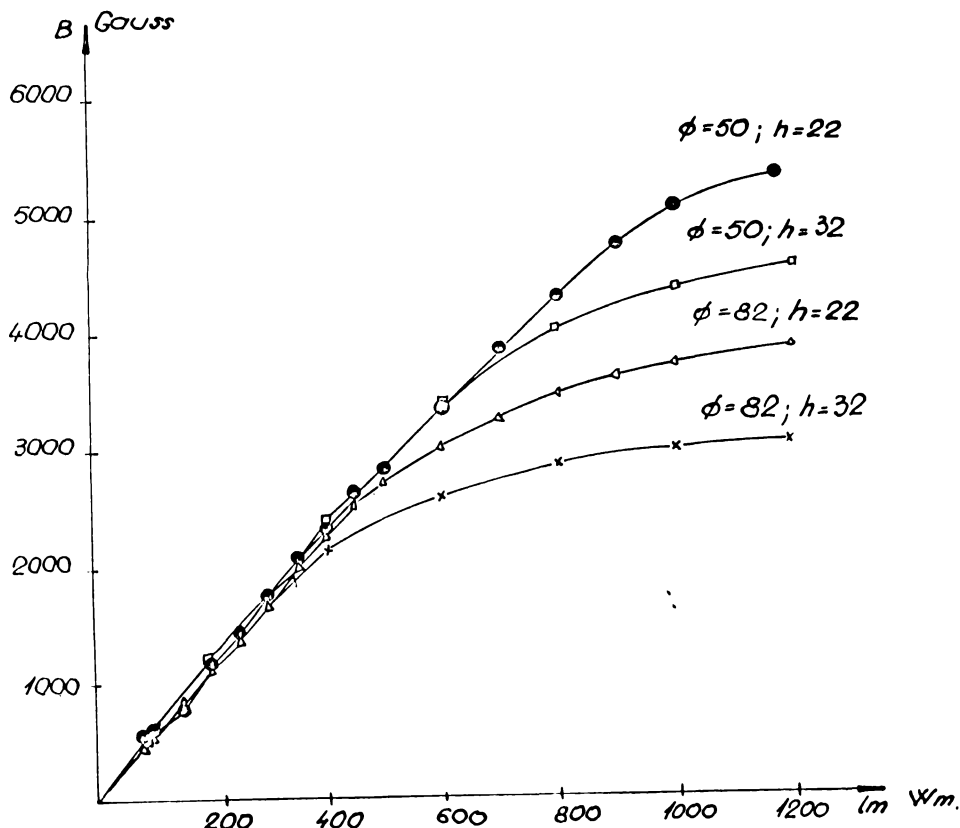


Fig.53. Curbele inducției magnetice.

Formele constructive reale a acestor circuite se observă din desenele la scară redată în figura 54.

Din curbele de magnetizare (fig.53) se observă că inducția în acest domeniu crește cu micșorarea diametrului mediu al întreierului, dar totuși raportul  $F_M/F_m$  se menține supraunitar pentru aceleși înălțimi  $h$ , de exemplu cu valorile :

$$\frac{F_M}{F_m} = 1,5 \dots 1,35 \quad (\text{pentru un } h \approx 3h_m)$$

sau

$$\frac{F_M}{F_m} = 1,4 \dots 1,2 \quad (\text{pentru un } h \approx 2h_m) \quad (76)$$

$$\frac{F_M}{F_m} = 1,4 \dots 1,2 \quad (\text{pentru un } h \approx 2h_m)$$

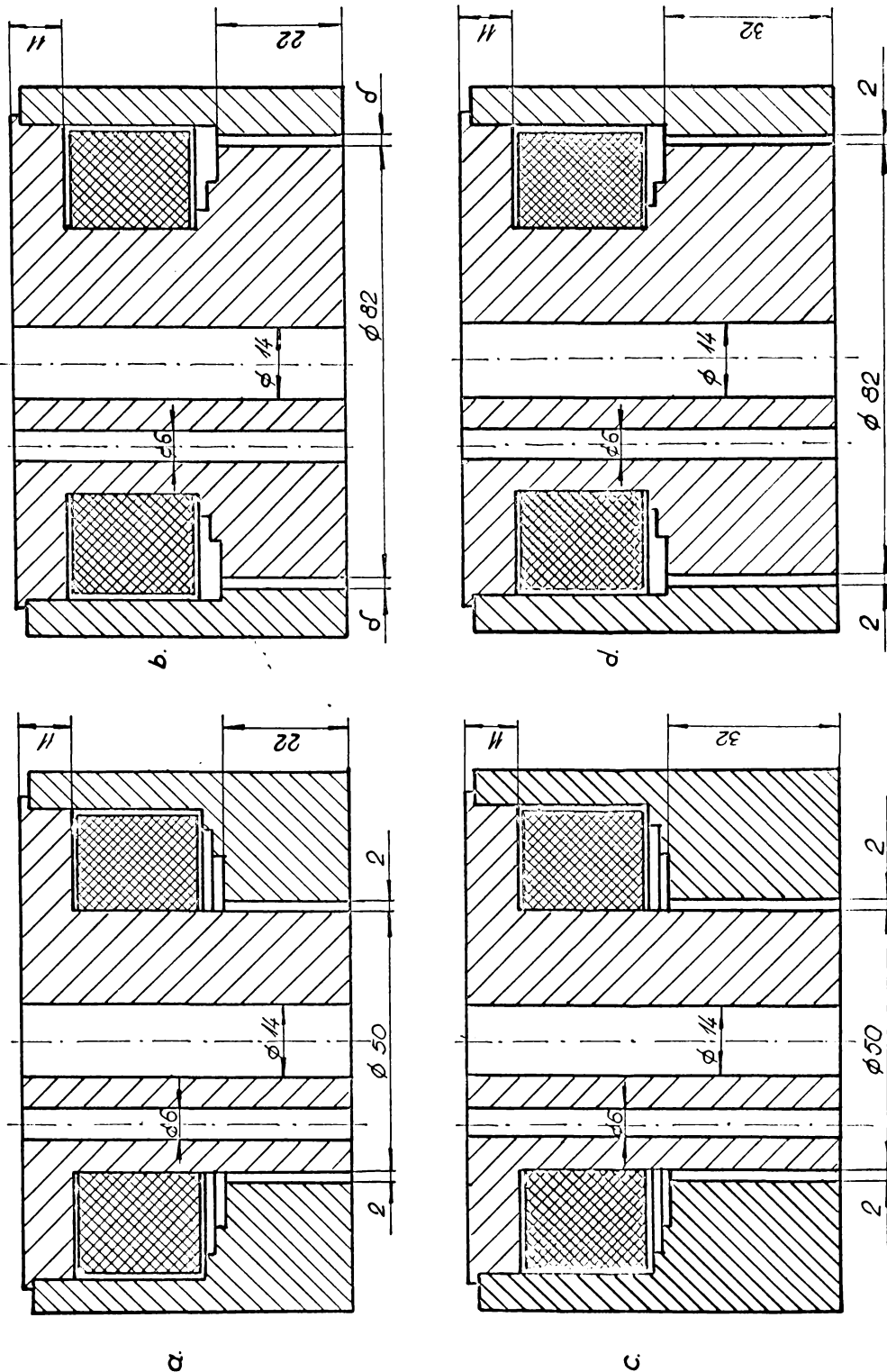


Fig. 54. Forme constructive reale ale circuitelor magnetice

La începerea saturăției inductia crește de asemenea odată cu micșorarea înălțimii  $h$ , după cum se observă din aceleasi curbe. Cu urmare forța nu va mai crește proporțional cu  $h$ , chiar în limitele acceptabile a acestuia, ci de exemplu în rapoartele

$$\frac{F_{id}}{F_m} = 1,34 \dots 1,26 \text{ (pentru } D_m) \text{ sau } \frac{F_M}{F_m} = 1,2 \dots 1,5 \text{ (pentru } D_M) \quad (77)$$

Din rapoartele (76) și (77) rezultă că este mai avantajos să se lucreze cu diametrul maxim al intrefierului și să se limiteze înălțimea  $h$ , în funcție de greutatea bobinei mobile, repartiția cimpului magnetic și calitățile dinamice care se impun T.E.M.

### 4.2.2. Determinarea parametrilor principali a sertării hidraulice

Acești parametri trebuie determinați astfel ca procesul tranzitoriu să aibă loc într-o durată imposabil prin proiectare și tot odată să fie satisfăcuți indicii de exploatare.

În cadrul acestora se deosebesc întîi dimensiunile sertarului comandat (de mutere). Acestea se stabilesc pe baza necesităților de execuție (motorul hidraulic alimentat de la sertar). În funcție de viteza și sarcina motorului hidraulic se stabilește diametrul, presiunea și deplasarea maximă  $\Delta$  față de poziția medie. Calculul acestora are loc pe baza relațiilor cunoscute care privesc sistemele hidraulice de urmărire. Pe baza lor, determinindu-se dimensiunile, se precizează masa și respectiv greutatea sertarului.

Durata tranzitorie  $t_1$  în s, a deplasării maxime  $\Delta$ , în m, a sertarului din poziția medie la una din extreame, asigurată construcțiv prin limitator la fine de cursă, se alege în funcție de cerințele de rapiditate a elementului de execuție, alimentat de la sertar.

Considerind aceste precizări drept condiții initiale se trece la determinarea parametrilor amintiți mai sus.

În acest scop se deosebesc două faze de funcționare:

a) Deplasarea sertarului în jos sub acțiunea debitului de comandă. Ea are loc cînd acul T.E.M. închide complet gaura de scurgere a fluidului de comandă.

b) Deplasarea sertarului în sus, care are loc sub acțiunea acului  $A$  al sertarului (fig.51), cînd acul T.E.M. deschide complet

gaura de scăpare a lichidului de comandă.

Pentru a deduce relațiile de proiectare vom considera succesiv aceste faze de funcționare.

a) Deplasarea sertarului în jos.

Considerăm că închiderea găurii de către acul T.E.M. are loc instantaneu. În realitate și acastă închidere se face într-o anumită durată [43]. Pentru simplificarea celor ce urmează vom considera însă că aceasta este practic nulă.

Conform celor precizate mai sus se notează:

$\Delta$  - deplasarea maximă, în m, a sertarului din poziția medie în una din extremități;

$t_1$  - durata tranzitorie, în s, a deplasării pe distanța  $\Delta$ .

Viteza medie va fi deci

$$v_m = \frac{\Delta}{t_1}, \quad [\frac{m}{s}]; \quad (78)$$

Deplasarea în jos, comprimînd arcul A e asigurată de debitul sursei de comandă.

Notăm:

$d_s$  - diametrul în m, al sertarului comandat;

$Q_p$  - debitul în  $\frac{m^3}{s}$ , a sursei care alimentează comanda.

Neglijînd pierderile prin neînșietăți, debitul  $Q_p$  rezultă din

$$Q_p = v_m \cdot \frac{\pi d_s^2}{4}, \quad [\frac{m^3}{s}]; \quad (79)$$

Tinînd seama de relația (78), relația pentru  $Q_p$  devine:

$$Q_p = \frac{\Delta}{t_1} \cdot \frac{\pi d_s^2}{4}, \quad [\frac{m^3}{s}]; \quad (80)$$

Presiunca maximă  $p_{pmax}$  - a aceleiași surse, respectiv pompă rezultă din egalitatea:

$$p_{pmax} \cdot \frac{\pi d_s^2}{4} = F_o + K\Delta = F_A; \quad (81)$$

în care

$F_A$  este forța în N a arcului A, la un moment dat a deplasării sertarului;

$F_o$  - forța în N a arcului A, în poziția medie a sertarului;

K - rigiditatea arcului A, în  $\frac{N}{m}$ .

Din (81) rezultă

$$p_{pmax} = 4 \cdot \frac{F_o + K\Delta}{\pi d_s^2}, \quad [\frac{N}{m^2}] \quad ; \quad \boxed{\begin{array}{l} \text{INSTITUL POLITECNIC} \\ \text{TEHNICOAR} \\ \text{TEHNICA CENTR} \end{array}} \quad (82)$$

Forța  $F_o$  se determină din ecuația de echilibru a sertarului, ținând cont că întregul element funcționează în poziție verticală. Adică,

$$F_o = \frac{\pi d_s^2}{4} p_c + G_T , [N]; \quad (83)$$

în care:

$p_c$  este presiunea de comandă, în  $\frac{N}{m^2}$ ;

$$G_T = G_s + G_l + \frac{G_A}{2} , [N]; \quad (84)$$

și unde

$G_s$  este greutatea sertarului, în N;

$G_l$  - greutatea lichidului susținut de arcul A, în N;

$\frac{G_A}{2}$  - cota parte din greutatea arcului A, în N, apreciată că trebuie susținută de arcul A.

Cu relațiile (80) și (82), în care  $F_o$  e dat de expresia (83) se proiectează sursa de alimentare pentru lichidul de comandă.

Se mai observă că în relația (82) intervine rigiditatea K a arcului sertarului. Aceasta se va determina în următoarele, în fază a două de funcționare a sertarului.

### b) Deplasarea sertarului în sus.

Se consideră că deschiderea găurii de către acul T.E.M. are loc instantaneu și că presiunea de comandă  $p_c$  scade brusc. Realmente ridicarea acului are loc într-o anumită durată [43]. Eroarea care se introduce prin neglijarea acestei durate se va corecta în cele de mai jos prin introducerea unui coeficient, suficient de exact pentru proiectare.

Că urmăre se consideră că deschiderea găurii și începutul mișcării sertarului are loc la timpul  $t = 0$ .

Duratele tranzitorii la deplasarea sertarului în ambele faze respectiv sensuri, trebuie să fie egale, de asemenea mărimile deplasărilor. Deci și la această fază, dacă notăm cu

$$\begin{aligned} x &= \text{deplasarea curentă în m, a sertarului, atunci pentru} \\ t = 0 &; \quad x = 0 \text{ și respectiv la } \} \\ t = t_1; \quad x = \Delta & \end{aligned} \quad (85)$$

Acestea constituie în fond condițiile initiale a mișcării sertarului în această fază.

Ecuatia de mișcare a sertarului pentru

$$0 \leq t \leq t_1$$

$$\text{este } m_T \frac{d^2x}{dt^2} = F_A - F_{cp} - F_f \quad (86)$$

în care

$m_T$  este masa totală în kg, deci  $m_T g = G_T$ ;

$F_A$  - forța arcului, în N ;

$F_{cp}$  - forța în N a contrapresiunii hidraulice care ia naștere la împingerea lichidului prin gaura deschisă a acului;

$F_f$  - forța de frecare în N a sertarului în bucășă.

Tinând cont că astfel de construcții se realizează cu sertar rotitor, se elimină frecarea de repaus și forțele de frecare pot fi practic neglijate chiar și la începutul mișcării, deci

$$F_f \approx 0.$$

Forța arcului este dată de,

$$F_A = F_0 - Kx, \quad [N]; \quad (87)$$

Forța contrapresiunii

$$F_{cp} = \frac{\pi d_s^2}{4} p_{cp}, \quad [N]; \quad (88)$$

Contrapresiunea  $p_{cp}$  rezultă din:

$$p_{cp} = \gamma_{sp} \xi \frac{v_1^2}{2g}, \quad \left[ \frac{N}{m^2} \right]; \quad (89)$$

în care

$\gamma_{sp}$  este greutatea specifică a uleiului, în  $\frac{N}{m^3}$  ;

$\xi$  - coeficientul de rezistență locală ;

$v_1$  - viteza lichidului prin gaura complet deschisă, în  $\frac{m}{s}$  ;

$g$  - acceleratia gravitațională, în  $\frac{m}{s^2}$  .

Viteza lichidului  $v_1$  se obține conform celor menționate mai sus din :

$$v_1 \frac{\pi d_a^2}{4} = \left( \frac{dx}{dt} \right) \frac{\pi d_s^2}{4} + Q_p, \quad (90)$$

în care;

$\frac{dx}{dt}$  este viteza de deplasare a sertarului ;

$d_a$  - diametrul acului, respectiv a găurii în m.

Ca urmare și debitul sursei, tinând cont de (80) se poate scrie aproximativ și în forma :

$$Q_p = \left( \frac{dx}{dt} \right) \frac{\pi d_s^2}{4}, \quad \left[ \frac{m^3}{s} \right]; \quad (90')$$

- 104 -

- DM -

Inlocuind în (67) rezultă

$$v_1 \frac{\pi d_a^2}{4} = \left( \frac{dx}{dt} \right) \frac{\pi d_s^2}{4} + \left( \frac{dx}{dt} \right) \frac{\pi d_s^2}{4} = 2 \left( \frac{dx}{dt} \right) \frac{\pi d_s^2}{4}$$

sau

$$v_1 = 2 \left( \frac{d_s}{d_a} \right)^2 \frac{dx}{dt}, \quad [ \frac{m}{s} ]; \quad (91)$$

Inlocuind în (89) se obține

$$v_{cp} = 2 f_{sp} \frac{\xi}{g} \left( \frac{d_s}{d_a} \right)^4 \left( \frac{dx}{dt} \right)^2, \quad [ \frac{N}{m^2} ]; \quad (92)$$

și deci forța contrareuniunii :

$$F_{cn} = 2 \frac{\pi d_s^2}{4} \cdot \frac{f_{sp} \xi}{g} \left( \frac{d_s}{d_a} \right)^4 \left( \frac{dx}{dt} \right)^2, \quad [ N ]; \quad (93)$$

Notându cu

$$\beta = 2 \frac{\pi d_s^2}{4} \frac{f_{sp} \xi}{g} \left( \frac{d_s}{d_a} \right)^4, \quad [ \frac{Ns^2}{m^2} ]; \quad (94)$$

expresia (93) devine

$$F_{cp} = \beta \left( \frac{dx}{dt} \right)^2, \quad [ N ] \quad . \quad (95)$$

Inlocuind în ecuația (86) pe  $F_A$  și  $F_{cn}$  cu valorile lor din (87) și (95) se obține :

$$m_T \frac{d^2x}{dt^2} = F_o - Kx - \beta \left( \frac{dx}{dt} \right)^2$$

sau după transformări

$$\frac{d^2x}{dt^2} + \frac{\beta}{m_T} \left( \frac{dx}{dt} \right)^2 + \frac{K}{m_T} x - \frac{F_o}{m_T} = 0. \quad (96)$$

Se notează

$$\left\{ \begin{array}{l} \frac{\beta}{m_T} = a, \quad [ \frac{1}{m} ]; \\ \frac{K}{m_T} = b, \quad [ \frac{N}{m \cdot s^2} ] \text{ sau } [ \frac{1}{s^2} ] \\ \frac{F_o}{m_T} = c, \quad [ \frac{m}{s^2} ] \end{array} \right. \quad (97)$$

și ecuația (96) devine

$$\ddot{x} + a (\dot{x})^2 + bx - c = 0 \quad (98)$$

In baza acestei ecuații trebuie să se determine și ceilalți parametrii constructivi optimi ai părții hidraulice respectiv

$F_0$ ,  $K$ ,  $\frac{dS}{da}$ ,  $p_a$ , etc. Conform notațiilor (94) și (97) acesta înseamnă, a determina respectiv valorile optime a coeficienților  $a$ ,  $b$  și  $c$  din ecuația mișcării (98). E necesar deci rezolvarea acesteia.

Integrarea completă a ecuației (98) este însă foarte dificilă și duce la relații mult prea complicate. De altfel legea mișcării  $x = f(t)$  nu poate fi determinată decât prin metode aproximative. De aceea se va proceda la determinarea valorilor optime pornind de la ecuația vitezei, a cărei expresie rezultă întrucâtva mai simplă.

Dacă notăm

$$x = \frac{c}{b} + y ; \text{ atunci } \dot{x} = \dot{y} ; \quad \ddot{x} = \ddot{y} ;$$

atunci (98) devine :

$$\ddot{y} + a\dot{y}^2 + by = 0 \quad (98')$$

Notând apoi

$$\dot{y}^2 = v^2 ; \text{ căci } \dot{x} = \frac{dx}{dt} = \dot{y} ;$$

atunci

$$\ddot{y}dy = \frac{1}{2} d(\dot{y}^2)$$

și prin urmare se obține  $\ddot{y} = \frac{1}{2} - \frac{dv^2}{dy}$  ;

Inlocuind în (98'), rezultă

$$\frac{1}{2} \frac{dv^2}{dy} + av^2 = - by ; \quad (98'')$$

Făcând substituția  $v^2 = z$  și rezolvând ecuația diferențială astfel obținută rezultă,

$$z = v^2 = e^{-\int 2ady} \cdot \left[ - \int 2bye^{\int 2ady} dy + c_1 \right] ;$$

sau

$$v^2 = C_1 e^{-2ay} - \frac{b}{a} \left[ y - \frac{1}{2a} \right] ; \quad (99)$$

Constanta de integrare  $C_1$  se determină cu prima condiție

(85) respectiv  $t = 0$ ;  $x = 0$ ;  $y = -\frac{c}{b}$ ;  $v = 0$ , rezultând

$$C_1 = -\frac{2ac + b}{2a^2} \cdot e^{\frac{-2ac}{b}} . \quad (100)$$

Tinând cont că

$$y = x - \frac{c}{b}$$

și considerând (100) expresia (99) a vitezei devine ;

$$v = \frac{dx}{dt} = \sqrt{\frac{b+2ac}{2a^2} \cdot \left(1 - \frac{1}{e^{2ax}}\right) - \frac{b}{a} x}, \quad [m], \quad (101)$$

Conform celor menționate integrarea prin serii a funcției (101) e foarte complicată, deoarece pentru valorile lui  $0 \leq x \leq \Delta$  sau a exponentului  $0 \leq 2ax \leq 2a\Delta$ , ultimul capătă valori  $2a\Delta \gg 1$ . De aceea se vor efectua raționamentele pe baza funcției (101).

Valoarea maximă a funcției în intervalul precizat rezultă făcând

$$\frac{dv}{dx} = \frac{d^2x}{dt^2} = 0 \text{ sau } \frac{b+2ac}{2a^2} \cdot 2ae^{-2ax_M} - \frac{b}{a} = 0$$

din care

$$x_M = \frac{1}{2a} \ln \left( 1 + \frac{2ac}{b} \right), \quad [m]; \quad (102)$$

Valoarea maximă  $v_M$  corectă, a vitezei, va fi :

$$v_M^2 = \frac{b}{2a^2} \ln \frac{e^{\frac{1+2ac}{b}}}{b+2ac} - \frac{b+2ac}{2a^2} \cdot e^{-\ln(1+\frac{2ac}{b})}; \quad (103)$$

Această expresie relativ complicată se poate simplifica neglijînd termenul al doilea. Eroarea comisă prin aceasta  $\epsilon_2 < 0,2\%$  și frecvent  $\epsilon_{2\max} \approx 0,15\%$

Deci se poate scrie:

$$\begin{aligned} v_M^2 &= \frac{b}{2a^2} \ln \frac{be^{\frac{1+2ac}{b}}}{b+2ac} \cdot \left( \frac{m}{s} \right)^2; \\ \text{sau} \quad v_M^2 &= \frac{b}{2a^2} \ln \frac{e^{\frac{1+2ac}{b}}}{1 + \frac{2ac}{b}}, \left( \frac{m}{s} \right)^2; \end{aligned} \quad (104)$$

Expresia astfel obținută se mai poate simplifica.

Efectuindu-se logaritmarea se obține

$$v_M^2 = \frac{b}{2a^2} \left[ 1 + \frac{2ac}{b} - \ln \left( 1 + \frac{2ac}{b} \right) \right] \cdot \left( \frac{m}{s} \right)^2$$

Se poate arăta ușor, pentru construcții obișnuite că

$$\frac{2ac}{b} \gg 1 \text{ și } \ln \left( 1 + \frac{2ac}{b} \right) \ll \frac{2ac}{b}; \quad (105)$$

Că urmăre se poate neglija în raport  $\frac{2ac}{b}$  și  $1$  și  $\ln(1 + \frac{2ac}{b})$ . Eroarea va fi mai mică dacă se negligează ambii termeni, deoarece semnele lor sunt contrare. Având apoi

$$\ln \left( 1 + \frac{2ac}{b} \right) > 1$$

rezultă că prin această simplificare se admite o nouă eroare în plus a valorii  $v_M$ , care de același mod, pentru valori normale ale construcției nu depășește 1,5% și în general  $\epsilon_1 < 2\%$ . Cu aceste simplificări expresia (104) devine

$$v_M^2 = \frac{c}{a}, \quad \left(\frac{m}{s}\right)^2 ; \quad (106)$$

Graficul curbei vitezei conform legii (101) este reprezentat în figura 55.

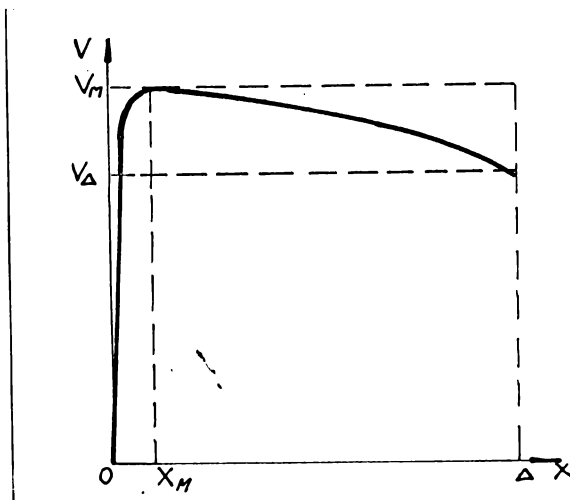


Fig.55. Curba de variație a vitezei  $v$

Se menționează că, de același mod, pentru valori uzuale ale parametrilor constructivi se obține  $x_M \ll \Delta$ . Partea principială a curbei vitezei rămîne deci pentru intervalul

$$x_M \ll x \ll \Delta \quad \text{în care} \quad \frac{1}{c^{2ax}} \rightarrow 0 ,$$

deoarece în acest interval  $2ax \gg 1$ . În consecință funcția (101) se poate scrie pentru

$$x_M \ll x \ll \Delta , \quad v = \frac{dx}{dt} = \sqrt{\frac{b+2ac}{2a^2} - \frac{b}{a}x}, \quad \left[\frac{m}{s}\right] ; \quad (107)$$

De altfel însuși pentru  $x_M$ , diferența relativă obținută pe baza relației (101) respectiv (103) pentru  $v_M$  și pe baza relației (107) este foarte mică, de ordinul a cca 0,25%, ceea ce permite aprecierea curbei cu expresia (107), chiar în jurul valorii  $x_M$ .

28

Referitor la domeniul de existență a funcției viteză, se observă că pentru  $x \in (0, \Delta)$  trebuie ca  $v > 0$  și deci

$$\frac{b + 2ac}{2a^2} - \frac{b}{a} x > 0.$$

Din această condiție pentru  $x = \Delta_{\max}$ , rezultă valoarea limită maximă pe care o poate avea deplasarea  $\Delta$  a sertarului, adică;

$$\Delta_{\max} < \frac{b + 2ac}{2ab}, [m]; \quad (108)$$

sau ținând cont de notațiile (97) rezultă :

$$\Delta_{\max} < \frac{m_T}{2} + \frac{F_o}{K}, [m]. \quad (109)$$

Mărimea  $\Delta$ , determinată din condițiile impuse de elementul de execuție trebuie deci să satisfacă inegalitatea (109).

Un parametru limitativ important pentru funcționare este viteza lichidului prin gaura complet deschisă a acului -  $v_1$ .

Valoarea maximă  $v_{1\max}$  a acestuia rezultă din ecuația de continuitate (91), considerind valoarea maximă  $v_M$  a vitezei  $v$  a sertarului, adică

$$v_{1\max}^2 = 4 \left( \frac{d_s}{d_a} \right)^4 v_M^2; \quad (110)$$

sau conform expresiei (106), a vitezei maxime :

$$v_{1\max}^2 = 4 \left( \frac{d_s}{d_a} \right)^4 \frac{c}{a}, \quad (111)$$

din care se poate determina coeficientul  $c$ , sau conform notațiilor (97), forța inițială  $F_o$  necesară. Adică

$$c = \frac{F_o}{m_T} = \frac{v_{1\max}^2}{4} \cdot \left( \frac{d_a}{d_s} \right)^4 \cdot a, \left[ \frac{m}{s^2} \right]; \quad (112)$$

Inlocuind pe  $a$  conform relațiilor (97) și notând în (94)

$$2 \frac{\pi d_s^2}{4} \cdot \frac{f_{sp} \xi}{g} = \delta, \left[ \frac{N \cdot s^2}{m^2} \right]; \quad (113)$$

și respectiv

$$\beta = \delta \left( \frac{d_s}{d_a} \right)^4, \left[ \frac{N \cdot s^2}{m^2} \right]; \quad (114)$$

relația forței  $F_o$  din (112) va deveni :

$$F_o = \frac{v_{1\max}^2}{4} \delta, [N]; \quad (115)$$

și în care toate mărimile sunt cunoscute.

Viteza maximă a lichidului -  $v_{lmax}$  -, se poate admite mai mare decât vitezele limită din orificiile aparatelor hidraulice, dat fiind timpul scurt în care se menține această valoare, și frecvența redusă a deplasărilor sertarului la deschiderea completă a găurii acului.

Pentru a determina rigiditatea  $K$  a arcului A, respectiv coeficientul  $b$ , conform notațiilor (97), este necesar să se îmouă anumite condiții.

Se observă că pentru valori mari a rigidității  $K$ , forța arcului va scădea mai rapid în timpul destinderii, abscisa  $x_M$ , dată de (102) va fi mai mică iar viteza va scădea mai accentuat după abscisa  $x_M$ . Valoarea mai mică a lui  $x_M$  și existența unei accelerări negative mai mari pentru  $x > x_M$  favorizează realizarea de către sertar a unui proces tranzitoriu monoton pentru deplasări  $x < \Delta$  care sunt evident mai frecvente. Din acest punct de vedere, valoarea maximă a rigidității  $K$  este limitată de condiția (109).

La valori mici ale rigidității  $K$ , forța arcului va scădea mai încet în timpul destinderii, viteza va scădea foarte puțin după abscisa  $x_M$ , care la rîndul său se va mări. Ca urmare, sertarul va avea tendința către sunrareglări mărite, diminuându-se calitatea procesului tranzitoriu, mai ales pentru deplasări necesare, sensibil mai mici decât  $\Delta$ . Totodată va crește șocul la oprirea sertarului în limitatorul superior ( $x = \Delta$ ). Aceste raționamente pot fi urmărite pe graficul din figura 56, în care s-a considerat aceeași valoare  $v_M$ , conform relației (106).

Se observă că pentru deplasări mari, în apropierea mărimii  $\Delta$ , cu rigidități minime se realizează durate tranzitorii mai scurte. Dar deplasările maxime ale sertarului sunt mai puțin frecvente. Pentru a îmbina partiale avantajele și dezavantajele celor două situații extreme, se consideră ca rigiditate optimă, aceea pentru care se satisfacă condiția

$$v_\Delta \approx 0,5 v_M \quad (116)$$

în care

$v_\Delta$  este valoarea vitezei pentru  $x = \Delta$ .

La faza de deplasare în jos a sertarului, cînd acul închide complet gaura, o rigiditate maximă a arcului A asigură o mai bună conducere a mișcării sertarului împreună cu forța presiunii

—30—

închidului de comandă, însă la o bobină diferențială sau alimentată cu tensiune de semn schimbabil, crește și forța pe care trebuie să o dezvolte T.E.M., deci dimensiunile acestuia și puterea semnalului electric de comandă.

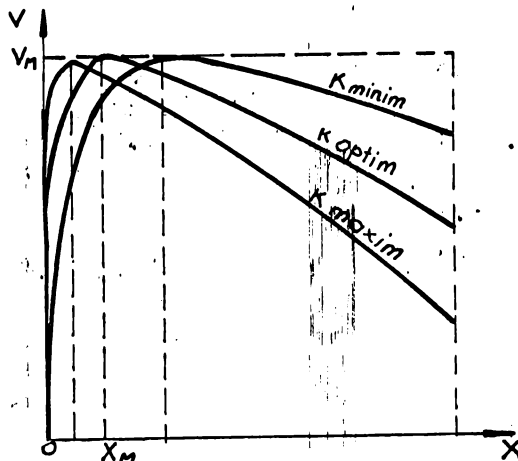


Fig.56. Variatia vitezei  $v$  in functie de rigiditatea arcului

O rigiditate minimă a aceluiași arc la această fază, permite un gabarit minim a T.E.M. și o putere redusă a semnalului electric de comandă, dar scade stabilitatea și precizia deplasării sertarului influențându-se negativ calitățile procesului transitorii. Rezultă că și, pentru această fază de deplasare în jos a sertarului este mai acceptabilă o rigiditate intermediară, respectiv este indicat să se recurgă la aceiasi condiție (116).

Deoarece se consideră deplasări  $x > x_M$ , se va utiliza funcția (107) pentru valoarea  $v_A$  din condiția (116). Înlocuind apoi în aceeași condiție (116), pe  $v_M$  din expresia (106), se obține;

$$\frac{b + 2ac}{2a^2} - \frac{b}{a}\Delta = 0,25 \frac{c}{a}. \quad (117)$$

Rezolvând această ecuație în raport cu  $b$  rezultă;

$$b = \frac{3}{2} \frac{ac}{(2a\Delta - 1)}, \quad \left[ \frac{1}{s} \right]. \quad (118)$$

Deoarece  $2a\Delta \gg 1$  relația (118) se mai poate simplifica admitând o eroare suplimentară relativă de maximum 1,5 % pe lungă

cea introdusă prin expresia simplificată (106) pentru  $v_M^2$  de același sens, de altfel, cu eroarea funcției (107), eroare cu care se compensează parțial. Totodată influența acestor erori este neglijabilă, dat fiind circumstanțele prin care s-a introdus condiția (116). Se obține astfel:

$$c = \frac{3c}{4\Delta} \cdot \left[ \frac{1}{s^2} \right]; \quad (119)$$

Conform notațiilor (97) pentru c și expresiei (115) pentru  $F_o$ , c are valoarea

$$c = \frac{v_{1\max}^2}{4m_T \Delta} \delta, \left[ \frac{N}{s^2} \right]; \quad (120)$$

iar relația (119) devine:

$$c = \frac{3}{16} \frac{v_{1\max}^2}{m_T \Delta} \delta, \left[ \frac{1}{s^2} \right] \quad (121)$$

sau conform (97) pentru

$$K = \frac{3}{16} \frac{v_{1\max}^2}{\Delta} \delta, \left[ \frac{N}{m} \right]. \quad (122)$$

Este utilă pe baza relației (115) și exprimarea în funcție de  $F_o$ , adică

$$K = \frac{3}{4} \frac{F_o}{\Delta}, \left[ \frac{N}{m} \right]. \quad (123)$$

Totodată această valoare pentru rigiditatea K este limitată de o valoare  $K_{\max}$ , dedusă din condiții statice. Astfel după deplasarea sertarului pe distanță maximă  $x = \Delta$ , arcul A trebuie să mai disponă de o forță  $F_A = F_o - K_{\max} \Delta$ , care să poată susține sertarul, respectiv greutatea totală și chiar să-l apese cu o forță redusă pe limitatorul superior. Se consideră suficient că această forță de apăsare să fie cel puțin 0,1 ( $F_o + G_T$ ).

Matematic trebuie deci ca,

$$F_o - K_{\max} \cdot \Delta \geq 0,1 (F_o + G_T), \quad (124)$$

din care rezultă

$$K_{\max} \leq \frac{0,9F_o - 0,1G_T}{\Delta}, \left[ \frac{N}{m} \right]. \quad (125)$$

Tinând cont de valoarea (123) a lui K conform condiției (125) înseamnă că

$$\frac{3}{4} \frac{F_o}{\Delta} < \frac{0,9 F_o - 0,1 G_T}{\Delta}$$

$G_m < 1,5 F_o$ ; (126)

aceea condiție este evident îndeplinită, după cum rezultă din relația (83). Prin urmare calculul rigidității  $K$  cu relațiile (122) sau (123) este corespunzător.

Pentru determinarea diametrului  $d_a$  al acului, respectiv în prealabil a raportului  $d_a/d_s$ , este hotărâtă viteza de curgere a fluidului -  $v_1$  - prin gaura acului, în această fază de deplasare a sertarului în sus, cind arcul A se destinde, iar gaura acului este complet deschisă. Adică trebuie determinat conform relației (114)

$$\left(\frac{d_a}{d_s}\right)^4 = \frac{\mathcal{J}}{\beta}$$

sau ținând cont de prima notație din (97)

$$\left(\frac{d_a}{d_s}\right)^4 = \frac{\mathcal{J}}{a m_T} , \quad (127)$$

respectiv trebuie determinat coeficientul  $a$ , fiind cunoscute  $\mathcal{J}$  și  $m_T$ .

Deoarece viteza  $v_1$ , respectiv  $d_a$ , este determinată de timpul de deplasare a sertarului de la  $x = 0$  la  $x = \Delta$  se va stabili valoarea coeficientului  $a$ , astfel ca deplasarea sertarului pe distanța  $\Delta$  să se efectueze în durata tranzitorie impusă  $t_1$ .

In acest scop ar trebui considerată legea spațiului  $x = f(t)$ , care se obține din integrarea în raport cu timpul a ecuației exacte a vitezei (107). După cum s-a precizat însă, aceasta nu se poate integra suficient de exact iar relațiile ar rezulta foarte complicate. De aceea pentru determinarea lui a se recurge la egalitatea vitezelor medii.

Pentru simplificarea integrării expresiei vitezei medii se va considera funcția (107). Neglijarea termenului cu  $e^{-2ax}$ , înseamnă a admite ca porțiunea de curbă a vitezei pentru  $0 < x < x_M$  este cea reprezentată cu linie întreruptă în figura 57, diferență pentru  $x > x_M$  fiind neglijabilă. Valoarea  $v_0$ , pentru  $x = 0$ , depășește  $v_M$  cu maximum 2%. Aceasta înseamnă a considera o viteză medie cu puțin mai mare decât cea corespunzătoare curbei corecte a vitezei, ceea ce este acoperitor pentru determinarea coeficientului  $a$  din egalitatea vitezelor medii.

Matematic înseamnă deci că a va rezulta corespunzător din egalitatea

$$v_m = \frac{1}{\Delta} \int_0^\Delta v(x) dx = \frac{\Delta}{t_1} \text{ sau } \int_0^\Delta v(x) dx = \frac{\Delta^2}{t_1}; \quad (128)$$

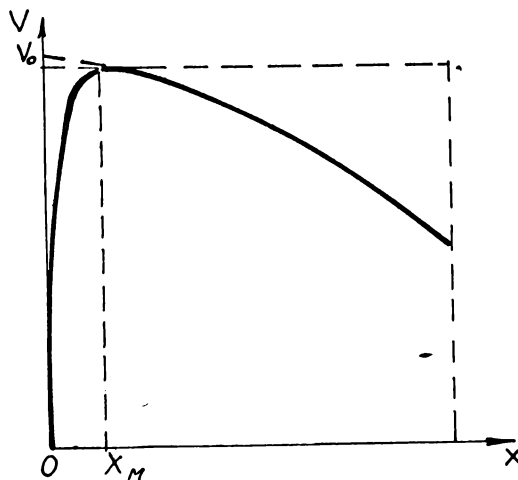


Fig.57. Variatia vitezei  $v$  neglijind termenul  $e^{-2ax}$   
Conform functiei (107) egalitatea devine

$$\int_0^A \sqrt{\frac{b + 2ac}{2a^2} - \frac{b}{a} x} \cdot dx = \frac{\Delta^2}{t_1} \quad (129)$$

Efectuind integrarea rezulta urmatoarea ecuatie in a

$$\left( \frac{b + 2ac}{2a^2} \right)^{\frac{3}{2}} - \left( \frac{b + 2ac}{2a^2} - \frac{b}{a} \Delta \right)^{\frac{3}{2}} = \frac{3}{2} \frac{b \Delta^2}{a t_1} \quad (130)$$

in care restul parametrilor sunt cunoscuti sau determinati ca mai sus.

Inlocuind b cu valoarea data de (119) si efectuind calculele se obtine

$$\sqrt{\frac{c}{a}} \left[ \left( 1 + \frac{3}{8a\Delta} \right)^{\frac{3}{2}} - \left( \frac{1}{4} + \frac{3}{8a\Delta} \right)^{\frac{3}{2}} \right] = \frac{9}{8t_1} \quad (131)$$

din care trebuie gasit coeficientul a.

O posibilitate pentru rezolvare, consta in dezvoltarea in serie a binomialor;

$$\left( 1 + \frac{3}{8a\Delta} \right)^{\frac{3}{2}} \text{ si } \left( \frac{1}{4} + \frac{3}{8a\Delta} \right)^{\frac{3}{2}}$$

in care este satisfăcută condiția

$$\frac{3}{8a\Delta} \ll \frac{1}{4} < 1 \quad (132)$$

Preluind din dezvoltările în serie numai primii doi termeni de la fiecare se obține

$$\sqrt{\frac{c}{a}} \left( \frac{7}{8} + \frac{9}{32a\Delta} \right) = \frac{9\Delta}{8t_1} \quad (131')$$

Operind în continuare și ordonând după puterile lui a se obține ecuația

$$16\Delta a^3 - 9,6721\Delta^2 t_1^2 c a^2 - 6,222\Delta t_1^2 c a - t_1^2 c = 0; \quad (131'')$$

în care  $\Delta$  și  $t_1$  sunt date iar c se determină cu (120).

Cind se obține un caz numeric concret, ecuația (131'') se poate rezolva relativ ușor, cu toate că valorile coeficientilor (mărimi exprimate în SI) sunt destul de incomode. Obținerea încă a unei relații generale pentru determinarea coeficientului a din ecuația (131'') este foarte inoperantă.

Pentru obținerea unei relații generale mai simple a coefficientului a se va reconsidera ecuația (131). Al doilea termen al binoamelor, ținând cont de (132) se poate neglija și deci expresia (131) devine;

$$\sqrt{\frac{c}{a}} \left( 1 - \frac{1}{8} \right) = \frac{9\Delta}{8t_1}$$

și operind în continuare rezultă,

$$a = \left( \frac{7}{9} \right)^2 c \left( \frac{t_1}{\Delta} \right)^2, \left[ \frac{1}{m} \right]; \quad (133)$$

expresie care este mult mai simplă și suficient de exactă. Introducind-o în (127) și înlocuind pe c conform notației din (97) rezultă

$$\left( \frac{d_a}{d_s} \right)^2 = \frac{9}{7} \frac{\Delta}{t_1} \sqrt{\frac{f}{F_o}}; \quad (134)$$

In continuare  $F_o$  se poate înlocui cu (115) și efectuind calculele rezultă

$$\left( \frac{d_a}{d_s} \right)^2 = \frac{18}{7} \frac{\Delta}{t_1 v_{lmax}}$$

sau

$$d_a = 1,6 d_s \sqrt{\frac{\Delta}{t_1 v_{lmax}}}, [m]; \quad (135)$$

Formula (135) permite determinarea diametrului acului  $d_a$ , astfel ca să se realizeze durata tranzitorie impusă pe distanță maximă de deplasare, respectiv viteza medie  $v_m = \frac{\Delta}{t_1}$ , relația (78)

Această determinare se face în ipoteza simplificatoare admisă inițial, că presiunea de comandă  $p_c$  dispare brusc, respectiv acul deschide gaura instantaneu, ceea ce după cum s-a precizat nu este riguros exact. Existând o durată de deschidere completă a găurii, chiar la o comandă electrică în salt unitar, viteza sertarului va crește mai lent pînă la atingerea valorii maxime -  $v_{lmax}$  -, ca urmare și viteza sa medie -  $v_{lmed}$  - va fi cu puțin mai mică. De aceea pentru a compensa durata tranzitorie la ridicarea acului se introduce o mărire cu 25% a diametrului acului, respectiv a găurii și deci (135) devine

$$d_a = 2d_s \sqrt{\frac{\Delta}{t_l v_{lmax}}} , [m] ; \quad (136)$$

Pentru proiectare mai este necesar să se stabilească presiunea de comandă  $p_c$ . Valoarea acesteia rezultă egalind expresia (83) cu expresia (115) a aceleiași forțe în funcție de  $v_{lmax}$  admisă. Adică

$$F_o = \frac{\pi d_s^2}{4} p_c + G_T = \frac{v_{lmax}^2}{4} \delta , [N] \quad (137)$$

operind rezultă

$$p_c = \frac{v_{lmax}^2 \delta - G_T}{\pi d_s^2} , \left[ \frac{N}{m^2} \right] , \quad (138)$$

în care toate mărimile sunt cunoscute,  $\delta$  fiind dat de relația (113).

Pe baza celor demonstrate mai sus, se pot deci stabili principaliii parametrii necesari la proiectarea acestor amplificatoare, astfel ca să funcționeze în condiții corespunzătoare cu indicii prevăzuți.

Proiectarea se efectueză după următoarea metodică.

- Se determină diametrul sertarului  $d_s$  și deplasarea maximă  $\Delta$ , se impune anoi conform necesităților durata  $t_l$  și se aproximează  $G_T$ , deci  $G_1$ ,  $G_s$  și  $G_A$ . Se admite  $v_{lmax}$  și se apreciază coeficientul rezistenței locale  $\xi$ .

- Se determină  $\delta$  cu relația (113) apoi  $F_o$  cu relația (115);
- Se calculează rigiditatea  $K$  a arcului A cu relația (122) sau (123) și se verifică inegalitatea (126);
- Cu relația (136) se află  $d_a$ ;
- Se verifică apoi condiția (109) și respectiv dacă  $\Delta < \Delta_{max}$ ;
- Cu relația (138) se determină presiunea de comandă  $p_c$ , iar cu relația (82) presiunea maximă pe care trebuie

să o dea sursa (pompa) pentru debitul de comandă. Debitul acesteia se determină cu relația (57), care se rotunjește în sus corespunzător pierderilor prin neetanșeitate.

Se proiectează T.E.M. ținând cont de rapoartele (53) și (54) precum și de relația (43).

Exemplu numeric.

$$d_s = 1,6 \cdot 10^{-2} \text{ m} ; \Delta = 2 \cdot 10^{-3} \text{ m} ; t_1 = 6 \cdot 10^{-2} \text{ s} ; v_{1\max} = 20 \frac{\text{m}}{\text{s}} ;$$

$$G_T = 5 \text{ N} ; \xi = 2,2 ; \delta = 0,8 \frac{\text{N}}{\text{s}^2} ; F_0 = 80 \text{ N} ; K = 3 \cdot 10^4 \frac{\text{N}}{\text{m}} ;$$

$$K < K_{\max} = 3,58 \cdot 10^4 \frac{\text{N}}{\text{m}} ; d_a = 1,3 \cdot 10^{-3} \text{ m} ;$$

$$\Delta_{\max} = 2,68 \cdot 10^{-3} \text{ m} > \Delta = 2 \cdot 10^{-3} \text{ m} ; p_c = 37,3 \cdot 10^4 \frac{\text{N}}{\text{m}^2} =$$

$$= 3,8 \text{ kgf/cm}^2 ; Q_p = 7 \cdot 10^{-6} \frac{\text{m}^3}{\text{s}} = 0,42 \text{ l/min}.$$

Se observă că debitul necesar este mult mai mic decât cel utilizat la unele construcții existente [37].

Pe baza formulelor stabilite a fost proiectat și realizat amplificatorul electrohidraulic prezentat în figura 58.

În vederea confirmării practice a teoriei elaborate privind ducerea formulelor de proiectare și a stabilirii performanțelor construcției realizate s-a studiat comportarea sa în regim static și dinamic de funcționare.

În regim static de funcționare principala caracteristică a amplificatorului electrohidraulic este debitul  $Q$  ce trece prin unu din conductele care fac legăturile cu una dintre cavitatele hidromotorului funcție de curentul  $i_c$  de comandă care străbate înfigurarea bobinei mobile, deci  $Q = f(i_c)$ .

Schemă de principiu, electrohidrostatică, a standului pentru determinarea acestei caracteristici este redată în figura 59.

Pentru încercare se folosesc trei circuite hidraulice, alimentate de către cele trei pompe  $p_1, p_2, p_3$ . Circuitul alimentat de pompă  $p_1$  servește pentru realizarea debitului  $Q_c$  și a presiunii de comandă  $p_c$ . La acest circuit s-a utilizat o pompă cu debit variabil cu pistonaje axiale tip BZ 1100V pentru ca prin variația debitului să se poată stabili valoarea optimă a acestuia. Supapa SDA îndeplinește funcția unei supape de siguranță.

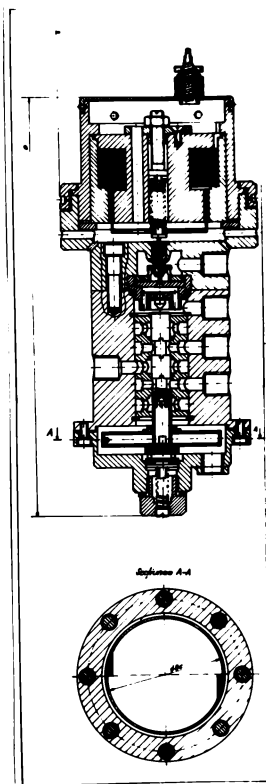
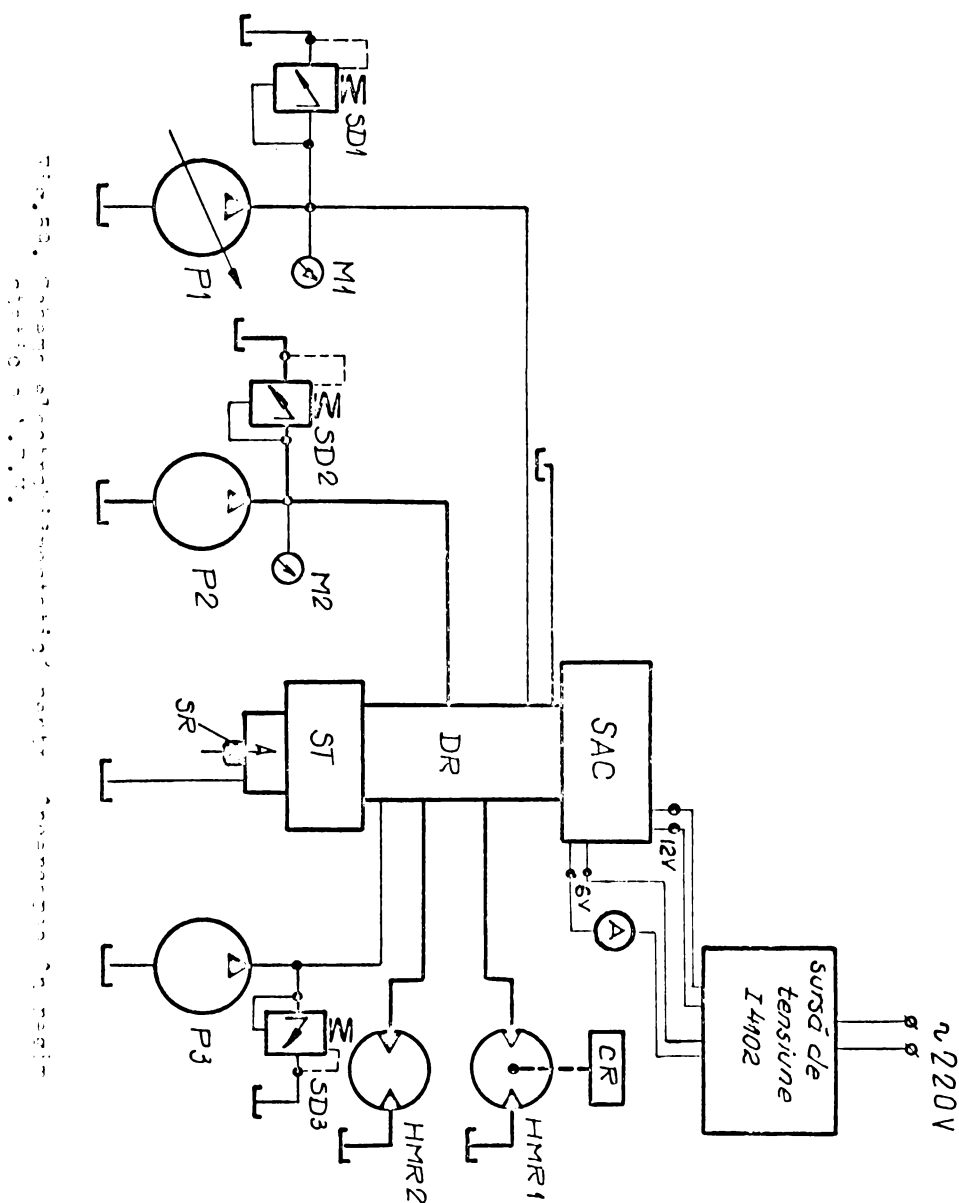


Fig.58 Construcția amplificatorului electrohidraulic.

Circuitul pompei  $P_2$  este circuitul principal, el servește la alimentarea, prin intermediul sertarului de urmărire DR al AEH, a celor două hidromotoare HMR1 și HMR2. Pompa  $P_2$  este o pompă cu debit constant cu palete, Vickers, iar hidromotoarele sunt orbitale : DANFOS tip OMP50. În schemă hidromotoarele au fost folosite ca debitmetre.

Al treilea circuit compus din pompa cu roți dințate  $P_3$  servește la alimentarea turbiniei.

Circuitul electric este compus dintr-o sursă de tensiune tip I 4102 care permite alimentarea și variația atât a tensiunii de alimentare a bobinei fixe (de magnetizare) cât și a bobinei mobile, deci variația curentului de comandă  $i_c$  în bobina de comandă. Valoarea curentului  $i_c$  poate fi citit la ampermetrul A.



Datele pentru trasarea caracteristicii  $Q = f(i_c)$  au fost notate, după ce instalația de încercare a ajuns la un regim termic stabil.

Curentul  $i_c$  a fost reglat între limitele 50 și 300 mA. Debitul  $Q$  în l/min a fost determinat cunoșindu-se debitul specific a hidromotorului HMRL ( $q=0,04875$  l/rotație) și numărul de rotații a acestuia înregistrat, în unitatea de timp, de către un contor de rotații CR.

Cu datele obținute s-a trasat caracteristica statică  $Q = f(i_c)$  redată în figura 60.

După cum se observă caracteristica nu este liniară având însă abateri ce nu depășesc valoarea de  $\pm 8\%$  față de o caracteristică liniară a cărei ecuație este

$$Q = 0,263 i_c - 22,092 \text{ [l/min]}, \quad i_c \in (95, 140) \text{ mA} \quad (139)$$

Se apreciază însă că există posibilități de liniarizare a caracteristicii pe tot domeniul ( $i_c \in (50...140)$  mA), prin calcularea corespunzătoare a profilului, în secțiune longitudinală a porțiunilor de capăt de la centurile de strangulare a sertarului. Încercarea făcută de autor, de a obține caracteristica teoretică  $Q = f(i_c)$  pe baza relațiilor dintre curentul  $i_c$ , deplasarea bobinei mobile, deplasarea sertarului, secțiunea de curgere la sertar și debitul  $Q$  au dus la relații extrem de complexe.

Încercarea în regim dinamic a AEH s-a făcut pe standul din figura 61. Componerea standului electrohidraulic este astfel concepută încât să permită obținerea datelor pentru trasarea caracteristicii amplitudine-frecvență și fază frecvență a AEH.

Două vederi ale standului de încercare sunt prezentate în fotografiile din figura 62.

Partea hidraulică a standului este aceeași ca și cea folosită la încercarea în regim static, în plus adăugindu-se elementul traductor ET montat între sertarul amplificatorului și hidromotorul rotativ HMRL.

Partea electrică servește atât la alimentarea bobinei de magnetizare cât și la alimentarea bobinei mobile. Alimentarea în regim dinamic a acestei bobine s-a făcut cu un curent continuu de 150 mA de la o sursă dublă de tensiune I 4102 printr-un

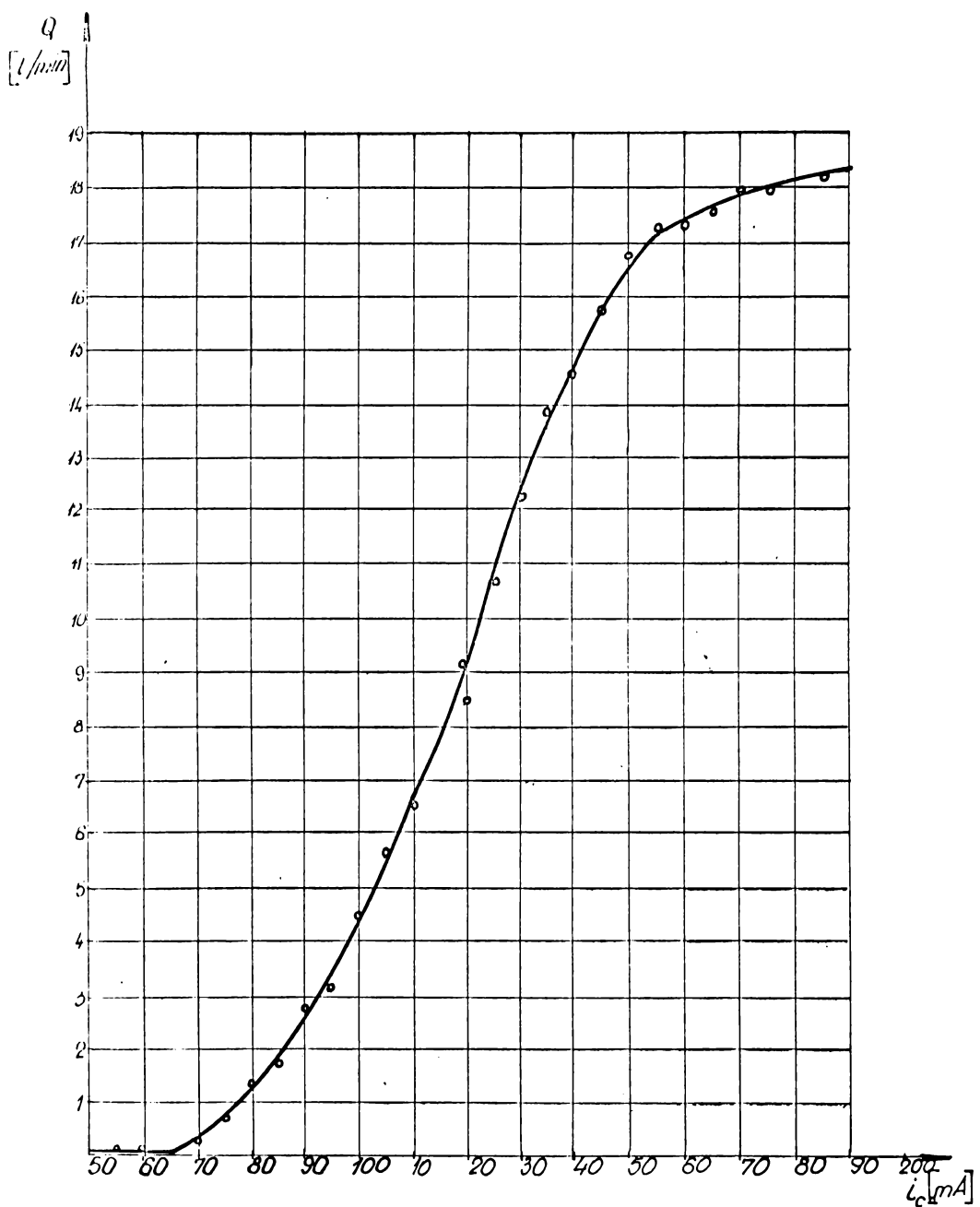


Fig. 60. Caracteristica statică  $Q=f(i_c)$  a A.E.H.

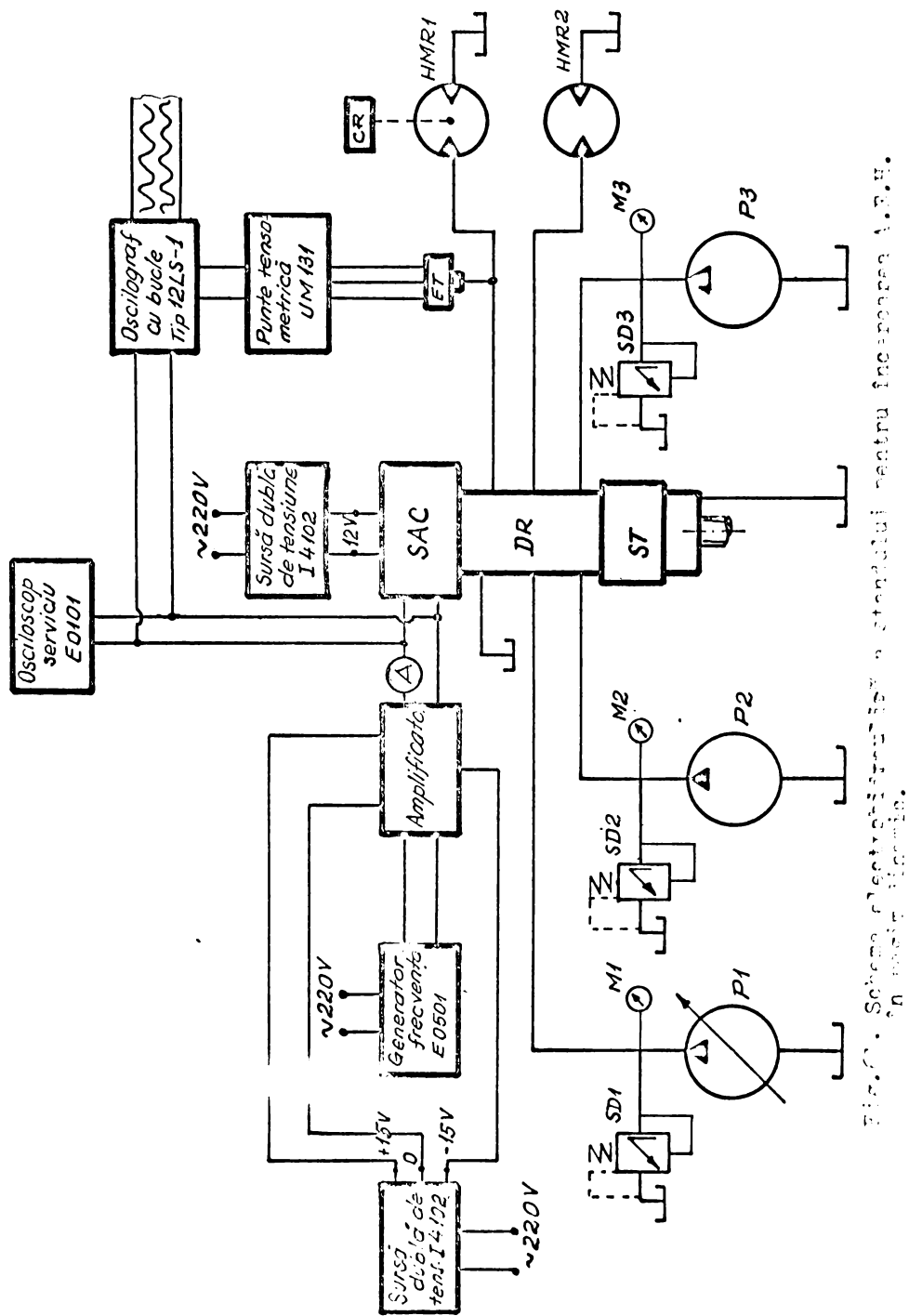


Fig. 6. Schema de control pentru o stație cu centru de frecvență 107.0 MHz.

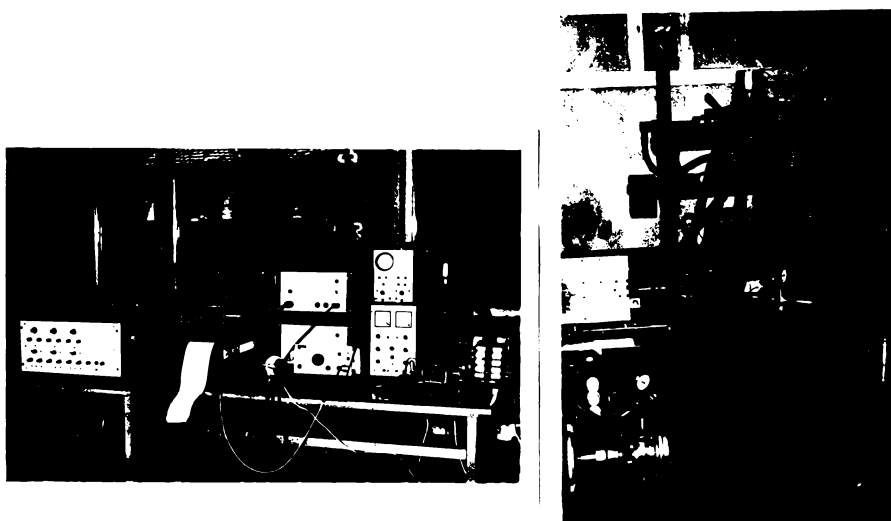


Fig. 62 Vederi ale ștăndului pentru încercarea A.E.H. în regim dinamic

amplificator peste care s-a suprapus un curent sinusoidal cu amplitudinea maximă  $\pm 50$  mA, generat de generatorul de frecvență de 0,01.

Ca urmare, deplasările bobinei mobile au fost transformate în deplasări ale sertarului de urmărire DR, respectiv în variații de presiune în conductă de ieșire spre IEMRl. Acestea din urmă au fost transformate în semnale electrice de către elementul tranductor ET, (studiat în cap.4), care după ce au fost amplificate în pantea tensometrică UML31 au fost introduse în oscilograful cu bucle tip 12IS-1.

În același oscilograf tip 12IS-1 a fost introdus semnalul de la intrarea în bobină mobilă a A.E.H.

Cele două semnale de intrare și de ieșire au fost înregistrate pe banda de hîrtie și folosite la trăsarea caracteristicilor de frecvență (fig.63).

Așind în vedere influența mare a rigidității A (fig.51) și a altor comportării dinamice a amplificatorului, au fost făcute încercări cu valori ale lui k cuprinse între 0,8 daN/cm și 5daN/cm.

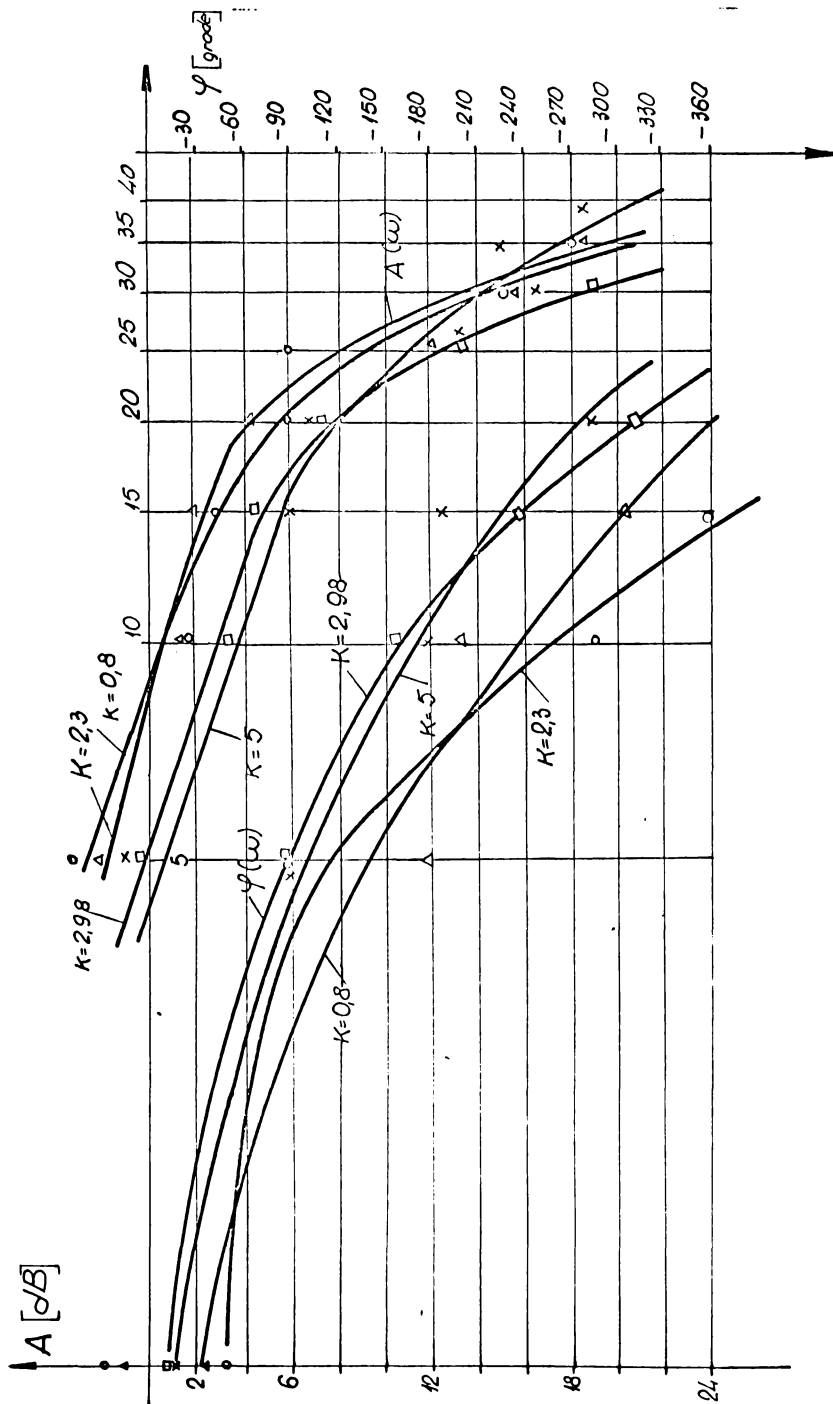


Fig. 63. Characteristic lines for resonance and  $A \cdot R \cdot H$ .

Dintre toate cea mai corespunzătoare caracteristică amplitudine-fază s-a obținut cu valoarea  $k = 2,98 \text{ daN/cm} \approx 3 \text{ daN/cm}$ , care de altfel a rezultat și din formulele teoretice stabilite.

Din figura 63 rezultă că A.E.H poate fi folosit cu succes numai la frecvențe de cca 10 Hz. Utilizarea lui la frecvențe superioare este limitată de creșterea nepermisă a defazajului  $\varphi$ .

Valorile ridicate ale unghiului  $\varphi$  la frecvențe relativ joase se datorează, pe lângă masa mare a subansamblului sertar-turbină, și forței mari de amortizare a uleiului la deplasarea în sus și în jos a turbinei. De valoarea acestei forțe nu s-a ținut cont în calculele teoretice.

De altfel influența forței de amortizare poate fi diminuată foarte mult, dacă în locul turbinei se folosesc conducte dispuse radial și indoite în mod corespunzător, iar diametrul conductei de ieșire a uleiului din cavitatea turbinei se admite cît mai mare posibil, astfel încât nivelul uleiului în cavitatea turbinei să fie practic egal cu zero. În această situație forța de amortizare a uleiului devine egală cu zero.

În urma încercărilor s-a constatat o neconcordanță între debitul pompei de comandă  $Q_p$ , calculat cu relația (57) și cel necesar în realitate, în sensul că debitul calculat este mult mai mic decât cel real necesar.

La calculul debitului cu formula (57) nu s-a ținut cont de debitul ce curge prin secțiunea de curgere a supapei cu același nume de cel necesar pentru deplasarea sertarului. Tinând cont de acest lucru, formula care dă valoarea reală necesară a debitului pompei de comandă este

$$Q_p = \frac{\Delta}{t_1} \cdot \frac{\pi d_s^2}{4} + v_1 \cdot s_{ca}, \quad \left[ \frac{m^3}{s} \right]. \quad (140)$$

În care cu  $s_{ca}$  a fost notată secțiunea de curgere curentă a supapei cu ac, a cărei valoare depinde de diametrul  $d_a$  al acului, de înălțimea de ridicare a acestuia și de unghiul conului acului.

În urma încercărilor au fost stabilite caracteristicile tehnice ale prototipului A.E.H. care sunt apropiate de caracteristicele A.E.H. de aceiasi mărime, fabricate de firmele AEG și REXTROT. Acestea sunt date mai jos

#### A. Partea electrică.

##### 1. De magnetizare

Curentul maxim admis	700 mA
Tensiunea de alimentare	12 V
Puterea	8,4 W

2. De comandă

Curentul maxim admis	± 300 mA
Tensiunea de alimentare	.6 V
Puterea	1,8 W

B. Partea hidraulică

1. De comandă

Debitul de comandă	3 l/min
Presiunea de comandă maximă	8 $\frac{\text{daN}}{\text{cm}^2}$

Ulei cu vîscozitatea 4...5°E la temp.de 50° și filtrat  
cu filtru - lărgimea ochiului 0,06 mm.

2. Circuitul principal

Debit nominal	60 l/min
Presiunea maximă	80 $\frac{\text{daN}}{\text{cm}^2}$

Ulei cu vîscozitate 4...5°E la 50°C cu filtrare normală

4.3. ANTRENAREA CU HIDROMOTOR ROTATIV A

PAPUSII OBIECTULUI

Prin intermediul acționării obiectului se urmărește realizarea în limite largi a turației obiectului, precum și asigurarea unei mișcări linistite, fără șocuri, ceea ce contribuie la取得erea unor calități ridicate ale suprafățelor rectificate. În plus acționarea obiectului trebuie să fie prevăzută cu ambreiaje prin intermediul căroror să fie posibilă cuplarea și decuplarea mișcării în scopul asigurării unei manevrări și exploatari corespunzătoare de către cel care deservește mașina.

Acționarea obiectului la mașinile de rectificat rotund exterior existente este realizată în prezent pe plan mondial cu una din următoarele soluții: motor electric asincron și cutii de viteze realizate prin transmisii cu curele și conuri etajate, cutii de viteze cu transmisii cu curele și roți dințate, cutii de viteze cu variator de turație și transmisii cu curele precum și acționări cu motoare de curent continuu și transmisii de curele, cu hidromotor rotativ, cu cuplaje inductive de alunecare.

Utilizarea cutiilor de viteze cu posibilități de realizare a turăților în trepte prezintă dezavantajul că nu permit realizarea vitezelor economice ale obiectului în domeniul de reglare respectiv. Din punct de vedere al obținerii unor mișcări liniștite, ele realizează această cerință datorită existenței transmisiilor prin curele. La cutiile de viteză compuse din acționări cu curele de transmisii cu roți dințate, datorită plasării arborilor roților dințate în carcasa păpușii, vibrațiile care se naște în timpul angrenării roților se transmit și la arborele de antrenare a piesei. Un alt dezavantaj al unor asemenea acționări constă într-o influență mai mare a căldurii, născute în acționare, asupra deformățiilor termice ale păpușii obiectului. În plus aceste acționări nu permit reglarea continuă a turăției în mers și sub sarcină.

Acționările cu motor de curent continuu permit reglarea turăției în domeniile necesare, și se completează eventual cu grupe succesoare pentru largirea intervalului de reglare. Se asigură mersul liniștit, tot prin folosirea transmisiilor prin curele de la arborele motorului electric la arborele port-piesă. Din punct de vedere al deformățiilor termice, prezintă același dezavantaj ca și cutiile de viteze.

Dă și avantaje, cel mai mare dezavantaj al acestora constă însă în prețul de cost relativ ridicat atât al motorului electric cît și a instalației electrice de alimentare și comansă.

Acționările cu hidromotor rotativ sunt foarte puțin cunoscute fiind relativ noi. Nu se cunoaște tipul și caracteristicile motorului utilizat.

Plecând de la acestea, la IPTVT s-a ajuns la ideea, folosirii hidromotoarelor rotative orbitale la antrenarea păpușii obiectului. Înzecherea acționării păpușii cu asemenea hidromotoare prezintă următoarele avantaje:

- domeniul de reglare a turăților relativ mare (20...1000 rot/min.);

- posibilitatea alimentării hidromotorului de la instalația hidraulică a maginii;

- asigurarea unei mișcări fără șocuri comparabilă din acest punct de vedere cu cea realizată de către motoarele de curent continuu;

- dimensiuni de gabarit, la aceeași putere de antrenare, și la turății mai joase, de cca 4-5 ori mai mici;

- posibilitatea reglării automate, mai simple decât la motorul de curent continuu, prin intermediul A.E.H.;

- întreaga acționare a obiectului este mai ieftină decât acționarea electrică cu motor de curent continuu;

- influența căldurii asupra deformației termice este mai redusă datorită transportului de căldură de către ulei de la păpușa obiectului în rezervor;

Considerentele de mai sus au stat la baza conceperii și realizării unei acționări hidrostaticice a obiectului la mașina de rectificat rotund universal BK 3.

Pentru antrenarea păpușii obiectului s-a ales hidromotorul OMP 50 produs de firma DANFOSS din Danemarca. În fotografia de mai jos (fig.64) se observă dimensiunile de gabarit ale celor două motoare; a motorului electric de curent continuu (fig.64a) și a hidromotorului OMP 50 (fig.64b) pe care mai sunt montate șaiba de antrenare și placa de alimentare cu ulei.

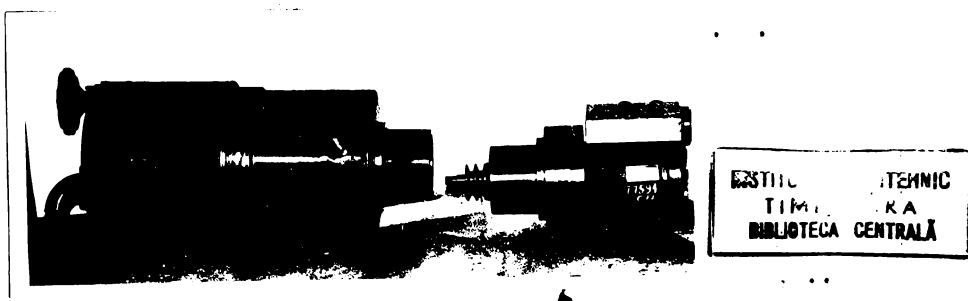


Fig.64. Hidromotorul rotativ (b) și motorul electric înlocuit de acesta (a)

Caracteristicile de bază a hidromotorului OMP50 sunt prezentate în figura 65.

Alegerea hidromotorului se face pe baza cunoașterii parametrilor pe care trebuie să-i realizeze acesta în acționarea dată. Acești parametrii sunt: puterea de acționare domeniul de reglare al turăției; valorile extreme între care variază momentul de torsiune, valorile extreme ale randamentului, pentru domeniul de reglare ai parametrilor.

Plecind de la valorile parametrilor pe care trebuie să realizeze hidromotorul și anume: valoarea maximă a momentului dezvoltat 2 daN.m, domeniul de reglare al turăției 70...200 rot/mi

rezultă în diagramă cîmpul în care se va utiliza hidromotorul ales, tip OMP 50.

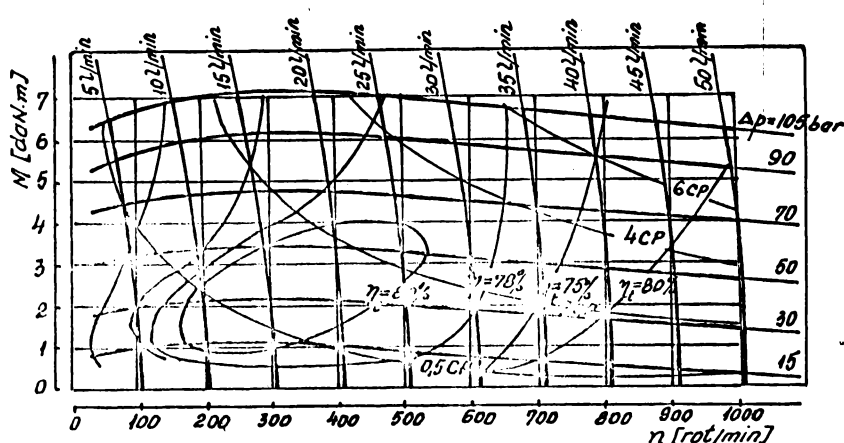


Fig.65. Caracteristicile hidromotorului OMP 50

Rândamentul total al hidromotorului, pentru cîmpul prevăzut, are valori cuprinse între 60...80%. Tinind cont însă că majoritatea pieselor se rectifică cu viteze ale piesei corespunzătoare turăției între 200...600 rot/min la hidromotor (tinind cont de raportul de transmitere a transmisiei cu curele) și cu momente cuprinse între 1...1,5 daNm, rezultă că hidromotorul va lucra frecvent cu rândamente în jur de 80%. Tot din diagramă au rezultat caracteristicile pompei de alimentare și anume  $Q_{max} = 40 \text{ l/min}$  și  $p_{max} = 40 \text{ daN/cm}^2$ .

Schema hidraulică a instalației de alimentare și reglare a turăției hidromotorului OMP50 este redată în figura 66. Ea se compune dintr-un sorb S, o pompă P cu caracteristicile stabilite mai sus, o supană de descărcare a presiunii SDP, un filtru F un droșel DR cu fante transversale echilibrat hidrostatic, hidromotorul OMP50, manometrul  $M_1$  și conductele flexibile de legătură.

In figura 67 este prezentată soluția constructivă de acționare a obiectului cu hidromotorul OMP50.

In principiu construcția conține aceleasi elemente componente ca și în cazul acționării cu motor electric de curent continuu. In plus a fost necesară conceperea, proiectarea și executarea piezelor 2 și 3 (fig.67) precum și a plăcii de alimentare 21 a hidromotorului.

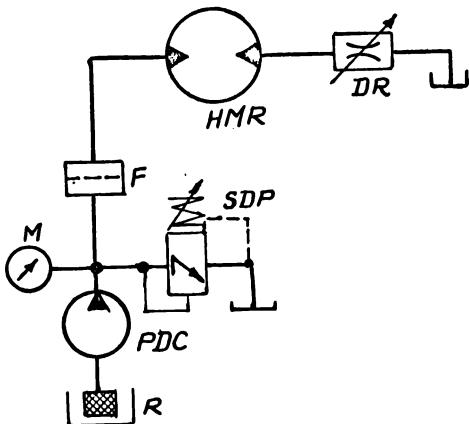


Fig.66. Acționarea hidrostatică a obiectului.

Turația hidromotorului în domeniul precizat la rectificări concrete s-a realizat cu ajutorul droselului DR (fig.66).

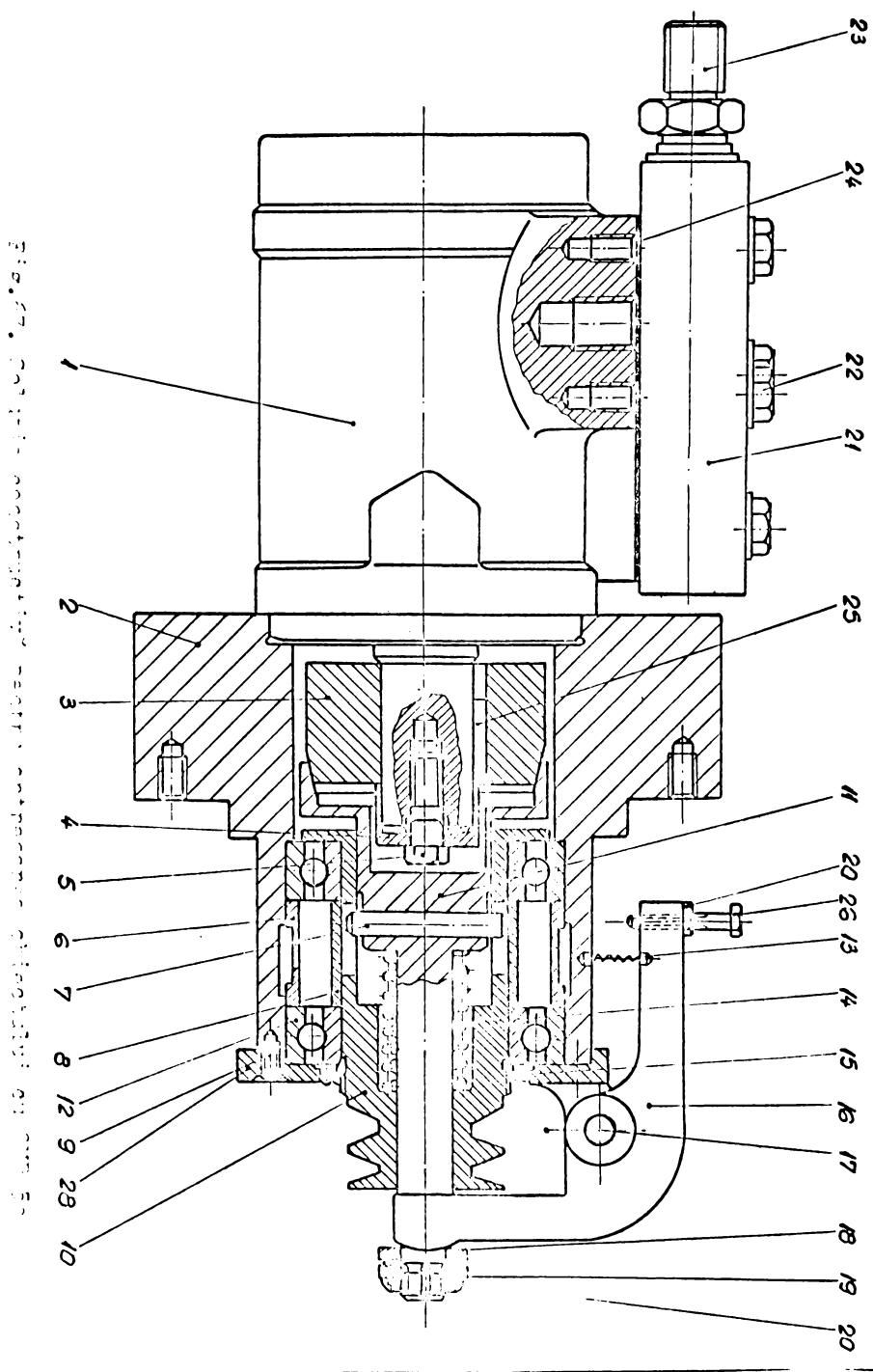
Au fost efectuate rectificări de suprafețe exterioare și interioare ale pieselor din OLC45, 40C10, 13CN35 în stare călită și din OLC45 în stare necălită. Domeniul de reglare a turației la hidromotor pentru aceste prelucrări a fost cuprins între 210...720 rot/min.

Căderile de presiune în hidromotor au fost cuprinse între 6...16 daN/cm<sup>2</sup>, deci s-a lucrat cu randament de cca 80%.

Lucrindu-se cu aceiasi parametrii de aşchiere ca și în cazul acționării obiectului cu motor electric de curent continu și admitînd același număr de treceri la faza de destindere, a rezultat aceiasi rugozitate  $R_a = 0,5...0,7 \mu\text{m}$  măsurată pe direcția perpendiculară la traiectoriile lăsate de granulele abrazive pe suprafață rectificată (pe generatoarea suprafeței). La materiale necălite rugozitatea obținută a fost aceiasi, în cele două situații de antrenare a obiectului și cuprinsă între  $R_a = 0,6...0,8 \mu\text{m}$ .

Din cele de mai sus se desprind următoarele concluzii referitoare la acționarea hidrostatică a obiectului:

- a) posibilitatea înconjurării păpușii obiectului cu acționare hidrostatică;



- b) acționarea hidrostatică permite obținerea unor calități de suprafață comparabile cu acționările cu motor de curent continu;
- c) acționarea hidrostatică permite obținerea unui domeniu de reglare mai mare;
- d) dimensiunile hidromotorului sunt mult mai reduse de cca 4...5 ori;
- e)) influența deformațiilor termice produse de acționarea hidrostatică a obiectului, reflectată prin deplasări în cele două plane (măsurate cu comparatoare cu valoarea diviziunii de  $1\mu m$  la mersul în gol după 2 ore de funcționare) a axei vîrfurilor a fost cu cca  $2\mu m$  (plan orizontal) și respectiv  $3\mu m$  (plan vertical) mai mici decât în cazul antrenării cu motor electric;
- f) reducerea costului acționării obiectului cînd alimentarea hidromotorului rotativ se face de la subansamblul hidrostatic al mașinii și nu de la un sistem de alimentare independent;
- g) posibilitatea reglării automate a turăției prin folosirea amplificatoarelor electrohidraulice.

Dezavantajul acționării hidrostatice a obiectului <sup>constă</sup> în aceea că impune creșterea volumului de ulei în acționare, respectiv mărirea dimensiunilor rezervorului.

## 5. COMANDA ADAPTIVA EXPERIMENTALA

In vederea realizării unei mașini de rectificat exterior între vîrfuri cu CA, după algoritmul stabilit, se impune ca subansamblurile mașinii prin intermediul cărora se reglează parametrii de acțiune să fie astfel concepute încât să permită reglarea continuă a acestora, iar semnalele obținute de la elementele traducătoare să necesite amplificări cît mai reduse.

Astfel, în cazul rectificărilor cu avans longitudinal, acționarea hidrostatică a mesei mașinii trebuie să conțină un element de automatizare, de tipul AEH care să asigure, pe baza semnalului provenit de la traductoare, reglarea continuă a vitezei mesei  $v_m$ . Concomitent cu același semnal, se impune și modificarea turăției  $n_p$  a obiectului. Deci acționarea obiectului trebuie antrenată de către un motor a cărui turăție să poată fi reglată în limitele cele mai largi, cu durată tranzitorie cît mai redusă și cu amplificări cît mai mici a semnalelor de comandă.

In sensul celor de mai sus au fost modificate acționările mașinii de rectificat tip BK3, pentru a-i se introduce C.A.

### 5.1. COMPLETARI ALE SCHEMEI HIDROSTATICHE A MASINII BK3 IN VEDEREA REALIZARII C.A.

Pentru reglarea simultană a  $v_m$  și a turăției  $n_p$  a obiectului, schemei hidrostaticice a mașinii BK3 i s-a adus completările reduse în figura 68 și care sunt limitate de către conturul închis cu linie - punct.

In mod normal reglarea vitezei mesei  $v_m$ , în ambele sensuri de deplasare, se realizează cu droselul DR cu comandă manuală, montat la ieșirea din hidromotorul liniar HML al mesei.

In vederea reglării automate a vitezei  $v_m$ , pe conducta de ieșire a uleiului din HML a fost montat, după droselul DR care a fost deschis complet, amplificatorul electrohidraulic AEH1 cu elementele lui hidrostaticice de comandă, pompa cu debit variabil PDVL, supapa de siguranță SSL filtrul  $F_1$  și elementele de antrenare ale turbinei  $T_1$  - pompa de debit constant PDCL, supapa de descarcare a presiunii SDPL și filtrul  $F_2$ .

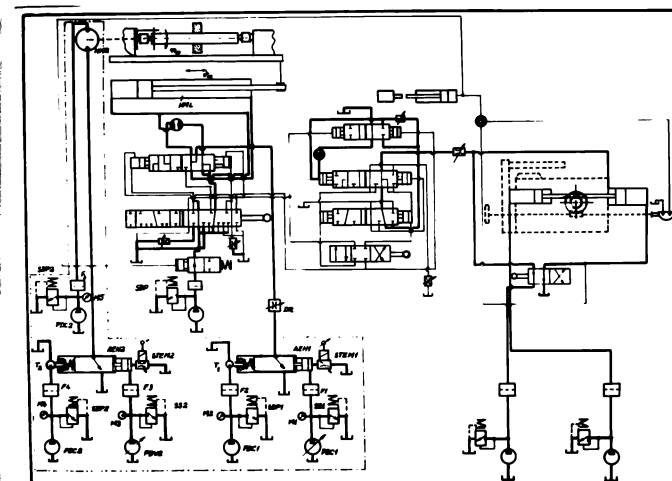


Fig. 68. Schema hidrostatică a mașinii BK3 completată pentru C.A.

Pentru reglarea continuă a turăției  $n_p$  a obiectului s-a înlocuit motorul electric de curent continuu al mașinii cu un hidromotor orbital tip OMP50.

Se precizează însă că pentru reglarea automată a turăției piesei ar fi putut fi folosit și motorul de curent continuu însă cum reglarea turăției acestuia se poate face numai printr-un potențiometru, semnalul de comandă necesită amplificări mari iar frecările dintre cursor și rezistență duc la creșterea duratelor proceselor tranzitorii.

Hidromotorul orbital rotativ HMR antrenează obiectul prin intermediul unei transmisii cu curele cu raportul de transmitere 1 : 3. Subansamblul de acționare al obiectului permite, printr-un cuplaj cu suprafețe conice, cuplarea și decuplarea antrenării obiectului de la hidromotor, deci antrenarea și oprirea obiectului prin intermediul unei pîrghii.

Hidromotorul HMR este alimentat de la o pompă PC2, Visko cu debit constant cu palete alunecătoare, a cărei presiune poate

fi limitată cu supapa de descărcare SDP2. Turația hidromotorului se reglează cu amplificatorul electrohidraulic AEH2, montat la ieșire, de la care uleiul ajunge în rezervor.

Ca și la primul AEH1 și la acesta sunt redate elementele anexe și anume; de comandă hidrostatică - pompa cu debit variabil PIV2, supapa de siguranță SS2, filtrul F<sub>3</sub>, de antrenare a turbinii T2 - pompa cu debit constant PDC2, supapa de descărcare a presiunii SDP2 și filtrul F4.

In schemă mai sunt reprezentate simbolizat supapele cu acu transformator electromecanic STEM1 și STEM2 a celor două amplificatoare electrohidraulice precum și manometrele M1, M2, M3, M4 și M5 pentru controlul presiunilor.

Ambele amplificatoare electrohidraulice regleză debitele celor două circuite utilizând o singură muchie de comandă.

#### 5.2.1. Calculul domeniilor de reglare a debitelor.

La baza acestor determinări, care dau valorile vitezei mesei v<sub>m</sub> și respectiv a turației n<sub>p</sub> a obiectului, au stat formulele (48) ale algoritmului pentru prelucrările cu avans logitudinal. Pe baza cunoașterii domeniului de variație a componentei F<sub>y</sub>, a constantelor K<sub>1</sub> și p și pentru diverse valori ale lui β, a fost posibilă reprezentarea cu valori reale ale relațiilor dintre F<sub>y</sub>, v<sub>m</sub> și n<sub>p</sub>, ceea ce se vede în figura 69.

Pentru a se asigura variația parametrilor, funcție de F<sub>y</sub>, conform figurii 69, se impune calcularea debitelor necesare, atât la alimentarea hidromotorului liniar HML a mesei cft și a hidromotorului rotativ HMR (fig.68). Pe baza valorilor obținute și cu ajutorul caracteristicii statice a AEH se trece apoi la stabilirea curentilor i<sub>c</sub> de comandă, prin intermediul cărora se va stabili legătura directă cu valoarea componentei F<sub>y</sub> transformată în semnal electric.

Determinarea valorilor reale ale debitelor se face pe baza cunoașterii dimensiunilor hidromotorului liniar HML și a debitului specific a hidromotorului rotativ.

a) Calculul variației debitului pentru acționarea mesei.

Din măsurători ale HML a rezultat;

D = 40 mm - diametrul interior al cilindrului;

d = 15 mm - diametrul tijei pistonului;

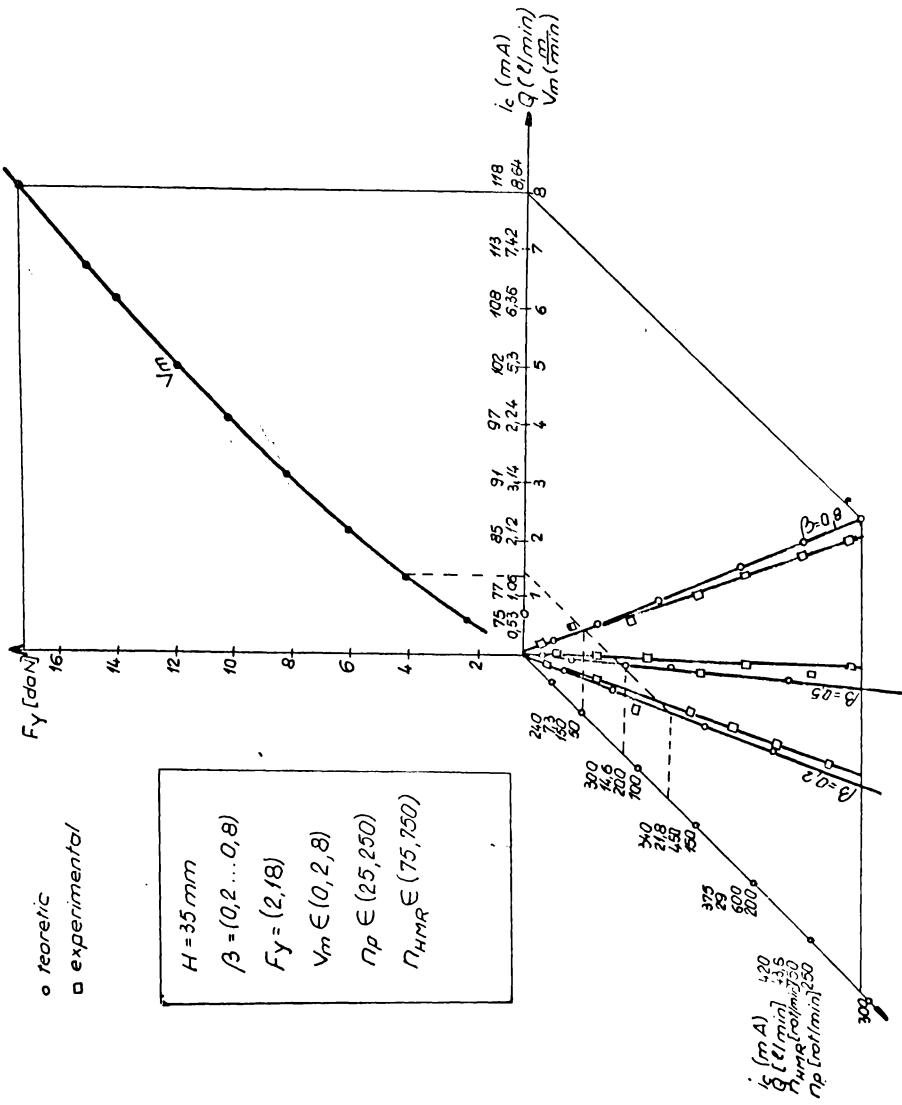


Fig. 5.9. Dependence of maximum rotation capacity on cyclic loading parameters

Rezultă

$$Q = 1,06 v_m \text{ l/min.} \quad (141)$$

Stiindu-se domeniul de reglare a vitezei mesei (din caracteristica mașinii)  $v_{min} = 0,35 \text{ m/min}$  și  $v_{max} = 6 \text{ m/min}$ , rezultă:

$$Q_{min} = 0,37 \text{ l/min}$$

$$Q_{max} = 6,35 \text{ l/min}$$

b) Calculul variației debitului pentru antrenarea obiectului s-a făcut pe baza cunoașterii domeniului de reglare a turăției pielei  $n_p = 50 \dots 300 \text{ rot/min}$ , a raportului de transmitere a mișcării de la hidromotor la arborele piesei  $i=3$  și a debitului specific a hidromotorului rotativ  $q = 0,04875 \text{ l/rotație}$ .

Cu datele de mai sus, rezultă valorile extreme ale debitului pentru antrenarea HMR, adică;

$$Q_{min} = n_{pmin} \cdot i \cdot q = 50 \cdot 3 \cdot 0,04875 = 7,3 \text{ l/min}$$

$$Q_{max} = n_{pmax} \cdot i \cdot q = 300 \cdot 3 \cdot 0,04875 = 44 \text{ l/min.}$$

Valorile debitelor pentru diferite viteze  $v_m$  și turății  $n_p$  au fost trecute în figura 69.

#### 5.2.2. Stabilirea valorilor curentilor de comandă $i_c$ în bobinile mobile ale amplificatoarelor electrohidraulice.

Pentru comandă automată a parametrilor  $v_m$  și  $n_p$  cu ajutorul unui semnal electric se cere ca pe baza domeniilor de variație a debitelor și a caracteristicilor statice a celor două amplificatoare electrohidraulice, să se stabilească limitele între care se impune variația curentilor de comandă  $i_c$  în bobinile mobile a celor două AEH.

a) Pentru acționarea mesei, valorile  $i_c$  în cazul variației debitului calculată mai sus, rezultă din caracteristica statică a AEM1 (fig.60):

$$i_c = 70 \dots 124 \text{ mA.}$$

b) În același mod a fost stabilit domeniul de variație a curentului  $i_c$  pentru comanda turăției  $n_p$ . Se precizează că AEM2 are o caracteristică asemănătoare cu a AEM1, asigurând însă debite mari deoarece supapa de descărcare a presiunii SDP2 (fig.68)

este reglată la presiunea de  $40 \text{ daN/cm}^2$ , mai mare decât presiunea supapei de descărcare SDP( $15 \text{ daN/cm}^2$ ) din circuitul de alimentare a acționării mesei.

Din caracteristica statică a AEH2, pentru variații ale debitului  $Q = 7,3...44 \text{ l/min}$ , a rezultat variații ale curentului de comandă  $i_c = 240...450 \text{ mA}$ .

Valorile curentilor de comandă  $i_c$ , rezultate pentru reglarea debitelor în scopul reglării automate a vitezei  $v_m$  și a turației  $n_p$ , au fost trecute pe aceeași diagramă (fig.69).

În acest mod au fost stabilite legături directe între valorile componentei  $F_y$  și valorile curentilor de comandă  $i_c$ , date care au stat la baza proiectării elementelor componente ale părții electrice a C.A.

## 5.2. SCHEMA ELECTRICA BLOC DE COMANDA

La compunerea și realizarea părții electrice a CA s-a avut în vedere două aspecte tehnologice importante și anume: primul se referă la valorile pe care trebuie să le aibă parametrii  $v_m$  și  $n_p$  la capete de cursă, în sensul că pe aceste porțiuni de capăt ale curselor, unde componenta reală  $F_y$  are valoarea zero, nu se impun creșteri exagerate a turației piesei și vitezei mesei, întrucât la reintrarea pietrei în material ele trebuie readuse la valorile de lucru. Creșterea exagerată a parametrilor  $v_m$  și  $n_p$  la sfîrșitul curselor duce la creșterea forțelor de încrăcie la capete de cursă și la șocuri când piatra pătrunde în material, cu efecte negative asupra preciziei de prelucrare; al doilea aspect este legat de necesitatea modificării variației turației  $n_p$  a piesei și în funcție de faza de rectificare (degrăsare sau finisare). În trecerea de la faza de degrăsare la cea de finisare, avansul longitudinal  $s_1$  se micșorează (ceea ce în planul  $n_p$  -  $v_m$  al algoritmului (fig.69) se reprezintă prin drepte cu  $\beta = \text{constant}$  ce trec prin origine), impunând o creștere corespunzătoare a turației  $n_p$ .

Po baza celor de mai sus, a schemei de principiu a CA (fig.43), a algoritmului, a elementelor studiate și a ciclului de lucru al mașinii BK3, a fost concepută schema părții electrice a C.A. prezentată în figura 70.

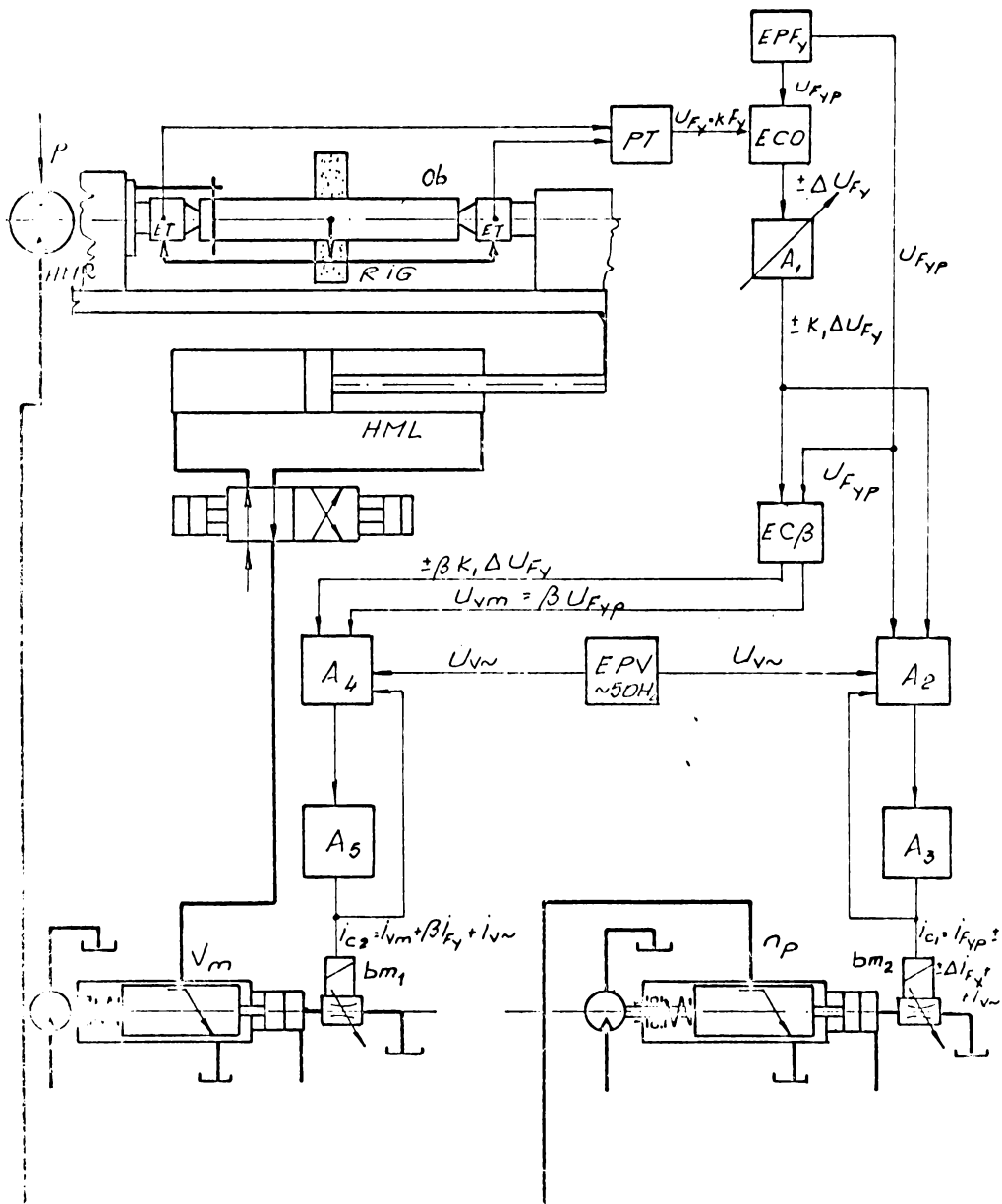


Fig.70. Schema electrică bloc C.A.

Elementele componente ale schemei sunt următoarele: elementele traductoare ET, puntea tensometrică PT (tip UH111) elementul electronic de comparare ECO, elementul de programare a forței EPF<sub>y</sub>, amplificatoarele A<sub>1</sub>, A<sub>2</sub>, A<sub>3</sub>, A<sub>4</sub> și A<sub>5</sub>, elementul de corecție a turăției n<sub>p</sub> a piesei ECβ, în funcție de fază de rectificare, degroșare sau finisare, element de alimentare cu curent alternativ EPV și în final bobinele mobile ale amplificatoarelor electromagnetice bm<sub>1</sub> și bm<sub>2</sub>.

Modul de funcționare. Înaintea începerii prelucrării, funcție de precizia de prelucrare, calitatea suprafeței, și rigiditatea STE se stabilește valoarea forței F<sub>y</sub> de referință care se introduce manual sau automat în elementul de programare a forței EPF<sub>y</sub>. Valoarea forței de referință după ce este transformată în semnal electric U<sub>Fyp</sub> se transmite simultan atât la ECO cît și la cele două bobine mobile: la bobina bm<sub>2</sub> prin amplificatoarele A<sub>2</sub> și A<sub>3</sub>, iar la bobina bm<sub>1</sub> prin ECβ (prin care se stabilește raportul corect între v<sub>m</sub> și n<sub>p</sub> la fază de degroșare și finisare) și amplificatoarele A<sub>4</sub> și A<sub>5</sub>. În acest fel curentii de comandă i<sub>c</sub> din bobinele mobile asigură parametrii v<sub>m</sub> și n<sub>p</sub> de funcționare a subansamblurilor mașinii la capetele de cursă, și în primele momente de pătrundere a pietrei în material. Acești parametrii au valori mai mari decât cei în fază de lucru, deoarece pe aceleasi canale se transmite și rezultatul comparării ΔU<sub>Fy</sub> care din cauza lipsei forței reale are valoare maximă. Această situație este favorabilă din punct de vedere tehnologic, întrucât se reduc timpii la mersul în gol al mașinii.

Pe măsură pătrunderii pietrei în material componenta reală F<sub>y</sub> crește, semnalul electric proporțional cu valoarea acesteia U<sub>Fy</sub> careiese din puntea FT, pătrunde în ECO în care se compară cu valoarea de referință. Deoarece rezultatul comparării ΔU<sub>Fy</sub> este mai mic decât în fazele de funcționare în gol se produce o micșorare a parametrilor v<sub>m</sub> și n<sub>p</sub>, astfel încât să se mențină egalitatea între componenta reală și cea de referință a forței de rectificare.

Se observă deci, că în regim staționar de funcționare, cîz în care cele două componente au aceleasi valori, reglarea parametrilor regimului are loc prin circuitul paralel cu ECO, prin cî se introduce forța de referință în sistem, la cele două bobine mobile.

În regimurile tranzitorii, provocate de neuniformități ale adaosului de prelucrare, de variații ale duratăii materialului, componenta reală  $F_y$  va varia și ea, iar în urma comparării din comparator va rezulta tensiunea  $\pm \Delta U F_y$  care se va transmite simultan prin cele două canale la bobinele mobile  $b m_1$  și  $b m_2$  corectând astfel valorile parametrilor  $v_m$  și  $n_p$  astfel încât să se mențină egalitatea între cele două forțe.

Reacția inversă generală RIG a C.A. se realizează prin procesul de lucru și STE.

Sensibilitatea sistemului de C.A. poate fi variată prin variația coeficientului de amplificare a amplificatorului  $A_1$ .

Fotografia părții electronice a C.A. este prezentată în figura 71. Se observă complexitatea redusă a părții electronice a acestei CA, spre deosebire de alte încercări pe plan mondial și a căror posibilități sunt mult mai reduse. Realizată și prin componente moderne (circuite integrate, etc), simplitatea este rezultatul unor prelucrări și experimentări succesive. Prin ea se amintesc tehnologicitatea CA în ansamblu și eficiența ei indiscutabilă, respectiv a mașinei în comparație cu varianta cunoscută.



Fig.71. Partea electronică a C.A.

### 5.2.1. Calculul coeficientului de amplificare a instalației electrice.

Determinarea coeficientului de amplificare este necesară pentru proiectarea elementelor componente a părții electrice a C.A.

In principiu este necesar a se determina raportul dintre tensiunea necesară bobinelor mobile care să permită prelucrarea cu anumiți parametrii  $v_m$  și  $n_p$  la o forță de referință dată și dintre tensiunea care ia naștere la ieșirea din elementele traductoare sub acțiunea aceleiași forțe.

Dată fiind faptul că pe tot domeniul de variație al încărcării coeficientul de amplificare șiă păstrează aceeași valoare, în cele ce urmează, acesta se va determina pentru  $F_y = 10 \text{ daN}$ .

a) Determinarea tensiunii la ieșirea din elementele traductoare.

Se consideră forță aplicată la mijlocul piesei, deci asupra fiecărui vîrf, considerat ca o bară incastrată la un capăt (fig.

72a) acționează, forță  $\frac{F_y}{2} = 5 \text{ daN}$ .

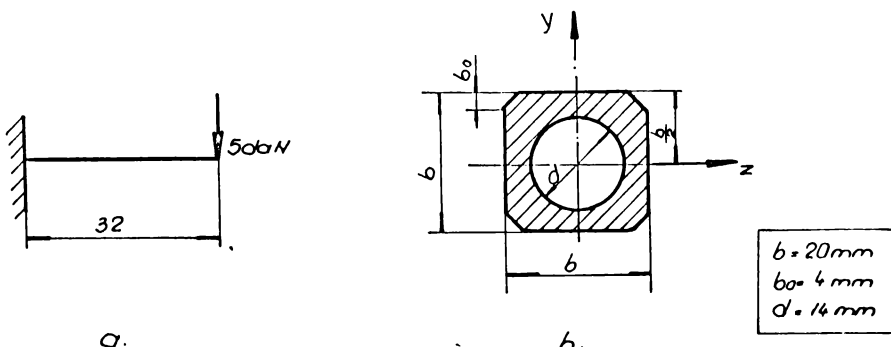


Fig.72 Solicitarea și secțiunea vîrfului tensometric.

Valoarea tensiunii  $e_T$  la ieșirea din punte având în vedere modul de amplasare a traductoarelor este după [31]

$$e_T = \frac{k \cdot \varepsilon_c}{4} \quad (142)$$

În care:  $k = 1,75$  constantă traductorului rezistiv;

$\varepsilon$  = alungirea specifică;

$e$  =  $2V$  tensiunea de alimentare a traductorului.

Pentru determinarea valoiei  $e_T$  trebuie calculat efortul  $\sigma$  și valoarea  $\epsilon$ . În acest scop se folosește schița 72 a și b din care rezultă modul de încărcare al vîrfului precum și aria secțiunii în porțiunea de incastrare.

Valoarea momentului de inertie determinată pentru secțiunea respectivă este

$$I_z = I_y = \frac{b^4}{12} - \frac{\pi d^4}{64} - 4 \left[ \frac{b_0^4}{36} + (b - \frac{1}{3} b_0)^2 \cdot \frac{b_0^2}{2} \right] \quad (143)$$

Inlocuind dimensiunile reale date în figura 72 și efectuând calculele rezultă  $I_z = I_y = 0,190 \text{ cm}^4$ .

Modulul de rezistență are valoarea,

$$W_z = \frac{I_z}{y_{\max}} = 0,190 \text{ cm}^3.$$

$$\text{Efortul unitar } \sigma = \frac{M_i}{W_z} = \frac{5}{0,190} = 26,3 \text{ daN/cm}^2.$$

Având valoarea lui  $\sigma$  se poate determina mărimea alungirii

$$\epsilon = \frac{\sigma}{E} = \frac{26,3}{2,15 \cdot 10^5} = 1,22 \cdot 10^{-5}$$

Inlocuind valorile de mai sus în relația (142) se obține valoarea tensiunii

$$e_T = \frac{1,75 \cdot 1,22 \cdot 2 \cdot 10^{-5}}{4} = 1,07 \cdot 10^{-5} \text{ V.}$$

Având în vedere că la fiecare vîrf sunt cîte două traductoare (unul lucrînd la întindere iar celălalt la compresiune) și că sunt două vîrfuri simetrice semnalul obținut crește de cca 4 ori, adică

$$e_{\text{tot}} = 4,28 \cdot 10^{-5} \text{ V.}$$

Din diagrama algoritmului rezultă că pentru o prelucrare de degresare ( $\beta = 0,8$ ) valorile curentilor de comandă în bobinile mobile ale amplificatoarelor electrohidraulice sunt:

- pentru reglarea vitezei mesei  $v_m$ ,  $i_{cv_m} = 98 \text{ mA}$

- pentru reglarea turăției piesei  $n_p$ ,  $i_{cn_p} = 340 \text{ mA}$

Având în vedere că bobinile mobile au aceeași rezistență  $R = 25 \Omega$ , rezultă valorile tensiunilor necesare pentru comanda amplificatoarelor electrohidraulice,

$$U_{v_m} = R_i c_{v_m} = 2,4 \text{ V}$$

$$U_{n_p} = R_i c_{n_p} = 8,62 \text{ V}$$

În final rezultă coeficienții de amplificare a puterii de  
 $k_{v_m} = 57.200$  și  $k_{n_p} = 200.000$ .

Instalația electrică concepută poate realiza un coeficient de amplificare electric total maxim de  $10^6$  ori.

În timpul încercărilor experimentale cei mai corespunzători coeficienți de amplificare la care s-a deosebit o funcționare stabilă a mașinii și cu sensibilitate suficientă au fost

$$k_{v_m} = 60200 \quad k_{n_p} = 198.000.$$

## 6. INCERCARILE EXPERIMENTALE

In urma incercărilor experimentale a elementelor de automatizare studiate, a compunerii părților hidrostatice și electrice a C.A., în laboratorul catedrei Tehnologia Construcției de Mașini de la Facultatea de Mecanică din cadrul Institutului Politehnic "Traian Vuia" a fost montată C.A. pe mașina de rectificat tip BK3 de fabricație maghiară.

Montajul de laborator a întregii instalații, în două ve-deri se observă în fotografiile din figura 73 a și b.

În fotografie 73 a se observă hidromotorul rotativ orbital OMP50 montat în păpușa obiectului, pentru antrenarea acestuia, iar în fotografie 73 b forma pieselor pe care au fost executate incer-cările experimentale.

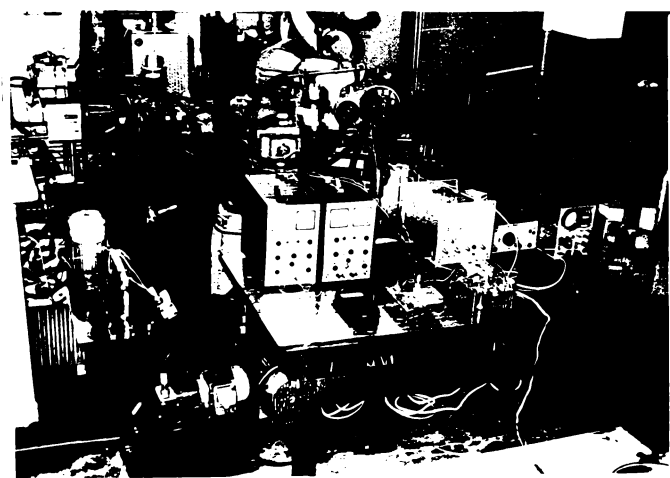
La partea din spate a mașinii, în dreptul păpușii pietrei se observă AEH1 (pentru reglarea vitezei mesei  $v_m$ ), iar în dreptul păpușii obiectului AEH2 (pentru reglarea turăției  $n_p$  a piesei). Ambele amplificatoare sunt dispuse în poziția verticală, de altfel poziția lor normală de funcționare.

În jurul amplificatoarelor electrohidraulice au fost ampla-sate grupurile formate din cte un motor electric, pompă și supapă de siguranță sau descărcare a presiunii necesare pentru comanda acestora, pentru antrenarea turbinelor și pentru acționarea obiec-tului.

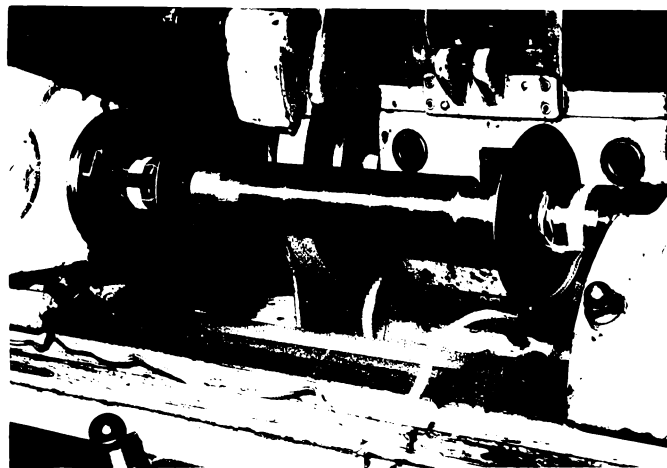
Legăturile între diferitele elemente hidrostatice au fost realizate cu conducte flexibile.

Instalația electrică se observă mai bine în fotografie din figura 74. Pe lîngă partea arătată în figura 71, se observă puntea UM 111, osciloscopul de serviciu EO 101, sursele duble de tensiune I 4102 și aparatul indicatoare.

Intreaga instalatie este un montaj de laborator pentru de-terminarea valorilor optime a unor parametri și pentru experimen-tarea soluției în ansamblu. Volumul CA definitive, pentru o mașină oarecare, devine mult mai mic asigurînd în același timp performanțe superioare.

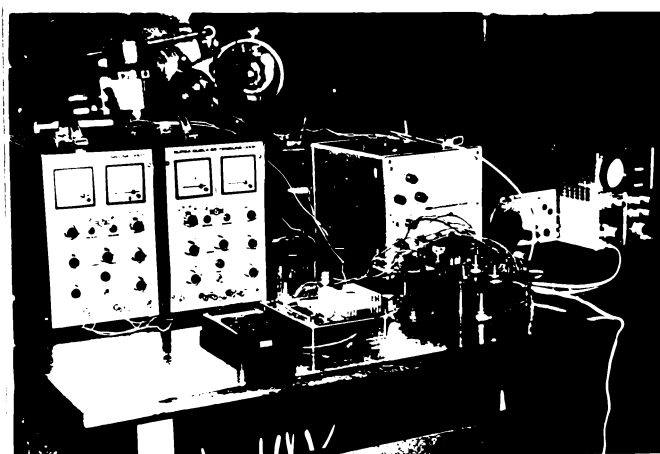


a.



b.

Fig.73. Fotografii ale montajului de laborator a C.A.



## 6.1. OBIECTIVELE SI MATERIALE PROIECTARILOR.

Prin încercările experimentale s-a urmărit rezolvarea pe de o parte a unor probleme referitoare la determinarea mărimilor corespunzătoare de reglaj, astfel încât sistemul să aibă stabilitate cît mai bună în funcționare, sensibilitate suficientă și rapiditate de reacție cît mai mare, iar pe de altă parte confirmarea practică a legilor teoretice stabilite la deducerea algoritmului precum și determinarea performanțelor privind precizia de prelucrare, rugozitatea suprafeței și capacitatea productivă a mașinii.

Inaintea începerii operațiilor de reglaj întreaga instalație, electrică, electronică și hidrostatică a fost adusă la regimul normal termic de funcționare.

În vederea reglării sistemului, astfel ca acesta să funcționeze după legile algoritmului s-a procedat după cum urmează: mașina a fost pornită în gol și s-a introdus în sistem tensiunea de referință  $U_{yp} = 83$  mV, corespunzătoare unei forțe radiale  $F_y = 10$  daN. În același timp piesa era prinsă între vîrfurile dinamometrice și executa mișcările necesare procesului de rectificare. Cu mașina în această stare s-a încărcat piesa după direcția componentei  $F_y$  cu o forță egală cu 10 daN. În acest mod întreaga CA se găsea în condițiile similare unei rectificări cu o forță  $F_y=10$  daN.

În continuare, menținând încărcarea de mai sus, au fost reglate pozițiile sertarelor amplificatoarelor electrohidraulice AEM1 și AEM2 (fig.68) prin intermediul arcurilor A (fig.51) astfel încât să se obțină  $v_m = 4,1$  m/min și  $n_p = 150$  rot/min. Conform algoritmului cu valori concrete (fig.69), pentru  $\beta = 0,8$ . Viteza  $v_m$  de deplasare a meșei a fost calculată pe baza cunoașterii cursei și a timpului rezultat prin cronometrare. Turatia piesei a fost măsurată cu ajutorul unui tachometru.

Cu mașina și C.A. astfel reglate s-a trecut la determinarea concretă a parametrilor  $v_m$  și  $n_p$  la diferite valori ale componentei  $F_y$  (între 1...16 daN, la degroșare, 1...4 la semifinisare și 0,5...2 la finisare), respectiv pentru diferite valori ale lui  $\beta$ . Diferite valori ale componentei  $F_y$  au fost realizate cu ajutorul unui dinurometru cu arc.

În urma prelucrării rezultatelor au fost trasate curbele reprezentate cu linii cu patrate în figura 69, în care cu linie continuă sunt reprezentate curbele teoretice.

Concordanța, cu mici abateri, dintre rezultatele teoretice cu cele obținute prin experiențe confirmă justitatea teoriei pentru stabilirea expresiilor algoritmului. Abaterile existente, sub 10%, se datorează neliniarităților introduse de amplificatoarele electrohidraulice, erori ce pot fi eliminate prin executarea unor modele mai perfecționate de AEH-uri.

Pentru determinarea performanțelor, sub aspect tehnologic, s-a utilizat aceiași piatră ca și stabilirea influenței parametrilor regimului asupra componentelor, forțelor de așchiere (pag.45) precum și aceiași piesă (care se vede în fotografia din fig.73b) confecționată din OLC45, în stare călită. Pentru efectuarea încercărilor au fost folosite 6 asemenea piese. Construcția fiecărei se caracterizează prin rigiditate, relativ mare, porțiuni de ieșire ale pietrei la capete de cursă și posibilități de montare pe ele a unor apărătoare pentru ca lichidul de răcire să nu pătrundă în traductoarele rezistive.

Încercările propriu-zise au fost efectuate în perioada de mijloc a durabilității pietrei, aceasta fiind apreciată după valoarea înscrisă în [58].

Obiectivele urmărite din punct de vedere tehnologic, au fost următoarele:

- menținerea constantă a  $s_1$  la diferite regimuri de lucru și variația rugozității;
- precizia de prelucrare de-a lungul piesei;
- capacitatea de producție a mașinii cu C.A.

Inaintea începerii încercărilor prin așchiere au fost eliminate abaterile de formă ale piesei prin reglarea corespunzătoare a poziției mesei superioare (care susține cele două pânuși) a mașinii de rectificat. Măsurarea dimensiunilor s-a făcut cu un micrometru.

Având în vedere că, asupra unei piese s-au făcut mai multe măsurători, la începutul fiecărei determinări, au fost eliminate erorile de la încercarea precedentă prin intermediul fazei de desfindere, astfel încât următoarea încercare putea fi considerată că s-ar fi executat asupra unei alte piese.

## 6.2. REZULTATELE ÎNCERCARILOR

### 6.2.1. Menținerea constantă a avansului longitudinal $s_1$

În vederea determinării variației  $s_1$ , s-au efectuat încercări variind atât valoarea forței de referință  $F_{yp}$  cît și adâncime-

În continuare și ne rază. Rezultatele măsurătorilor și respectivele valorile calculate ale avansului longitudinal  $s_1$  sunt trecute în tabelul 2.

Tabelul 2.

Fy daN	Jungimea st m/m cursă și rază mm	v <sub>m</sub> sec m/min	n <sub>p</sub> rot/min	s <sub>1</sub> mm/rot	Obs.
4	300	5	9,3	1,94	131 14,8
		10	10,5	1,71	118 14,6
		15	12,9	1,4	94 14,8
		20	16	1,12	73 15,4
		25	20	0,65	45 14,4
6	300	5	10,8	1,66	110 15,2
		10	11,1	1,62	106 15,3
		15	18	1,39	95 14,7
		20	13,2	1,36	87 14,6
		25	18	1,00	65 15,4
8	300	5	6	3,00	194 15,2
		10	6,2	2,9	192 15,1
		15	7,2	2,5	168 14,8
		20	8,4	2,15	142 15,2
		25	10,1	1,78	120 14,8
10	300	30	11,2	1,6	108 14,7
		5	6	3,0	195 15,4
		10	6	3,0	195 15,4
		15	7,8	2,31	156 15,65
		20	9	2,0	134 14,9
12	300	25	11	1,64	110 14,85
		30	13	1,39	93 15,1
		35	15,7	1,14	76 15,15
		10	6	3,0	196 15,3
		20	8,8	2,05	136 15,1
14	300	30	12,2	1,47	98 15,1
		40	15,5	1,16	78 14,9
		10	6	3,0	195 15,4
		20	8,3	2,17	144 15,05
		30	11,3	1,59	105 15,1
		40	13,3	1,35	90 15,02

In tabel se observă o variație relativ mică a avansului longitudinal cuprinsă între  $-4\%$  și  $+4,03\%$ , ceea ce demonstrează o funcționare bună a C.A. din acest punct de vedere.

### 6.2.2. Rugozitatea suprafetei

Suprafața piesei înaintea fiecărei determinări a avut aproape-  
ximativ aceiasi rugozitate și egală  $R_a \approx 1,5 \mu m$  obținută printr-o  
rectificare de degroșare.

Rugozitatea a fost măsurată cu rugozimetrul tip 6102,  
fabricat de firma Brüel și Kjaer.

Suprafața cu rugozitatea dată mai sus a fost rectificată  
cu diferite regimuri, respectiv diferite valori  $F_y$ . După prima  
trecere a fost măsurată rugozitatea în mai multe puncte de-a lungul  
piesei precum și după mai multe direcții radiale. Măsurările  
au fost efectuate perpendicular pe traectoriile granulelor abra-  
zive lăsate pe piesă.

Valorile forțelor  $F_y$  cu care s-a lucrat, parametrii regi-  
mului și valorile medii ale rugozităților  $R_a$  obținute sunt trecute  
în tabelul 3.

Tabelul 3

	$F_y$ daN	$v_m$ m/min	$n_p$ rot/min	$s_1$ mm/rot	$s_t$ m/cursă și rază	$R_a$ m	Obs.
4	1,4	94	14,8	15	0,61		
	1,12	73	15,4	20	0,58		
6	1,39	95	14,7	15	0,82		
	1,36	87	16,6	20	0,65		
8	2,5	168	14,8	15	0,85		
	2,15	142	15,2	20	0,65		
10	2,31	156	14,9	15	1,1		
	2,0	134	14,85	20	0,98		
12	2,65	177	14,8	15	1,15		
	2,05	136	15,1	20	0,90		
14	2,75	192	14,4	15	1,1		
	2,17	144	15,05	20	1,0		

Din tabel rezultă că odată cu creșterea componentei  $F_y$   
crește și înălțimea asperităților, la aproximativ același avans  
 $s_1$ , ceea ce se explică prin faptul că odată cu creșterea forței  $F_y$

prin cele pătrund mai adânc în material, crescând ușor fără să  
mea usperităților. Aceasta este important de reținut.

La aceleasi valori ale forței  $F_y$  și ale avansului longitudinal  $s_1$ , însă la viteze de deplasare mai mici ale mesei și adâncimi mai mari rezultă că rugozitatea scade. Fenomenul își găsește explicație în aceea că în timpul executării unei deplasări ale mesei egală cu avansul longitudinal (la viteze mai mici ale mesei) piatra execută pe această porțiune un număr de rotații mai multe, îmbunătățind calitatea suprafetei chiar dacă adâncimea de rectificare crește. Fenomenul nu este clarificat complet și necesită cercetări mai ample.

#### 6.2.3. Precizia de prelucrare

Încercările de precizie au fost efectuate asupra acelorași piese. Înaintea fiecărei încercări au fost eliminate abaterile de la forma cilindrică a piesei prin intermediul fazei de destindere. Atât înaintea încercării cît și după, măsurarea dimensiunilor s-a făcut în 3 puncte și anume: la 35 mm de la capete, în apropierea pănușii mobile  $P_m$ , în apropierea pănușii obiectului  $P_o$  și la mijlocul M al piesei.

Verificarea preciziei s-a făcut lucrîndu-se cu un avans transversal  $s_t = 20 \mu\text{m}$ , pe rază, la toate regimurile, în două cauzuri și anume;

- cînd componenta  $F_y$  ia diferite valori însă se păstrează constantă tot timpul de-a lungul piesei;
- cînd componenta  $F_y$  a fost variată manual în lungul piesei. Instalarea manuală a forței s-a făcut ținînd cont de rigiditatea STE (studiată anterior), deci pe bază de raționamente a preciziei.

Rezultatele măsurătorilor sunt trecute în tabelul 4,

Din datele conținute în tabelul 4, rezultă că în cazul variației componentei  $F_y$  precizia de prelucrare crește în medie de 2...3 ori, făță de prelucrarea cu forță constantă și aceasta numai la o realizare manuală a variației.

Instalarea automată a forței  $F_y$  crează condiții de obținere a unei precizii dimensionale chiar mai înalte, ceea ce evidențiază încă o dată, rezervele CA.

Tabelul 4

Rectif.	$F_y$	daN	4	6	8	10
cu	Dimensiunea măsurată după prelucrare	$P_m$	53,075	52,700	52,480	52,365
$F_y$	rare în mm	$M$	53,070	52,690	52,475	52,361
constantă		$P_{ob}$	53,070	52,689	52,470	52,352
			mm			
Rectif.:	$F_y$	daN	$P_m$	2	2	4
cu			$M$	4	4	8
$F_y$			$P_{ob}$	7	9	18
variabil	Dimensiunea măsurată după prelucrare rare în mm	$P_m$	53,110	52,746	52,570	52,365
		$M$	53,108	52,745	52,570	52,364
		$P_{ob}$	53,108	52,742	52,573	52,369
			mm			

Rectificările obișnuite, cu parametrii reglați constanți se situează, din punct de vedere al preciziei, sub posibilitățile prelucrărilor cu forță  $F_y = \text{constantă}$ .

#### 6.2.4. Capacitatea de producție

S-a determinat la rectificarea acelorași piese, plecând de la aceleiași condiții inițiale, adică la începutul fiecărei determinări, forma piesei de-a lungul axei sale a fost cât mai precisă posibil. Abaterile de conicitate s-au incadrat în toleranțe de  $\pm 3 \mu\text{m}$ . În acest mod erorile de calcul a capacitatei de producție  $C$ , exprimate în  $\text{mm}^3/\text{min}$  au fost practic neglijabile.

Capacitatea de producție s-a determinat în două situații și anume: fără CA și cu CA. În plus s-a urmărit în timpul încercărilor precizia de prelucrare și calitatea  $R_a$  a suprafeței.

În cazul rectificării fără C.A. stabilirea parametrilor regimurilor de rectificare pentru fazele de degroșare și finisare s-a făcut pe baza normativelor MICM, adaosul de prelucrare admis fiind de 0,24 mm pe diametru din care 80% s-a propus a se elimina la fază de degroșare iar 20% la fază de finisare.

Pe baza cunoașterii diametrului inițial a piesei a adăosurilor de aşchiere la degroșare și finisare și a valorilor adăosurilor de prelucrare s-a determinat numărul de curse necesare pentru ambele faze, așa cum se procedează în mod obișnuit. Pe mașină au fost instalate valorile  $v_m$  și  $n_p$  rezultate din calcul.

Determinarea timpului de rectificare la cele două faze s-a făcut prin cronometrare.

Parametrii de aşchiere, rezultatele măsurătorilor (efectuate de cca 3 ori) și valorile capacitaților de producție la degroșare  $Q_d$  și finisare  $Q_f$  sunt trecute în tabelul 5.

Incercarea în condițiile CA s-a făcut admitînd același adăos de prelucrare, repartizat pentru fazele de degroșare și finisare ca și la prelucrarea fără CA. Mărimele forțelor de referință au fost alese pe baza cunoașterii relațiilor dintre parametrii de aşchiere și a forței  $F_y$ , cercetate în paragraful 3.2.3.

Stînd că mașina cu CA elimină posibilitățile de supraincărcare și că în faza de pătrundere se necesită timp pînă cînd avansul transversal  $s_t$  reglat devine aproape egal cu cel real, din cauza deformațiilor STE, la prima trecere folosind CA s-a lucrat cu un avans transversal de 4 ori mai mare, iar trecerile de degroșare și finisare cu un avans transversal de două ori mai mare. În acest mod s-a creat condițiile de trecere, relativ rapid, la vitezele maxime de îndepărțare a adosului de prelucrare, avansul transversal reglat devenind egal cu avansul transversal real. A fost posibil în acest mod să se reducă numărul de curse duble de la 14 fără CA la 6 cu CA.

Parametrii de lucru, rezultatele măsurătorilor și valorile capacitaților de producție la degroșare  $Q_d$  și finisare  $Q_f$  sunt trecute în tabelul 6.

Din analiza rezultatelor conținute în cele două tabele rezultă următoarele:

a) În urma efectuării trecerilor de degroșare și finisare prevăzute inițial, în ambele cazuri de prelucrare, adăosul de material îndepărțat a fost în medie de 200 m față de cel prevăzut 240 m. Această neconcordanță se datorează deformației STE.

b) Capacitatea productivă  $Q_d$  la degroșare, în cazul rectificării fără CA, este mai mică decît  $Q_f$  la finisare, și aceasta tot din cauza deformațiilor STE. Acest lucru face ca, în caz concret,

Tabelul 5

Adaosul de material efectiv îndepărtat 200 200 200  
în  $\mu\text{m}$  pe diametru

	$s_t \frac{\mu\text{m}}{\text{cursa și rază}}$	10	10	10
Degro-	$n_p \text{ rot/min}$	100	100	100
gare	$v_m \frac{\text{m}}{\text{min}}$	2,4	2,4	2,4
	Nr.curse	10	10	10
	$s_1 \frac{\text{mm}}{\text{rot}}$	24,5	24,5	24,5
	$s_t \frac{\mu\text{m}}{\text{cursa și rază}}$	5	5	5
Finisare	$n_p \text{ rot/min}$	200	200	200
	$v_m \frac{\text{m}}{\text{min}}$	2,1	2,1	2,1
	Nr.curse	4	4	4
	$s_1 \frac{\text{mm}}{\text{rot}}$	20	20	20
Capacitate	$Q_d$	2360	2150	2570
productivă	$Q_f$	3650	3030	3830
$\frac{\text{mm}^3}{\text{min}}$	$Q_{\text{tot}}$	6010	5180	6400
Precizie	$P_m$	50,206	49,952	49,818
degrosare	$M$	50,195	49,950	49,815
$\frac{\text{mm}}{\text{mm}}$	$P_o$	50,192	49,942	49,810
Precizie	$P_m$	50,118	49,886	49,730
finisare	$M$	50,125	49,878	49,727
	$P_o$	50,120	49,876	49,725
$R_a$	Degrosare	1,6	1,5	1,5
$\frac{\text{m}}{\text{m}}$	Finisare	1,5	1,4	1,5
Timpul	Degrosare	68,7	68,5	69
	Finisare	27,4	27,2	27,1

INSTITUT  
TEHNIC  
RA  
TRAIA

Adaosul de material

efectiv îndepărțat	200	200	200
în m pe diametru			

Regim așchiere	<u>s<sub>t</sub></u> <u>μm</u> <u>cursă și</u> <u>rază</u>	40	40	40
pătrun- dere	<u>F<sub>y</sub></u> daN	12	12	12
	Nr curse	1	1	1
Regim degroșare	<u>s<sub>t</sub></u> <u>μm</u> <u>cursă și</u> <u>rază</u>	20	20	20
	<u>F<sub>y</sub></u> daN	12	12	12
	Nr.curse	3	3	3
Regim finisare	<u>s<sub>t</sub></u> <u>μm</u> <u>cursă și</u> <u>rază</u>	10	10	10
	<u>F<sub>y</sub></u> daN	8	8	8
Capacitate productivă	<u>Q<sub>d</sub></u>	4750	4730	4610
	<u>Q<sub>f</sub></u> <u>mm<sup>3</sup></u>	3240	3940	3910
	<u>Q<sub>total</sub></u> <u>mm</u>	7990	8670	8520
Precizia degroșare	<u>P<sub>m</sub></u>	49,608	48,950	48,773
	<u>M</u>	49,606	48,950	48,768
	<u>P<sub>ob</sub></u>	49,603	48,945	48,768
Precizia finisare	<u>P<sub>m</sub></u>	49,540	48,910	48,722
	<u>M</u>	49,536	48,906	48,720
	<u>P<sub>ob</sub></u>	49,536	48,905	48,718
R <sub>a</sub>	Degrosare	1,4	1,5	1,45
m	Finisare	0,8	0,9	0,94
Timpul	Degrosare	38,6	37	38
	Finisare	27,9	26	26,2
	Total	66,5	63	56

componenta medie a forței de rectificare  $F_y$  să fie, în toate cazurile cînd se lucrează prin metoda obișnuită la valori frecvente ale adaosului de prelucrare, mai mică decît valoarea medie a aceleiași componente la finisare. Această situație are influență negativă asupra preciziei de prelucrare și asupra duratei fazei de destindere.

c) La rectificarea folosind CA se observă că  $Q_d > Q_f$  ceea ce este de fapt rational.

d) Capacitatea productivă medie a mașinii cu CA, la faza de degroșare, este de cca 1,98 ori mai mare decît a mașinii fără CA, în timp ce la faza de finisare capacitatea medie de producție a mașinii cu CA a rezultat aproximativ egală cu a mașinii fără CA.

e) Preciziile de prelucrare rezultate, sunt mai mari în cazul rectificării cu CA de cca 2,2 ori la faza de degroșare și de cca 1,57 ori la faza de finisare față de prelucrarea fără CA. Se precizează că la rectificarea cu CA s-a lucrat cu forță constantă, după cum rezultă din tabelul 6.

f) Calitatea suprafeței  $R_a$ , după fazele de degroșare în ambele cazuri a rezultat aproximativ aceiași în schimb după faza de finisare, la rectificarea cu CA valoarea lui  $R_a$  a fost de cca 1,6 ori mai mică decît la prelucrările fără CA. Acest lucru se datorează faptului că în cazul prelucrării fără CA, la faza de finisare componenta  $F_y$  având, în ultima trecere, o valoare foarte apropiată de valoarea aceleiași forțe la ultima trecere de degroșare, granulele abrazive și-au redus relativ adâncimea de aşchieri ceea ce a făcut să se obțină o rugozitate cu ceva mai mică.

### 6.3. Concluzii comparative

Avantajele sintetizate, rezultate în urma încercărilor, a mașinii de rectificat BK3 cu CA, față de aceiași mașină fără CA sunt:

- precizia de prelucrare crește de cca 2...3 ori;
- capacitatea medie de producție crește de cca 1,43 ori;
- rugozitatea suprafeței se îmbunătățește de cca 1,6 ori.

Aceste avantaje cît și rezervele existente privind îmbunătățirea preciziei de prelucrare în cazul instalării automate a valorii componentei  $F_y$  în cîmpul bidimensional al mașinii, și a reducerii duratei fazei de destindere, justifică indiscutabil realizarea mașinilor de rectificat cu CA. Se adaugă că eficiența economică a mașinii-unelte cu CA este mai ridicată respectiv costul operației de prelucrare este mai mic.

## 7. CONCLUZII GENERALE

1. În ultimii ani pe plan mondial se desfășoară, intense cercetări în scopul cunoașterii mai profunde a procesului de rectificare în deosebi pentru că concluziile desprinse să poată servi la conceperea și realizarea unor mașini de rectificat cu CA cît mai eficiente atât sub aspectul calității pieselor prelucrate cît și a creșterii capacitatei de producție a acestora. Se duc totodată intensive cercetări pentru a se stabili soluțiile concrete de realizare a CA respective.

2. Procesul de rectificare este relativ complex atât din cauza numărului mare de factori participanți în proces cît și din cauza variației caracteristicilor așchietoare ale granulelor abrazive chiar în cursul unei operații. Cuprinderea tuturor factorilor și a modificărilor lor în expresii matematice care să servească la calculul parametrilor optimi de rectificare este o problemă deocamdată imposibilă. Ca urmare, actualmente, nu se pot încă cunoaște valori efective și deci și cele optime ale parametrilor regimului de rectificare.

3. Factorii care impun realizarea mașinilor de rectificat cu C.A sunt în strânsă legătură cu îmbunătățirea indicilor de calitate a pieselor rectificate (precizie dimensională, de formă de calitate a suprafeței), cu mărirea capacitatei de producție, cu reducerea posibilităților de suprafincărcare a mașinii și a consumului de energie. Aceste aspecte originale sunt tratate pe larg în prezența lucrare.

4. S-a efectuat analiza critică a CA pentru mașinile de rectificat, pe plan mondial, a performanțelor obținute cu acestea, rezultând concluzii clare referitoare la construcția pe care trebuie să o sărbătoare de rectificat cu C.A concluzii pe baza cărora sunt elaborat soluțiile din prezentă teză.

5. Studierea amănunțită a metodologii actuale de stabilire a parametrilor regimurilor de rectificare a scos în evidență că prin acestea se obțin valori orientative ale parametrilor de așchiere ale forțelor și puterilor, mai mari decât valorile reale ale acestora. Neconcordanța dintre parametrii de așchiere calculați și cei reali se datorează deformațiilor STE care în plus

duce și la micșorarea preciziei de prelucrare. La rectificare fenomenul se evidențiază mai mult decât la celelalte procedee, întrucât deformarea STE reprezintă o cotă relativ mai mare din adâncime a stratului de material îndepărtat la o trecere.

6. Studierea regimului de rectificare în condițiile existenței CA a scos în evidență următoarele:

- posibilitatea compensării influențelor produse de rigiditatea STE în scopul îmbunătățirii preciziei dimensiunale și de formă a rugozității suprafetei și creșterii capacitatii productive;
- evitarea posibilităților de supraîncărcare peste limita admisă a mașinii și evitarea creșterii temperaturii, în zonele de contact dintre piatră și obiect, peste valorile admisibile, ca urmare a variației adâncimii de aşchieri sau a duratăii materialului;
- reducerea totală a volumului de timp necesar tehnologilor pentru calculul parametrilor regimurilor de aşchieri;
- posibilitatea controlării obiective a durabilității pietrei abraziive;
- viteza periferică a pietrei de rectificat se recomandă să fie cât mai mare, fără însă a depăși valoarea maximă admisă de piatră.

7. Valorile componentelor  $F_z$  și  $F_y$  determinate experimental sunt mai mici decât valorile calculate cu ajutorul formulelor (3). Această neconcordanță se datorează deformării STE. Fenomenul este mai accentuat în fazele de punândere a pietrei în material. Rezultă de aici că la stabilirea parametrilor de aşchieri la rectificare, în întreprinderile constructoare de mașini, ar trebui să se țină seama de rigiditatea STE pe care se execută prelucrarea ceea ce însă este foarte dificil fără o CA. Aceasta este o sursă pentru creșterea capacitatii productive a mașinii.

Cercetările experimentale, executate de autor, au arătat de asemenea că valorile componentelor  $F_z$  și  $F_y$  sunt influențate în mai mare măsură de viteza  $v_m$  de deplasare a mesei (fig.26a,b,c,d,e) și mai puțin de turăția  $n_p$  a piesei (fig. 6g). Practic, din graficele de mai sus rezultă că obținerea unor anumite valori ale celor două componente este posibilă prin modificarea corespunzătoare a vitezei  $v_m$ .

La prelucrările de pătrundere componentele forței  $F_z$

și  $F_y$  depind de valorile avansului transversal (fig. 26f).

8. Durata ciclului de rectificare poate fi redusă prin tensionarea în timp scurt a STE la o valoare necesară, respectiv admitîndu-se la prima trecere a fazei de pătrundere un avans transversal de cca 2...4 ori mai mare decît avansul în faza stabilă a regimului de rectificare și prin reducerea duratei fazei de destindere. Aceasta din urmă este posibilă numai dacă dacă la sfîrșitul celei de a doua faze (cu avans transversal constant) erorile de formă ale piesei sunt foarte mici, ceea ce se obține numai prin variația componentei  $F_y$  în cîmpul bidimensional al mașinii.

9. Studiile teoretice și experimentale ale rigidității mașinii au demonstrat că aceasta variază în lungul axei mașinii, stabilindu-se pentru cazul concret al mașinii, BK3 valorile rigidității statice ale subansamblelor componente: păpușă mobilă, păpușă obiectului și a subansamblului arbore principal. În acest sens, în cadrul lucrării s-a elaborat o metodă simplă pentru determinarea rigidității statice a mașinilor de rectificat rotund exterior.

Datorită variației rigidității mașinii în lungul axei sale rezultă că la prelucrările cu parametrii de aşchiere reglați constanți nu este posibilă obținerea unei precizii ridicate a dimensiunilor și formei piesei. Această precizie ridicată poate fi obținută numai prin modificarea corespondențoare a componentei  $F_y$  astfel ca raportul  $F_y / J_{STE}$  să rămînă tot timpul constant. Plecind de la această idee a fost dedusă relația originală (34) dintre componentă  $F_y$ , rigiditățile subansamblelor  $J_o$ ,  $J_m$ , rigiditatea piesei, rigiditatea subansamblului principal și a pietrei, deformarea  $y_g$  admisă de precizia de prelucrare și deplasarea  $x$  în lungul piesei, pe baza căreia se pot obține, printr-o CA, piese foarte precise.

10. Rugozitatea suprafeței rectificate rezultă în urma fazei de destindere și depinde de rugozitatea înaintea acestei faze, de durata fazei de destindere, de starea suprafeței pietrei, de proprietățile materialului de prelucrat, de vibrații și de regimul de corecție al pietrei.

11. În urma analizei CA pentru mașini de rectificat, pe plan mondial, și a studiilor teoretice și experimentale amănunteștiile a procesului de rectificare s-a admis ca mărime de referință

în CA, componenta  $F_y$ . Avantajele alegerii acesteia constă în:

- posibilitatea măsurării ei în procesul de lucru;
- controlul prin intermediul ei a deformărilor din STE, deci precizia de prelucrare;
- dependența cantității de material îndepărtat, (capacitatea de producție) de gradul de tensionare a STE, deci și de valoarea componentei  $F_y$ .
- posibilitatea modificării parametrilor regimului de rectificare prin intermediul componentei  $F_y$  și invers.

12. S-au demonstrat expresiile matematice originale ale algoritmului rectificării cu avans longitudinal (relațiile 48) și cu avans de pătrundere (relațiile 56), arătându-se posibilitatea comandării automate a doi parametrii ai regimului și anume: a vitezei  $v_m$  a mesei și a turației  $n_p$  a obiectului la prelucrările cu avans longitudinal și a turației  $n_p$  și a vitezei  $V_t$  la prelucrările prin pătrundere, în funcție de componenta  $F_y$ , admisă ca mărime de referință.

13. Algoritmul dedus a permis conceperea schemei de principiu (fig.43) a unei CA pentru mașinile de rectificat rotund exterior între vîrfuri, în cazul prelucrărilor cu avans longitudinal, care permite comanda automată a doi parametrii  $v_m$  și  $n_p$ , funcție de mărimea de referință  $F_y$ .

14. Elementele traductoare (vîrfurile dinamometrice și elementul manometric), concepute, studiate, realizate și încercate de autor s-au dovedit a fi corespunzătoare, atât din punct de vedere static cât și dinamic, în realizarea CA pentru mașini de rectificat. Cele mai mari avantaje le are, din acest punct de vedere, elementul manometric care nu reduce posibilitățile tehnologice a mașinii, fără pentru a putea fi folosit, arborele pietrei de rectificat trebuie să fie sustentat hidrostatic.

15. Din studiul posibilităților de reglare automată a parametrilor  $v_m$  și  $n_p$  funcție de componenta  $F_y$ , cea mai favorabilă s-a dovedit aceea care utilizează ca element de reglare amplificatorul electrohidraulic. Acesta necesită puteri de comandă foarte reduse.

Dat fiind faptul că pentru acesta nu existau relații matematice și o metodică de proiectare care să permită construcția cu dimensiuni optime și care totodată să satisfacă indicii impuse întregului element, lucrarea conține o rezolvare originală a problemelor de mai sus, confirmată de rezultatele încercărilor experimentale.

Caracteristicile amplificatorului electrohidraulic, (pag. 125), proiectat prin metoda și formulele deduse de autor, sunt la nivelul caracteristicilor elementelor de reglare de acest tip și de aceeași mărime, fabricate de firmele specializate AEG și REXTRON.

În cazul concret a CA concepute, AEH îndeplinește funcția de servoregulator de viteză. El însă poate avea utilizări mult mai generale în mașinile cu acționări și comenzi hidrostatice, inclusiv în sistemele de urmărire.

16. Antrenarea obiectului cu hidromotor rotativ de tip orbital model OMP50 s-a dovedit avantajoasă atât sub aspectul creșterii indicilor de calitate a rectificării (precizie dimensională, calitatea suprafetei) cît și a posibilității de reglare automată, mai simplă și mai economică, a turăției piesei în limite mai largi. Deosebirea gabaritul hidromotorului rotativ este mult mai redus (de cca 3-4 ori) decât a motorului electric de antrenare.

17. Complementările noi aduse acționării hidrostatice a mașinii BK3 în vederea înzestrării ei cu C.A. sunt relativ puține, iar în cazul reproiectării unei mașini de rectificat pentru a o realiza cu CA, partea hidrostatică a CA se îmbină funcțional cu acționările hidrostatice ale acestuia, rezultând în final, blocuri hidrostatice de comandă și reglare mai compacte și cu performanțe dinamice superioare.

18. Partea electrică originală a CA asigură îndeplinirea funcțiilor tehnologice impuse, este realizată cu elemente electrice de nivel tehnic corespunzător și tot odată, este ieftină, ocupând un volum relativ mic.

19. Comanda adaptivă (fig.73), realizată și studiată experimental, concepută conform algoritmului și cu ajutorul elementelor de automatizare studiate și încercate, a demonstrat în cadrul încercărilor următoarele:

- a) confirmarea practică a teoriei privind deducerea algoritmului (fig.69);
- b) avansul longitudinal  $s_1$  s-a menținut relativ constant, având abateri care s-au incadrat în cca  $\pm 4\%$  (tab.2);
- c) precizia de prelucrare a piesei prinse între vîrfuri, la prelucrarea cu  $F_y$  variabil în lungul piesei a fost

de cca 2...3 ori mai mare decât în cazul prelucrării cu  $F_y$  constant;

- d) rugozitatea  $R_a$  a suprafeței la sfîrșitul fazei de finisare, în cazul rectificării cu CA a fost de cca 1,6 ori mai mică decât  $R_a$  la sfîrșitul aceleiași faze obținută prin rectificarea fără CA;
- e) capacitatea de producție a mașinii a crescut în cazul prelucrării cu CA în medie de 1,4 ori, față de capacitatea de producție a aceleiași mașini, în aceleasi condiții de lucru, fără CA.

20. S-a soluționat problema unei CA pentru mașini de rectificat de tipul celor care se produc la noi, comandă care este superioară puținelor exemple cunoscute pînă în prezent pe plan mondial, prin faptul că regleză doi parametrii avînd elemente și performanțe superioare. Costul mașinii de rectificat cu CA, rezultă cu cca 35.000 lei mai ridicat decât al mașinii de rectificat de același model fără CA., și aceasta la o ridicare a performanțelor dată mai sus. Eficiența CA este astfel mai mult decât evidentă.

BIBLIOGRAFIE

1. Acerkan, N.S. și - Metallorejuscie stanki, vol I și vol II Izdatelstvo Masinostroenie, Moskva 1965
2. Bulacsin, B.S. - Samopodnastraiwaiuscisia stanki. Izdatelstvo, "Masinostroenie" Moskva 1965. Izdanie 1-e.
3. Bulacsin, B.S. - Samopodnastrainaiuscisia stanki. Izdatelstvo "Masinostroenie", Moskva 1968, Izdanie 2-c.
4. Bulacsin, B.S. - Idem, Moskva, 1970, Izdanie 3-e.
5. Bulacsin, B.S. - Idem, Moskva, 1974, Izdanie 4-e.
6. Bozrov, B.M. - Víbor sposoba adaptivnogo upravlenia protessom mehaniceskoi obrabotki detalei. In: Stanki i instrument, nr.8 1974.
7. Bașta, T.M. - Mašinostroitelnaia gidraulica, Moskva 1963.
8. Boangiu, Gh. - Contribuții la reglarea automată a regimului de aşchiere la mașinile de frezat universale. Teză doctorat, Universitatea Brașov 1970.
9. Botez, E. - Mașini-unelte, vol.II .Automatica, Editura tehnică, București, 1972.
10. Botez, E. - Mașini-unelte, vol.III, Organologia și dinamica, Editura tehnică, București, 1973.
11. Budigan, N. - Automatizări și telecomenzi. Editura didactică și pedagogică, București, 1968.
12. Buzdugan, Gh., M. Blumenfeld - Tensometria electrică rezistivă, Editura tehnică, București, 1966.
13. Călin, S., Belea, C. - Sisteme automate adaptive și optimale. Editura tehnică, București, 1971.

14. Deacu,L. și a. - Fremd und selbsterregte Schwingungen beim Ausschrundenstellschleifen.; Industrie Anzeiger, nr 51, 19.06.1973.
15. Dodon, E. - Asupra reglării automate a regimului de așchiere. Teză de doctorat, Institutul Politehnic, București, 1962.
16. Dodon, E. - Mașini-unelte, curs Fac.Mec.I.P.T.V.T.
- 8 17. Dodon, E., Urdea, G. - Studiu privind comanda adaptivă la mașinile de rectificat rotund exterior între vîrfuri. Contract cu I.M.U.A. Bucuresti, 4.IX.1973.
18. Dodon, E., Urdea, G., Vonica, C. - Studiu asupra dezvoltării actuale pe plan mondial a mașinilor-unelte cu comandă adaptivă. Contract de cercetare științifică. Beneficiar I.C.P.M.U.A. București, 1971.
19. Dodon, E. - C.A. a mașinilor-unelte. Catedra T.C.M. I.P.T.V.T.
20. Dodon, E., Urdea, G. - Analiza sistemelor actuale de reglare automată a regimurilor de lucru (comenzi adaptive) la mașini de rectificat. Catedra T.C.M. I.P.T.V.T.
21. Dodon, E., Urdea, G. - Despre principaliii parametrii ai amplificatoarelor electrohidraulice cu transformator electromecanic. Comunicată la „Sesiunea de comunicări a lucrărilor științifice de colaborare cu producția”. 31.05.1969. Institutul Politehnic Timișoara.
22. Dodon, E., Urdea, G., Nica, C. - Element traductor pentru variațiile de presiune în sistemele hidraulice ale mașinilor-unelte. In: Buletinul științific și tehnic al Institutului Politehnic Timișoara, Tomul 13 (27), ianuarie-iunie 1968 pag.67-74.

23. Dodon, E., Urdea, G., Nica, C. - Stand pentru incercarea paratajului hidraulic din actionurile masinilor-unelte: In: Buletinul științific și tehnic al Institutului politehnic Timișoara Tom 14(28) ianuarie-iunie 1969, pag.201-207
24. Dodon, E., Urdea, G. - Studiul parametrilor regimurilor de așchiere la rectificare în condițiile automate. Catedra T.C.M. I.P.T.V.T.
25. Drăucean, A. - Mașini-unelte și prelucrări prin așchiere - Editura didactică și pedagogică București, 1968.
26. Duca, Z. - Bazele teoretice ale prelucrărilor pe mașini-unelte. Editura didactică și pedagogică, București, 1969.
27. Duca, Z. - Așchierea metalelor, Partea II Operațiile de prelucrare prin așchiere. Litografia și tipografia învățământului, București, 1957.
28. Ernst, L. și Stern, H. - Sisteme automate hidraulice. Traducere din limba engleză-S.U.A., Editura tehnică, București, 1968.
29. Ernst, V. - Gidroprinod i ego promyslennoe primenenie (trad. din l. engleză) Moskva, 1963.
30. Hamar, F. - Rectificarea profilurilor pe mașini de rectificat plan. Traducere din limba cehă, Editura tehnică, București, 1963.
31. Harris, C., M., Crede, C., E. - Socuri și vibrații, vol.1, Editura tehnică, București, 1968.
32. Horung, A. - Einfluss der schwingungsamplitude auf die Standzeit von Schleifscheiben. In: Werkstatt und Betrieb, nr.104, 1971, p. 711-712.
33. Horung, A. - Präzisionssteigerung einer Schleifmaschine. In: Werkstatt und Betrieb, nr. 106 (1973) p.383-385.

34. Hughens, F.H., Richards,B.A.- Spannungsmessungen an kunstharzge bundenen Diamantschleifscheiben beim Schleifen von Wolframhartmetall Hartmet GG (carboloy 44 A). Diamond Research Laboratory, Johannesburg, Südafrika.
35. Iascerițiu, P.I., Jálne povici, E.A.- Slifovanie metallov, Minsk, 1970.
36. Jessup,W.F. - Determination du rendement des rectifières. In: Machine-Outil, nr.273 martie 1971 și nr.289 august-septembrie 1972.
37. Kamenetskii, G.I. - Slediaście zolotniki dla stankov s programmim upravleniem. In: Stanki i instrument nr.5; 1951..
38. Kaminskaia,V.V.,Gorodetskii,M.S. i Feldman,M.S.- Sostoianie i tendenții razvitiia adaptivnogo upravlenija In: Stanki i instrument nr.8, avgust 1974.
39. Kalotenkov, W.F. - Adaptiv control bei der Schleif-bearbeitung. In: Steuerungstechnik, 4(1971), nr.12, p.422-427.
40. König, W., Depiereux, W.- Wie lassen sich Vorschuch und Schnittgeschwindigkeit optimieren. In: Industrie Anzeiger, nr.61, 22.07.1969, p.17...20
41. König, W., Werner,G.,Younis,M.A.- Entwicklung von Parametern zur Darstellung des Arbeitsergebnisses beim Schleifen. In: Industrie Anzeiger, nr.34, 23.04.1971, p.763...767.
42. Landberg, F. - Cercetarea procesului de rectificare, In: "Microtechnic" nr.k,1957.
43. Levin, A.I. - Electroghidravliceskii privod podaci s širokim diapazonom bestupenceatogo regulirovania skorasti; In: Stanki i instrument nr.10; 1964.
44. Levinson, B.A. și a. - Dinamiceskie electroghidravliceskogo, reguliatora: In: Pribor i sistemi upravlenia nr.12 din 1967.

45. Livgıt, S. și a. - Adaptivnaia sistema upravlenia tocinstiu formi poperecinogo secenia detali pri vpezonom șlifovaniil. In: Stanki i instrument, nr.8, 1974.
46. Lurie, G.B. - Vibrația la rectificare. In: Stanki i instrument, nr.6, 1959.
47. Lurie, G.B. - Alegerea criteriului de durabilitate a pietrei de rectificat în legătură cu cerințele de calitate a suprafeței. In: Stanki i instrument, nr.6.
48. Lurie, G.B. - Slifovanie metallov, Izdatelistvo, "Masinostroenie" Moskva, 1969.
49. Maslov, E.N. - Bazele teoriei rectificării metalelor. Traducere din l.rusă, I.D.T. București 1951
50. Miller,R.C., Sagar,A.-Comanda adaptivă a mașinilor prin analiza zgometelor produse în timpul aşchierii.In:Machinery,121,nr.3135,13 dec. 1972.
51. Mixolikievici, V.N. - Avtomaticeskie sistemi upravlenia poperecinoi podacei pri vnutronnem șlifovanii. In: Stanki i instrument, nr.8 1975.
52. Modlin, S. - Traductor manometric. Stanki i instrument nr.7.1958.
53. Nădăgan, St. și a. - Manualul tehnicienului din laboratorul de încercări de metale. Editura didactică și pedagogică. București 1969.
54. Oprean,A și a. - Sistemele hidrostatice ale mașinilor unelte și preseelor, Editura tehnică, București, 1966.
55. Pahlitzsch,G.,Lange,E. - "Werkstatttechnik und Maschinenbau" 1957, N.5, p.209-216.
56. Penescu, C. și a. - Identificarea experimentală a proceselor automatizate. Editura tehnică, București, 1971.
57. Penescu, T., Petrescu,V.- Măsurarea presiunilor în tehnică. Editura tehnică, București, 1968.

58. Picos și a. - Calculul adaosurilor de prelucrare și al regimurilor de aşchiere, Editura tehnică Bucureşti, 1974.
59. Plesakov, F.K. - Adaptivnie sistemi upravlenia proçessom ploskogo šlifovania. In: Stanki i instrument. nr.8. 1974.
60. Răduleţ, R. - Bazele electrotehnicii. Probleme vol.I Teoria macroscopică a fenomenelor electrice și magnetice. Bucureşti, Editura didactică și pedagogică, 1963.
61. Salje, E. - Strategien zur Prozessoptimierung beim Aussenrundeinstechschleifen. In: industrie Anzeiger, nr.51, 19.06.1973.
62. Salje, M. - Bazele procesului de rectificare. In: „Werkstattechnic und Maschinenbau” II, IV, 1953.
63. Schwaighofer, W. - Ein adaptives wrkzeug system. In: „Werkstatt und Betrieb”, nr.9, sept.1974.
64. Simon, Wilhelm. - Conducerea numerică a maşinilor-unclte, Traducere din limba germană, Editura tehnică, Bucureşti, 1974.
65. Sirotin,A.,A și Avert'ev,V.,I.- Beskontaktnaia sistema automatiseskogo upravlenia šlifovalinimi avtomatami. In: Stanki i instrument, nr.2.1972.
66. Stătiu,G.,Marton,E.- Stabilirea unor principii de bază la studierea procesului de rectificare cu scule abrazive. In: Buletinul Științific al I.P.Cluj nr.5, 1962
67. Takeyama, H. și a. - Direktmessungen in der Metallbearbeitung. In: Werkstatt und Betrieb, nr.9, 1973.
68. Thormählen, Kl-H. - Einfluss der Schnittgeschwindigkeit auf den Schleifprozess. In: Industrie Anzeiger, nr.90/91, 26.10.1973.
69. Urdea, G., Radu, I. - Contribuţii la stabilirea regimurilor optime de rectificare a canelurilor arborilor canelaţi. Comunicată la "Sesiunea Științifică organizată în cînstea celei de a XXV-a Aniversare a Proclamării

70. Urdea, G.
- Contribuții teoretice și experimentale privind reglarea automată a regimurilor de angajiere la rectificarea rotundă exterioară. În: " Comunicările celei de a II-a conferință din domeniul proceselor și utilajelor de prelucrare la rece", 26-27 octombrie 1973.
71. Urdea, G.
- Element traductor pentru măsurarea forțelor la rectificarea rotundă exterioară. Comunicat la „Sesiunea științifică dedicată celei de a XXX-a aniversări a eliberării patriei și Congresului al XI-lea al P.C.R., Timișoara 16-18 iunie 1974.
72. Vaida, A. și a.
- Mașini-unelte, Editura didactică și pedagogică, București, 1970.
73. Vanek, I.
- Avtokolebania pri šlifovaní. În: Stanki i instrument nr.6, 1975.
74. Volk,S.F. și R.P.Chase.- Adaptive controls. In: Machinery and production engineering, 20 iunie, 1973.
75. Dr.Ryuji Wada, Karija,- Adaptive steuerung einer Rundschleifmaschine. In: Werkstatt und Betrieb, vol. 104, nr.6 iunie 1971, pag.391-397.
76. Watanabe, K.
- Engineering (Japan) 1957, N2,N3,N4,N5,N6.
77. x x x
- Adaptive control grinding machine: Model GON 20 A-C, Catalog, Firma Toyoda Machine Works, LTD.
78. x x x
- "Adaptive control" system for churchill roll grinding machine. In: Machinery and Production Engineering, octombrie 2, 1968.
79. x x x
- Andamento de la macchina utensile U.S.A; In: Macchine. nr.7/8.1974, pag.132.
80. x x x
- Comanda sau reglarea adaptivă la mașini-unelte. In: Toyo Kogyo, Co LTD.iulie 1973.
81. x x x
- Catalog de elemente hidraulice modernizate I.C.T.C.M.

82. x x x - Electronische Vorschubregelung für schleimmaschinen. In: Werkstatt und Betrieb nr.106 (1973).
83. x x x - Instalație de comandă adaptivă geometrică la mașini-unelte. In: "Industrie Anzeiger", nr.87, 20.10.1972.
84. x x x - Mașini de rectificat rotund exterior, Prescripții de precizie STAS 2672-65.
85. x x x - Moteurs hydrauliques et accessoires; Printed in Deumark by Danfoss Litho-1973.
86. x x x - Normative de regimuri de aşchiere și timpi auxiliari <sup>pentru</sup> operației de rectificare. M.M.C.M. Uzina de construcții de mașini Reșița 1973.
87. x x x - Reglarea adaptivă a mașinilor-unelte. In: "Automatizări și telecomenzi", nr.11, 1971.
88. x x x - STAS 1590/1971 - Semne convenționale pentru aparataje și instalații electrotehnice.
89. x x x - STAS 7145/65 - Semne convenționale - Acționări hidrostatiche și pneumatiche.
90. x x x - Teoria reglării automate - Culegere de probleme Editura tehnică, 1964.
91. x x x - Universal messeinrichtung UM 111, UM 131, VEB-RFT-Messelectronik; Dresden.
92. x x x - Une révolution dans la rectification de précision, La "FORCE CONTROLEE". In: Machine Moderne, février, 1964, p.39...43.
93. x x x - Werkstatt und Betrieb, Nr.2/1971, p.115.

C U P R I N S U L

	pag.
1. INTRODUCERE.....	1
1.1. Locul comenziilor adaptive în dezvoltarea mașinilor-unelte.....	1
1.2. Factorii care impun introducerea comenziilor adaptive la mașinile de rectificat.....	4
2. ANALIZA COMENZIILOR ADAPTIVE PENTRU MASINILE DE RECTIFICAT, PE PLAN MONDIAL.....	7
2.1. Probleme generale	
2.2. Comenzi adaptive pentru mașini de rectificat rotund exterior între vîrfuri.....	8
2.3. Comenzi adaptive pentru mașini de rectificat rotund interior.....	15
2.4. Comenzi adaptive pentru mașini de rectificat plan	19
2.5. Comenzi adaptive pentru mașini de rectificat arbori canelați.....	20
2.6. Comenzi adaptive pentru automate de rectificat interior inele de rulmenti.....	22
2.7. Concluzii . . . . .	24
3. REGIMUL DE AŞCHIERE ÎN CONDIȚIILE COMENZII ADAPTIVE.	27
3.1. Aspecte ale fenomenelor fizice la rectificare..	27
3.2. Analiza metodologică actuală de stabilire a parametrilor regimului la rectificarea rotundă exterioră între vîrfuri.....	29
3.2.1. Viteza periferică a discului la rectificare	34
3.2.2. Durabilitatea pietrei abrazive și criterii de durabilitate.....	36
3.2.3. Influența parametrilor regimului de așchieră asupra componentelor forței de rectificare.....	40
3.2.4. Analiza ciclului de lucru la rectificarea rotundă exterioră, influența fazelor ciclului asupra capacitatei productive și calității pieselor rectificate.....	48

	pag
3.2.5. Rigiditatea STE în condițiile rectificării... rotunde exterioare între vîrfuri, folosind comanda adaptivă,.....	55
3.2.6. Rugozitatea suprafetei.....	66
3.3. Algoritmul rectificării rotunde exterioare între vîrfuri.....	71
3.3.1. Alegerea mărimi de referință.....	71
3.3.2. Algoritmul rectificării rotunde exterioare între vîrfuri.....	73
3.4. Schema de principiu a comenzi adaptive.....	79
<b>4. ANALIZA COMPONENTELOR COMENZII ADAPTIVE.....</b>	<b>82</b>
4.1. Element traductor pentru măsurarea forțelor la rectificare prin variația presiunii în lagărul anterior al arborelui pietrei.....	83
4.2. Element de reglare.....	91
4.2.1. Principalii parametri ai bobinei mobile cu T.E.M.....	93
4.2.2. Determinarea parametrilor principali a părții hidraulice.....	100
4.3. Antrenarea cu hidromotor rotativ a păpușii obiectului.....	125
<b>5. COMANDA ADAPTIVA EXPERIMENTALA.....</b>	<b>132</b>
5.1. Completări ale Schemei hidrostaticice a mașinii BK3 în vederea realizării C.A.....	132
5.2.1. Calculul domeniilor de reglare a debitelor... <td style="text-align: right;">134</td>	134
5.2.2. Stabilirea valorilor curentilor de comandă <i>i<sub>c</sub></i> în bobinele mobile ale amplificatoarelor electrohidraulice.....	136
5.2. Schema electrică bloc de comandă.....	137
5.2.1. Calculul coeficientului de amplificare a instalațici electrice.....	141
<b>6. INCERCARILE EXPERIMENTALE.....</b>	<b>144</b>
6.1. Obiectivele și metodica încercărilor.....	146
6.2. Rezultatele încercărilor.....	147
6.2.1. Menținerea constantă a avansului longitudinal s <sub>1</sub> .....	147
6.2.2. Rugozitatea suprafetei.....	149

6.2.3. Precizia de prelucrare.....	150
6.2.4. Capacitatea de producție.....	151
6.3. Concluzii comparative.....	155
CONCLUZII GENERALE.....	156
BIBLIOGRAFIA.....	162